

LUCRĂRI APĂRUTE ÎN EDITURA ACADEMIEI  
REPUBLICII SOCIALISTE ROMÂNIA

- L. IRONIDESCU, *Flora R.P.R.*, vol. IV, fasc. 7, Tipărirea, 1964, 403 p., 30 lei.  
Z. IRONIDESCU, *Flora R.P.R.*, *Acanthacee*, vol. V, fasc. 2, Acanthacee, Seria Botanică, Institutul Cărții științifice (Cărțișo), 1965, 407 p., 23 lei.  
IROCOVICIU GHEORGHE și MIRCEA BOGDANWARY, *Flora R.P.R.*, vol. VIII,  
fasc. 5, *Ornithogalum*, 1965, 277 p., 20,50 lei.  
M. I. CONSTANTINESCU, *Flora R.P.R.*, *Insula*, vol. IX, fasc. 5,  
Seria Botanică, subiect: *Pteropodite și Aconitine*,  
1965, 501 p., 35 lei.  
IUCION V. NICOLAEȚIU, *Flora R.P.R.*, *Insula*, *Lamiales*,  
vol. XII, fasc. 7, București, 1965, 369 p., 29 lei.  
ROXIMP LEIPSIU, *Microzoologie*, 1965, 1000 p., 8 p., 56 lei.  
MOROLESCU N., *Holotropica. Insectul flacăgăduitor*, Biocorvara  
și grădina învățătorului, 1965, 527 p., 9 p., 42 lei.  
P. BRAȘOVENSCU, *Flora R.P.R.*, *Plantele Ostrovidelor*, vol. XXIII,  
1965, 372 p., 4 p., 60 lei.  
G. IDĂNDULESCU, *Flora R. S. României*, fasc. 3,  
*Dipteri*, vol. Simuliidae (culesele columbae), 1966, 609 p.,  
4 p., 39 lei.  
ANDRIANA DAMIAN-GEORGESCU, *Flora R. S. României*, *Cris-*  
*tridacna Coriolanii*, vol. IV, fasc. 8, *Catinoidice (florile de apă*  
*dulce)*, 1966, 131 p., 7 lei.  
ZACHARIA MATRIC, *Flora R. S. României*, *Clasa Chilopoda*, *Secto-*  
*clasa Arthropodorum*, vol. VII, fasc. II, 1966, 272 p., 11 p.,  
14,50 lei.  
CHR. DARWIN, *Amfibieni despatru dezvoltare și evoluționă*  
*mar. Anatomogenetice (1809-1822)*, 1962, 252 p., 11 p., 14,50  
lei.  
CHR. DARWIN, *Varulicele amfibioilor și mijlocilor său înfluență durato-*  
*re*, 1963, 273 p., 60 lei.  
E. RACOVITĂ, *Opere atenee*, 1964, 335 p., 47 lei.  
DR. VILĂDUȚIU, *Parasitoza chilogasteră în animalelor domestece*,  
1962, vol. II, 513 p., 42 p., 24 lei; 1966, vol. III, 700 p.,  
4 p., 65 lei.

REVISTE PUBLICATE ÎN EDITURA ACADEMIEI  
REPUBLICII SOCIALISTE ROMÂNIA

STUDII SI CERCETARI DE BIOLOGIE

- SERIA BOTANICA

- SERIA ZOOLOGICA

REVUE ROUMAINE DE BIOLOGIE

- SERIE DE BOTANIQUE

- SERIE DE ZOOLOGIQUE

OCROFIREA NATURII

MICROBIOLOGIA

LUCRĂRI INSTITUTULUI DE SPECIOLOGIE „EMIL RACOVITĂ”

SI. SI.CRC. ECOI. SERIA ZOOLOGIE II, NR. 2 P. 81-200 BUCURESTI 1967

STUDII SI CERCETĂRI DE  
BIOLOGIE

REVUE ROUMAINE DE BIOLOGIE

1967, Nr. 2



# Studii și cercetări de BIOLOGIE

## SERIA ZOOLOGIE

### COMITETUL DE REDACȚIE

Redactor responsabil :

ACADEMICIAN EUGEN PORA

Redactor responsabil adjunct :

R. CODREANU, membru corespondent al Academiei Republicii Socialiste România

Membri :

M. A. IONESCU, membru corespondent al Academiei Republicii Socialiste România; MIHAI BĂCESCU, membru corespondent al Academiei Republicii Socialiste România; OLGA NECRASOV, membru corespondent al Academiei Republicii Socialiste România; GR. ELIESCU, membru corespondent al Academiei Republicii Socialiste România; MARIA CALOIANU — secretar de redacție.

Prețul unui abonament este de 60 de lei.

În țară abonamentele se primesc la oficile poștale, agențiile poștale, factorii poștali și difuzorii de presă din întreprinderi și instituții. Comenzile de abonamente din străinătate se primesc la CARTIMEX, București, Căsuța poștală 134—135 sau la reprezentanții săi din străinătate.

Manuscisele, cărțile și revistele pentru schimb, precum și orice corespondență se vor trimite pe adresa comitetului de redacție al revistei „Studii și cercetări de biologie — Seria zoologie”.

ADRESA REDACȚIEI:  
SPLAIUL INDEPENDENȚEI Nr. 296  
BUCURESTI

APARE DE 6 ORI PE AN

TOMUL 19

1967

Nr. 2

### S U M A R

	Pag.
EUGEN V. NICULESCU, Originea și evoluția lepidopterelor . . . . .	83
PAULA ALBU, Chironomide adulte din complexul de bălți Crapina — Jijila (IV) . . . . .	89
MATILDA LĂCĂTUȘU și MIHAELA PANU, Studii asupra subfamiliei Aphidiinae din România . . . . .	95
MARIA CĂDARIU, Neurosecretia la <i>Criodrilus lacuum</i> Hoffm. . . . .	121
MARIA CALOIANU-IORDĂCHEL, Date în legătură cu dezvoltarea gonadelor masculine de cegă ( <i>Acipenser ruthenus</i> L.) . . . . .	129
VIRGINIA POPESCU-MARINESCU, Variabilitatea interspecifică și intraspecifică a sacului vascular la gobiide . . . . .	137
C. DEGAN și N. POPOVICI, Studiu anatomic comparativ al creierășului la cîteva specii de păsări . . . . .	151
PEPIETA SPĂTARU, Unele aspecte ale dinamicii nutriției linului ( <i>Tinea tinea</i> (Linnaeus), 1758) în complexul de bălți Crapina — Jijila (zona inundabilă a Dunării) . . . . .	157
EUGEN A. PORA, EGATERINA ROVENTA și STEFANIA MANCIULEA, Influența acetățului de dezoxicorticosteron (DOCA), suprarenalectomiei și tratamentului cronic cu zinc stabil asupra absorbției, distribuției și excreției $Zn^{65}$ la șobolanul alb . . . . .	163
CONSTANȚA MATEI-VLĂDESCU, GH. APOSTOL și T. TRAN-DABURU, Influența excitării encefalului asupra glicemiciei la <i>Rana ridibunda</i> . . . . .	171
GH. BURLACU și GH. NĂSTĂSESCU, Cercetări asupra acțiunii dinamice specifice a cazeinei la păsări . . . . .	181
ELEONORA ERHAN, GH. BURLACU și DUMITRA GRUNCA, Influența temperaturii asupra metabolismului energetic la libarcă ( <i>Blatta orientalis</i> L.) . . . . .	185
S. MICLE, ANNA GHEORGHIU și AIDA AVRAM, Cercetări asupra proteinelor serului sanguin și tipurilor de hemoglobină la hibrizii dintre <i>Bos taurus</i> și <i>Bos poephagus grunniens</i> . . . . .	193
RECENZII . . . . .	199

St. și cerc. biol. Seria zoologie t. 19 nr. 2 p. 81—200 București 1967

## ORIGINEA ȘI EVOLUȚIA LEPIDOPTERELOR

DE

EUGEN V. NICULESCU

591 (05)

Autorul emite o nouă ipoteză asupra originii lepidopterelor, admîșind că strămoșul lor era de tip eriocranoid, adică prezenta caractere generalizate colective asemănătoare cu cele ale eriocraiidelor actuale, și anume mandibule nefuncționale și o trompă redusă. Se arată evoluția lepidopterelor în grupa *Ditrysia*, stabilindu-se cinci mari linii filetice : *Hepialina*, *Tineina*, *Pyralina*, *Bombycina* și *Papilionina*.

Asupra originii lepidopterelor nu avem date precise în literatură din cauza penuriei documentelor paleontologice ; de aceea, relativ la originea acestui grup de insecte trebuie să facem ape în numai la datele actuale de lepidopterologie.

Examinînd armătura bucală la lepidopterele actuale, am constatat următoarele trei tipuri de structură :

1. Tipul măcinător sau laciniat, reprezentat prin mandibule funcționale care lucrează împreună cu un hipofaringe ce posedă mici denticuli și un aparat trituant. Acest ansamblu servește la triturarea grăunțelor de polen ; îl găsim la familia *Micropterygidae*.

2. Tipul glosat, adică format dintr-o trompă lungă, mandibulele fiind rudimentare sau de cele mai multe ori complet atrofiate ; trompa servește la aspirarea nectarului din corola florilor. Tipul glosat este foarte răspândit ; îl găsim la majoritatea lepidopterelor.

3. Al treilea tip de structură este format din mici mandibule nefuncționale și o mică trompă. Avînd în vedere coexistența acestor organe, am denumit tipul „mixt” și-l observăm la familia *Eriocraiidæ*.

Lepidopterologii admit, în unanimitate, că micropterigidele sunt lepidopterele cele mai primitive, iar *Glossata* sunt specializate și deci mai evolute ; micropterigidele fiind lepidoptere primitive, firește că strămoșii lepidopterelor actuale erau de tip micropterigoid.

După părerea noastră, lepidopterele actuale cele mai primitive nu sunt micropterigidele, ci eriocraiidile, iar strămoșul lor nu era de tip micropterigoid, ci de tip eriocranoid. Având în vedere structura aparatului bucal la formele actuale, considerăm că nu numai *Glossata* sunt specializate, ci și micropterigidele – cel puțin prin aparatul lor bucal. Sintem deci în prezență a două tipuri de aparat bucal, specializat în două direcții diferite: unul pentru sugerea nectarului din flori, al doilea pentru triturarea grăunțelor de polen. Cite despre *Eriocraiidæ*, acestea prezintă un aparat bucal mai puțin specializat – de tip generalizat, având și mandibule, și trompă. De aceea admitem că strămoșul lepidopterelor actuale era de tip eriocranoid, adică un tip generalizat cu caractere colective. Acest strămoș ipotetic considerat deci ca un protolepidopter, a dat prin evoluție subsecventă cele trei tipuri de armături bucale semnalate mai sus.

Tipul plesiomorf, adică cel mai primitiv, fiind cel mai apropiat de strămoșul protolepidopter, este reprezentat prin eriocraiidile actuale; acești fluturi s-au modificat foarte puțin față de tipul de origine.

Tipul apomorf, adică evoluat, mai îndepărtat de strămoșul protolepidopter, este reprezentat prin două grupe specializate (*Micropterygidae* și *Eulepidoptera*).

Evoluția protolepidopterului ipotetic spre cele două grupe specializate este un fenomen natural, care presupune că a avut loc în modul arătat mai sus, prin analogie cu alte grupe de animale. La grupul care a evoluat spre *Micropterygidae*, mica trompă s-a redus pînă la dispariție totală și a apărut aparatul triturant, ca și mușchii mandibulelor ce au devenit funcționale. La grupul care a evoluat spre *Glossata*, dimpotrivă, trompa s-a dezvoltat neîncet și corelativ aparatul triturant și mandibulele au dispărut. Este o evoluție firească și cu totul posibilă, în sprijinul căreia avem dovezi numeroase în fauna actuală. Cu cît corola unei flori vizitate de fluture este mai adîncă, cu atît și lungimea trompei este mai mare. Se știe că anumite specii de *Sphinx* au o trompă foarte lungă; ele iau nectarul din zbor, fără să se așeze pe flori. În Madagascar trăiește o plantă orhidee (*Angraecum sesquipedale*) cu corola adîncă de 25–35 cm. Un sfingid – *Macrosilia morgani praedicta* – s-a adaptat la această particularitate a plantei și cu trompa sa de 225 mm poate suge nectarul din flori. S-a observat că florile care au corola de 35 cm adîncime rămîn nefecundate, deoarece nici un alt sfingid nu poate ajunge pînă la fundul corolei. Avem aici un exemplu de specializare, legată, indiscutabil, de factorii mediului extern. Dacă ne gîndim la evoluția strămoșului din grupul care a dat micropterigidele actuale, presupunem că acest strămoș găsindu-se în situația de a nu se putea hrăni cu nectar, corola florilor fiind prea adîncă, mica sa trompă s-a atrofiat; corelativ s-au dezvoltat mandibulele și aparatul triturant, necesare sfârîmării grăunțelor de polen. Este de asemenea o specializare, dar în altă direcție decit a celuilalt grup, unde s-a dezvoltat trompa.

Dacă am admite că cele mai primitive lepidoptere actuale sunt micropterigidele și deci la baza grupului s-ar găsi un tip micropterigoid, ar trebui să admitem că un aparat bucal de tip masticator atât de specializat s-a transformat ulterior într-un aparat de tip glosat, de asemenea specializat. Se știe din paleobiologie că un organ specializat nu se poate

transforma urmînd o nouă direcție evolutivă; el merge mai departe pe linia sa de specializare, fiind incapabil de a mai evoluă într-un alt sens decit cel inițial. Așadar, strămoșul protolepidopter ipotetic trebuie să fi fost de tip eriocranoid, adică cu caractere colective, deci un tip generalizat și nespecializat. Grupele la care a dat naștere acest tip generalizat s-au specializat ulterior în cele două direcții arătate. Această interpretare a noastră este în concordanță cu o lege din paleobiologie, și anume legea specializării și nespecializării a lui Cope, după care evoluția unui grup începe întotdeauna prin tipuri generalizate cu caractere colective și merge spre forme specializate treptat în diferite direcții. Am spus că tipul eriocranoid este plesiomorf, adică foarte puțin modificat față de tipul primitiv. Este desigur greu de precizat de ce acest grup a evoluat puțin și nu s-a specializat ca celelalte două. Dacă ar fi să folosim prin analogie un termen întrebuită de paleobiologi pentru *Nautilus*, *Lingula*, *Hatteria* etc., care nu s-au schimbat aproape de loc din paleozoic și pînă azi, putem spune și noi că *Eriocrania* de azi este un tip pancronic.

Caracterele primitive ale micropterigidelor au determinat pe unii lepidopterologi să le separe într-un ordin aparte (*Zeugloptera*).

S. G. Kiriakoff, reluînd această idee, consideră *Zeugloptera* ca un subordin care împreună cu alte două subordine (*Lepidoptera* și *Trichoptera*) ar forma ordinul *Amphiesmenoptera*. Acest punct de vedere a fost în mod just criticat de P. Vierte și J. Bövrogone, deci nu mai insistăm aici. Adăugăm numai constatarea că particularitatea în structura armăturii bucale nu justifică scoaterea micropterigidelor din ordinul *Lepidoptera*. Si în alte ordine de insecte se găsesc mai multe tipuri de armături bucale. Este de ajuns să comparăm tentredinidele cu apidele, muscidele cu tabanidele și culicidele, carabidele cu scarabeidele, ca să admitem teza că într-un ordin pot coexista mai multe tipuri diferenți de armături bucale.

În al doilea rînd, împotriva tezei lui S. G. Kiriakoff mai pledează și faptul că micropterigidile răspund caracterului general al ordinului *Lepidoptera*, avînd aripile acoperite cu solzi. Menționăm că acești solzi sunt scurți și largi, cu numeroase striuri, caracter care ne indică de asemenea o evoluție înaintată. Ele răspund și caracterului general al grupului *Homoneura* prin nervațiune, ca și al grupului *Monotrysia* avînd un singur orificiu genital ♀.

Evoluția tipului eriocranoid primitiv s-a făcut în două direcții: una monotrisiană și alta ditrisiană. Grupele *Monotrysia* și *Ditrysia* au evoluat concomitent și independent una față de alta, prima fiind mai aproape de strămoșul primitiv, și deci mai puțin specializată, a doua mai îndepărtată, mai evoluată, avînd un potențial evolutiv mai dezvoltat. Dar nu trebuie să se creadă că *Monotrysia*, cu un singur orificiu genital ♀, a precedat *Ditrysia*, cu două orificii genitale (ostium bursae și ostium oviductus); acestea sunt două grupe care provin din același tip ancestral generalizat și au evoluat independent.

În evoluția grupului *Ditrysia* constatăm cinci mari linii filetice de dezvoltare: *Hepialina*, *Tineina*, *Pyralina*, *Bombycina* și *Papilionina*. Examinînd caracterele lor structurale, observăm că unele dintre ele, existente și la *Monotrysia*, dispar treptat, iar altele noi, specializate, apar și caracterizează anumite grupe. Astfel, nervațiunea homoneură

se mai păstrează la *Hepialidae* și este încă primitivă la *Cossidae*; în schimb la celelalte grupe, numărul nervurilor se reduce, mai ales la aripile posterioare, nervurile transverse dispar, media și celula intrusă, ca și cea accesorie de asemenea tind să dispară. Orificiile genitale pretutindeni sunt în număr de două, însă la *Hepialidae* ele se află pe același segment (tip exoporian), pe cînd la celelalte grupe sunt situate pe două segmente diferite, cele două părți ale aparatului genital comunicind între ele prin un canal seminal, cu excepția psichidelor, la care acest canal lipșește, ca la *Monotrysia*. Microtrichia, perișori frecvenți la *Monotrysia*, se mai păstrează la unele grupe de *Ditrysia*, dar ei sunt mult localizați, formînd pe fața ventrală a aripilor anterioare, aproape de bază, o mică suprafață spinoasă, numită arie de aderență (la unele *Tineoidea*, *Zygaenoidea*, *Lasiocampidae*). Palpii maxilari pentaarticulați sau evadriarticulați se mai găsesc la unele *Tineidae* și *Gelechiidae*, pe cînd la celelalte familii ei sunt foarte reduși sau, cel mai adesea, absenți. Ca specializare menționăm existența organelor timpanice la grupul *Pyralina*, adică la *Pyraloidea*, *Geometroidea* și *Noctuoidea* (în total 11 familii), pe care le-am unit într-un singur grup tocmai pe baza acestor organe. La larve constatăm că pedes spuri sunt constituite după două tipuri principale: tip stemmatoncopod (cu pedes spuri coronati) și tip harmonocopod (cu pedes spuri semicoronati). La primul tip aparțin *Monotrysia*, iar dintre *Ditrysia*—*Hepialina*, *Tineina* și *Pyraloidea*, iar la al doilea tip *Geometroidea*, *Noctuoidea*, *Bombycina* și *Papilionina*. Numeroasele excepții în această repartitie ne obligă să nu acordăm acestui caracter valoare filogenetică, ci mai degrabă să admitem că este vorba de o adaptare la aceleși condiții de mediu, care produc aceleși modificări grupelor îndepărtate din punct de vedere filogenetic.

Crisalidele sunt și ele constituite după două tipuri principale, legate de asemenea de particularitățile mediului ambiant: la speciile endofite ele au adminicula, pe cînd la speciile care trăiesc liber la suprafața plantei spinii lipsesc.

În interiorul celor cinci grupe filetice, evoluția a avut loc de asemenea polifiletic. Putem stabili următoarele direcții de dezvoltare:

1. *Hepialina*. Din acest grup fac parte două superfamily: *Hepialoidea* și *Psychoidea*. Hepialidele au un pronotum primitiv, format din 3 benzi transversale (propraescutum (nomen novum) proscutum și prosecutellum), antene foarte scurte, piese bucale foarte reduse, penis membranos. Avînd cele două orificii genitale pe același segment, aparatul lor genital ♀ constituie o stare primitivă, intermediară între *Monotrysia* și celelalte *Ditrysia*. Psichidele au piese bucale foarte reduse, larvele au procoxele fuzionate. Lipsa canalului seminal (ca la *Monotrysia*) constituie și în acest caz o stare primitivă, intermediară între *Monotrysia* și celelalte *Ditrysia*. Pe baza acestor considerente am reunit psichidele cu hepialidele în grupa *Hepialina*, care stă la baza subordinului *Ditrysia*.

2. *Tineina*. În acest grup intră superfamilyile *Coccoidea*, *Tineoidea*, *Tortricoidea* și *Zygaenoidea*. La *Coccoidea*, nervațiunea încă este primitivă cu nervuri transverse, celule intruse, media prezentă. Pronotum are un colier dublu. La *Tineoidea*, nervațiunea este mai evoluată — uneori redusă, — fără nervuri transverse, A<sub>1</sub> fiind de obicei prezentă la cele 4 aripi. *Tortricoidea* și *Zygaenoidea* sunt înrudite cu *Tineoidea*, cu tot aspectul particular în habitus al celor din urmă. Ca și *Tineoidea*, aceste două

grupe au o creastă pe placa axilară și o arie de aderență, iar crisalidele lor au adminicula. Legătura dintre *Zygaenidae* și *Tortricidae* o fac procridinele. Unii lepidopterologi văd raporturi filogenetice între *Zygaenoidea* și *Noctuoidea*, avînd pedes spuri semicoronati. Așa, de exemplu, C. Börner le plasează în apropierea sintomidelor, iar W. Forster în vecinătatea notodontidelor. Este adevărat că între *Syntomis phegea* și *Zygaena ephialtes* este o mare asemănare în ceea ce privește habitusul, dar aceasta nu poate fi decit un simplu fenomen de convergență; structura sintomidelor și a zigenidelor diferă prea mult pentru a stabili relații filogenetice directe între aceste două familii. Mai semnalăm prezența la *Zygaenidae* a unui pronotum primitiv cu colier dublu.

3. *Pyralina*. La acest grup aparțin superfamilyile care posedă organe timpanice: *Pyralidoidea*, *Geometroidea* și *Noctuoidea*. Crestele de pe aripi și adminicula crisalidelor au dispărut, nervațiunea se reduce, radialele se concentrează în regiunea costală a aripiei.

La *Pyralidoidea* mai persistă, uneori, unele caractere primitive, ca prezența palpilor maxilari, iar A<sub>1</sub>, desă redusă sau nulă la aripile anterioare, este aproape întotdeauna prezentă la aripile posterioare.

La *Geometroidea*, A<sub>2</sub> la aripile anterioare prezintă, de cele mai adeseori, o furcă bazilară, ocelii în general lipsesc, chetosema este dezvoltată, patagiile sunt reduse, organele timpanice de tip abdominal.

La *Noctuoidea* A<sub>2</sub> la aripile anterioare nu are o furcă bazilară netă, ocelii în general prezenți, chetosema lipșește, palpii maxilari foarte reduși, patagiile foarte dezvoltate, organele timpanice de tip toracic.

4. *Bombycina*. La acest grup aparțin superfamilyile *Bombycoidea* și *Sphingoidea*. La grupul plesiomorf (*Bombycoidea*), piesele bucale sunt de obicei atrofiate și uneori (*Lasiocampidae*) există resturi ale ariei de aderență. La unele specii există un pronotum cu colier dublu (*Perisomena caecigena*), uneori crisalidele au adminicula (*Endromidae*). La grupul apomorf (*Sphingoidea*), trompa este aproape întotdeauna bine dezvoltată, toracele robust, mușchii aliferi foarte puternici.

5. *Papilionina* cuprinde două superfamily: una plesiomorfă (*Hesperioidae*) și alta apomorfă (*Papilionoidea*). Prima păstrează încă unele caractere primitive, ca pronotum cu colier dublu, occiputul redus și inclinat, pedes spuri coronati etc. A doua are un pronotum slab dezvoltat — rareori el este puternic — cu patagiile veziculăse, dar uneori membranoase sau absente, occiputul bombat, pedes spuri semicoronati (cu unele excepții) etc.

Din cele de mai sus se vede că fiecare linie filetică este constituită dintr-un grup plesiomorf și unul apomorf, acesta din urmă putind fi, la rîndul său, subdivizat în alte grupe.

Evoluția ordinului s-a făcut de la forme cu caractere puțin specializate spre forme tot mai specializate, adică mai evolute, deoarece adaptare înseamnă evoluție. Uneori se observă la un grup organe specializate alături de altele primitive, ceea ce îngreiază pe sistematicieni, în clasificarea și în stabilirea relațiilor filogenetice ale grupului respectiv.

Pentru o stabilire justă a relațiilor filogenetice, trebuie să alegem acele organe care sunt buni indicatori filogenetici și să ne ferim de acele asemănări superficiale, rezultat al fenomenelor de convergență. Așa, de

exemplu, egeriidele nu pot sta alături de sfingide, unde au fost odinioară clasificate, datorită asemănării egeriidelor, în habitus, cu unele specii de *Haemorrhagia* cu aripi transparente. Castniidele, deși au antene măciucate, nu pot fi plasate printre ropalocere, ele având caractere de tortricoide, iar numeroasele familii de *Bombycina*, cu piesele bucale atrofiate, nu pot fi clasificate alături de *Hepialidae*, care posedă și ele acest caracter. De asemenea, pedes spurii de la larve nu sunt buni indicatori filogenetici, și o diviziune fundamentală a lepidopterelor după acest caracter, cum au încercat S. G. Kiriakoff, W. Forster și alții, nu este posibilă deoarece, pe de o parte, se lasă în afară larvele lipsite de picioare abdonimale și, pe de altă parte, nu se ține seama de formarea polifiletică a tălpilor cu cîrlige.

În clasificăriile care folosesc termenii de *Stemmatoncopoda* și *Harmoncopoda* zigenidele sunt plasate printre *Harmoncopoda*, având pedes spurii semicoronati; ținând seama de ansamblul caracterelor structurale ale adultului, ele nu pot sta printre *Harmoncopoda*, alături de *Notodontidea*, ci trebuie plasate în grupa *Tineina*, alături de *Tortricoidea*. De asemenea, structura pieselor bucale trebuie examinată cu grijă, alături de alte caractere, deoarece la unele grupe pierderea acestora a avut loc în mod secundar.

În general, considerăm deci că originea lepidopterelor actuale este difiletică, iar diferențierea în interiorul ansamblului superfamiliilor s-a produs polifetic.

#### BIBLIOGRAFIE

1. BÖRNER C., *Die Grundlagen meines Lepidopterensystems*, Verhandl. des VII Intern. Kongress für Entomologie, 1939, **2**, 1 422.
2. BOURGOGNE JEAN, *Ordre des Lépidoptères*, in GRASSÉ P., *Traité de Zoologie*, Masson, Paris, 1951, **10**, 1, 174–448.
3. BOURSIN CHARLES, Rev. fr. de Lép., 1947, **11**, 65–79.
4. CODREANU RADU, *Materia și viața*, București, 1944.
5. CUENOT LUCIEN, *La genèse des espèces animales*, Felix Alcan, Paris, 1932.
6. — Rev. Sci., 1940, **4**.
7. DINGEMANS GUY, *Formation et transformation des espèces*, A. Colin, Paris, 1956.
8. KIRIAKOFF S. G., Lambillionea, 1946, **46**, 2–3, 21–26.
9. — Lambillionea, 1946, **46**, 4–5, 51–63.
10. — Lambillionea, 1946, **46**, 6–10, 111–116.
11. — Ann. de la Soc. Roy. Zool. de Belgique, 1952, **83**, 1, 87–106.
12. — Ann. de la Soc. Ent. de Belgique, 1953, **89**, 5–6, 147–158.
13. — Bull. et Ann. de la Soc. Ent. de Belgique, 1955, **91**, 5–6, 147–158.
14. LE MARCHAND S., Rev. fr. de Lép., 1944, **10**, 6–7.
15. NICULESCU E. V., Linneana Belgica, 1964, partea a III-a, **3**, 34–35.
16. — Lambillionea, 1964, **64**, 5–8, 17–32.

Institutul de biologie „Traian Săvulescu”,  
Sectorul de sistematică și evoluție animală.

Primită în redacție la 10 decembrie 1966.

#### CHIRONOMIDE ADULTE DIN COMPLEXUL DE BĂLTI CRAPINA—JIJILA (IV)

DE

PAULA ALBU

591 (05)

Autoarea prezintă o listă de 51 de specii de chironomide găsite în complexul de bălti Crapina — Jijila, care aparțin secciei a V-a a zonei inundabile a Dunării. La speciile mai importante sunt dați indicii de abundență și frecvență (global și pe doi ani consecutivi, însă diferenți din punctul de vedere al condițiilor abiotice și biotice), precum și unele date referitoare la numărul de generații. Se arată că între condițiile abiotice (amploarea viitorilor Dunării, durata lor, timpul cînd survin, transparența apei), gradul de dezvoltare a vegetației acvatice și abundența anumitor specii de chironomide există o strinsă corelație.

Studiul multilateral al complexului de bălti Crapina — Jijila din zona inundabilă a Dunării a început în anul 1956, sub conducerea prof. N. Botnariu, și continuă, sub unele aspecte, și în prezent. Cercetările noastre asupra chironomidelor adulte din acest complex au fost făcute în special în anii 1956—1958, iar rezultatele lor au format obiectul mai multor note preliminare (1), (2), (3), (4), (5), (6) și al unei lucrări de doctorat susținute în anul 1964 la Universitatea București. În lucrarea de față ne propunem să prezentăm o scurtă sinteză a principalelor rezultate.

Complexul de bălti Crapina — Jijila formează așa-numita secție a V-a a zonei inundabile a Dunării (9). El este situat în cotul pe care îl face Dunărea înainte de a se îndrepta spre est, limita lui vestică fiind la Ghecet, iar cea estică în apropiere de Isaccea. Suprafața întregului bazin (datele noastre se referă la anii în care am efectuat cercetările) era de 16 930 ha la ape medii, ea variind, în funcție de nivelul viitorilor, între 14 174 și 20 450 ha. Revărsarea Dunării pe o suprafață mare face ca adâncimea apei în întregul complex să fie mică, de aproximativ 1–4 m.

Un rol extrem de important în viața complexului îl joacă durata, mărimea și perioada în care se produc viitorile Dunării. Astfel, în anul

1956, vegetația submersă a fost absentă, iar cea plutitoare a fost slab dezvoltată; aşa cum au arătat N. Botnariuc și S. Beldescu ridicat o perioadă lungă de timp; apa a rămas tulbure, deoarece a pătruns devreme în complex și nu a fost filtrată de vegetația dură, care nu apucase să se dezvolte.

În anul 1957, atât vegetația submersă, cât și cea plutitoare s-au dezvoltat extrem de mult datorită, pe de o parte, faptului că viiturile mai tîrziu, atunci cînd vegetația dură era dezvoltată și funcțională în viață întregului complex — și în primul rînd a vegetației — au determinat și dezvoltarea diferențiată a chironomidelor bentonice și fitofile în cei doi ani.

Materialul de chironomide studiat a fost colectat lunar în anii 1956 și 1957 și a fost completat cu probe sporadice în anii 1958 și 1962. Colectarea s-a făcut cu fileul — prindere de rouri din aer sau cosit prin vegetație — și cu capcane acvatice, depuse fie pe fund de nămol, fie pe diferite asociații vegetale acvatice.

În materialul analizat am determinat următoarele specii<sup>1</sup>:

#### Subfam. TANYPODINAE

- \*1. *Ablabesmyia longistyla* (Fittkau)
- \*2. *Ablabesmyia phatta* (Eggert)
- \*3. *Labrundinia longipalpis* (Goetgh. n. sp. Fittkau?)
- \*4. *Monopelopia tenuicalcar* (Kieff.)
- 5. *Procladius choreus* (Meig.)
- \*6. *Tanypus kraatzi* (Kieff.)
- \*7. *Tanypus punctipennis* (Meig.)

#### Subfam. ORTHOCLADIINAE

- 8. *Corynoneura scutellata* (Winn.)
- 9. *Cricotopus bicinctus* (Meig.)
- 10. *Cricotopus dobrogicus* (Albu)
- 11. *Cricotopus* (?) *oscillator* (Meig.)
- 12. *Cricotopus silvestris* (F.)
- 13. *Cricotopus tibialis* (Meig.)
- 14. *Microcricotopus bicolor* (Zett.)
- 15. *Psectrocladius* gr. *sordidellus* (Zett.)
- 16. *Smittia aterrima* (Meig.)
- 17. *Thienemanniella longicornis* (Kieff.)

#### Subfam. CHIRONOMINAE

- 18. *Campochironomus pallidivittatus* (Mall.)
- 19. *Chironomus cingulatus* (Meig.)
- 20. *Chironomus plumosus* (L.)

<sup>1</sup> Determinările speciilor notate cu \* au fost făcute sau verificate de dr. E. J. Fittkau (Plön), căruia îi mulțumim călduros și pe această cale.

- 21. *Chironomus thummi* (Kieff.)
- 22. *Cladotanytarsus mancus* (Walk.)
- 23. *Cladotanytarsus wexionensis* (Brundin)
- 24. *Cryptochironomus albofasciatus* (Staeg.)
- 25. *Cryptochironomus virescens* (Meig.)
- 26. *Endochironomus tendens* (Fabr.)
- 27. *Glyptotendipes gripekoveni* (Kieff.)
- 28. *Glyptotendipes pallens* (Meig.)
- 29. *Harnischia fittkaui* (Albu)
- 30. *Harnischia pseudosimplex* (Goetgh.)
- 31. *Kiefferulus tendipediformis* (Goetgh.)
- 32. *Lenzia punctipes* (Wiedem.)
- 33. *Limnochironomus nervosus* (Staeg.)
- 34. *Microchironomus tener* (Kieff.)
- 35. *Parachironomus arcuatus* (Goetgh.)
- 36. *Parachironomus longiforceps* (Kieff.)
- 37. *Parachironomus monochromus* (V. d. Wulp)
- 38. *Parachironomus nigronitens* (Edw.)
- 39. *Parachironomus parilis* (Walk.)
- 40. *Paralauterborniella nigrohalteris* (Mall.)
- 41. *Paratanytarsus inopertus* (Walk.)
- 42. *Paratanytarsus laetipes* (Zett.)
- 43. *Paratanytarsus tenellulus* (Goetgh.)
- 44. *Pentapedilum sordens* (V. d. Wulp)
- 45. *Polypedilum intermedium* (Albu et Botn.)
- 46. *Polypedilum nubeculosum* (Meig.)
- 47. *Polypedilum pullum* (Zett.)
- 48. *Tanytarsus excavatus* (Edw.)
- 49. *Tanytarsus glabrescens* (Edw.)
- 50. *Tanytarsus holochlorus* (Edw.)
- 51. *Tanytarsus reflexens* (Edw.)

Deși metodele de colectare folosite nu au fost cantitative, materialul extrem de bogat analizat (circa 20 000 de indivizi) ne-a permis să facem unele considerații privind frecvența și abundența speciilor de chironomide din cadrul complexului.

Calculind pentru fiecare specie indicele de abundență<sup>2</sup>, am găsit că acesta este mai mare decât 2% la o serie de specii, pe care le putem considera dominante (tabelul nr. 1).

În ceea ce privește indicele de frecvență<sup>3</sup> al speciilor găsite, ordinea în care pot fi dispuse primele 15 specii este diferită de cea din tabelul nr. 1, unele specii apărând frecvent, însă în puține exemplare, în timp ce altele, mai rar întâlnite, erau masiv reprezentate (tabelul nr. 2).

Aceste situații globale ne pot arăta care sunt speciile cele mai frecvente și mai abundente din complexul de bălti studiat. Pentru a sublinia însă legătura dintre ele și condițiile de mediu existente în diferiți ani în cadrul complexului a fost necesar să efectuăm și un calcul separat pe

<sup>2</sup> Prin indice de abundență al unei specii se înțelege procentul reprezentat de indivizii acestei specii din numărul total de indivizi colectați în perioada respectivă.

<sup>3</sup> Prin indice de frecvență al unei specii se înțelege procentul de probe în care este reprezentată această specie din numărul total de probe din perioada respectivă.

Tabelul nr. 1

Abundența principalelor specii

Nr. crt.	Specia	Indicele de abundență %
1	<i>Pentapedilum sordens</i>	
2	<i>Corynoneura scutellata</i>	16,30
3	<i>Paratanytarsus inopertus</i>	11,65
4	<i>Microchironomus tener</i>	11,07
5	<i>Polypedilum pullum</i>	8,58
6	<i>Harnischia fittkau</i>	8,43
7	<i>Glyptotendipes gripekoveni</i>	4,51
8	<i>Tanytarsus holochlorus</i>	4,17
9	<i>Cricotopus silvestris</i>	4,14
10	<i>Cricotopus dobrogicus</i>	3,27
11	<i>Chironomus plumosus</i>	3,08
12	<i>Cricotopus tibialis</i>	2,86
13	<i>Limnochironomus nervosus</i>	2,41
14	<i>Ablabesmyia</i> sp.	2,34
15	<i>Polypedilum nubeculosum</i>	2,19
		2,13

Tabelul nr. 2

Freevența principalelor specii

Nr. crt.	Specia	Indicele de freevență %
1	<i>Glyptotendipes gripekoveni</i>	
2	<i>Pentapedilum sordens</i>	53
3	<i>Cricotopus silvestris</i>	47
4	<i>Microchironomus tener</i>	45
5	<i>Paratanytarsus inopertus</i>	40
6	<i>Parachironomus arcuatus</i>	38
7	<i>Polypedilum pullum</i>	37
8	<i>Corynoneura scutellata</i>	36
9	<i>Harnischia fittkau</i>	36
10	<i>Limnochironomus nervosus</i>	35
11	<i>Polypedilum nubeculosum</i>	34
12	<i>Chironomus plumosus</i>	34
13	<i>Cricotopus tibialis</i>	32
14	<i>Procladius choreus</i>	27
15	<i>Psectrocladius gr. sordidellus</i>	27
		23

cei doi ani, 1956 și 1957, ani care, așa cum am arătat anterior, au fost diferenți: în 1956, vîlurile au fost mari și timpurii, împiedicind în bună măsură dezvoltarea vegetației acvatice; în 1957, apele nu au fost prea mari, iar vegetația s-a dezvoltat intens.

Aceasta a făcut ca la speciile dominante de chironomide să existe un raport invers între formele fitofile și cele bentonice: majoritatea formelor fitofile au fost mai abundente în 1957 decât în 1956, în timp ce la speciile bentonice situația este aproape întotdeauna inversă. În tabelul nr. 3 se dau cîteva cazuri mai evidente.

Tabelul nr. 3

Abundența unor specii în anii 1956 și 1957

Nr. crt.	Specia	Forma: fitofilă sau bentonică	Indicele de abundență %	
			1956	1957
1	<i>Corynoneura scutellata</i>	F	0,52	21,71
2	<i>Tanytarsus holochlorus</i>	F	0,05	8,39
3	<i>Cricotopus silvestris</i>	F	2,54	3,92
4	<i>Cricotopus dobrogicus</i>	F	0,17	5,70
5	<i>Cricotopus tibialis</i>	F	0,34	4,27
6	<i>Polypedilum pullum</i>	B	12,99	4,30
7	<i>Polypedilum nubeculosum</i>	B	2,60	1,71
8	<i>Limnochironomus nervosus</i>	B	3,67	1,14

În ceea ce privește dominantă unor specii în anumite perioade ale anului, constatăm că ea diferă mult de la lună la lună atât în cursul aceluiași an, cât și în ani diferenți.

Iată situația cîtorva specii mai importante.

*Pentapedilum sordens* apare în mai 1956 ca specie net dominantă — 33,7%, în iunie indicele de abundență scade la 1,6%, pentru că în iulie să urce din nou la 47% (este vorba, după părere noastră, de o a doua generație); în august 1956, specia respectivă nu a fost găsită de loc, iar în septembrie-octombrie indicele urcă din nou la 11,2% (probabil a treia generație). În anul 1957, situația a fost net nefavorabilă dezvoltării acestei specii. Dacă în luna mai a acestui an indivizii de *Pentapedilum sordens* reprezintă 50,5% din totalul celor colectați, faptul se datorează dezvoltării acestei prime generații din pontele depuse în anul precedent; în următoarele luni însă, indicele de abundență al acestei specii este de 0,1—0,3, atingînd doar la începutul lunii septembrie 2,5%.

Specia *Paratanytarsus inopertus* are unele trăsături comune cu cea analizată mai sus. În cursul anului 1956, ea prezintă însă doar două vîrfuri în dezvoltarea sa: la începutul lunii iulie (41,5%) și în septembrie-octombrie (19%); aceeași situație, cu o abundență mai mică, se repetă în anul 1957, la începutul lunii iulie (12,2%) și în octombrie (8,1%); în celelalte luni, specia este slab reprezentată. Datele ne conduc deci la părere că această specie are două generații pe an.

Unele specii au cunoscut o mare dezvoltare în 1956 și aproape au dispărut în 1957; altele au avut o evoluție inversă.

*Microchironomus tener*, de exemplu, a cunoscut în anul 1956 o dezvoltare uriașă, indicele de abundență ajungînd în august-septembrie pînă la 68,4%; în anul următor, indicele acestei specii nu a depășit niciodată 1%.

Spre deosebire de aceasta, *Corynoneura scutellata*, foarte slab reprezentată în 1956, ajunge în mai-iunie 1957 să constituie 45,9% din totalul de indivizi colectați în perioada respectivă.

O situație interesantă o găsim la speciile genului *Cricotopus*. În anul 1956, printre speciile bine reprezentate găsim pe *C. silvestris* și

*C. bicinctus*, celealte specii mai importante: *C. tibialis* și *C. dobrogicus* avind indicele de abundență sub 1%. În anul 1957, *C. tibialis* și *C. dobrogicus* devin specii foarte abundente (respectiv 16,2 și 19,1%), în timp ce primele două devin specii rare.

## CONCLUZII

Toate acestea ne permit să afirmăm că între condițiile abiotice, gradul de dezvoltare a vegetației acvatice (natura ei) și abundența anumitor specii de chironomide există o strânsă corelație. În anii în care viiturile Dunării sunt mari, timpuriu, iar apele se mențin mult timp la nivel ridicat, ca în 1956, dezvoltarea vegetației acvatice este împiedicată în bună măsură, iar chironomidele fitofile sunt puțin numeroase. În anii în care viiturile nu sunt atât de mari, iar nivelul apei scade mai repede, ca în 1957 sau 1962, vegetația și, o dată cu ea, chironomidele fitofile iau o dezvoltare mare.

Aceasta duce la schimbări însemnante în ciclurile trofice principale din zona inundabilă a Dunării, inclusiv la schimbarea regimului și modului de nutriție a peștilor (12), (13).

## BIBLIOGRAFIE

1. ALBU P., St. și cerc. biol., Seria zoologie, 1959, **11**, 2.
2. — St. și cerc. biol., Seria zoologie, 1960, **12**, 1.
3. — St. și cerc. biol., Seria zoologie, 1960, **12**, 3.
4. — Com. Acad. R.P.R., 1960, **10**, 1.
5. — Rev. roum. de Biol., Série de Zoologie, 1964, **9**, 4.
6. — Rev. roum. de Biol., Série de Zoologie, 1964, **9**, 5.
7. ALBU P. u. BOTNARIUC N., Gewässer und Abwässer, 1966, **41/42**, 48–64.
8. ALBU P., Gewässer und Abwässer, 1966, **41/42**, 145–149.
9. ANTIPA GR., Regiunea inundabilă a Dunării, București, 1910.
10. BOTNARIUC N. și BELDESCU S., Hidrobiologia, 1961, **2**.
11. BOTNARIUC N., ALBU P. și IGNAT GH., St. și cerc. biol., Seria zoologie, 1966, **18**, 3.
12. BOTNARIUC N. a SPĂTARU P., Vestnik Československe Spolecnosti Zoologicke, 1963, **27**, 2.
13. BOTNARIUC N., SPĂTARU P. și ERHAN E., Hidrobiologia, 1964, **5**.
14. BRUNDIN L., Arkiv für Zool. Stockholm, 1947 **39 A**, 3.
15. — Zur Systematik der Orthocladiinae (Dipt. Chiron.), Institute of Freshwater Research, Drottninghom, 1956, Report 37.
16. EDWARDS F. W., Trans. Ent. Soc. London, 1929, **77**, 2.
17. GOETGHEBUE M., Tendipedidae, in LINDNER, Die Fliegen der palaearktischen Region, Stuttgart, 1936–1950.
18. FITTKAU E. J., Die Tanypodinen (Dipt., Chiron.), Akad. Verlag, Berlin, 1962.
19. КОНСТАНТИНОВ А. С., Биология хирономид и их размножение, Caparov, 1958,
20. STRENZE K., Arch. f. Hydrobiol., 1959, **56**, 1/2.
21. WÜLKER W., Arch. f. Hydrobiol., 1956, **3**, 1.

Institutul de biologie „Traian Săvulescu”,  
Secția de sistematică și evoluție animală.  
Primită în redacție la 8 decembrie 1966.

STUDII ASUPRA SUBFAMILIEI APHIDIINAE  
DIN ROMÂNIA

DE

MATILDA LĂCĂTUȘU și MIHAELA PANU

591 (05)

În lucrarea de față se face studiu subfamiliei Aphidiinae, necercetată pînă în prezent în țara noastră, arătîndu-se importanța sa științifică și practică.

Din punct de vedere științific se pune accent pe utilitatea studierii genitalilor la ambele sexe în taxonomia afidiinelor și se fac unele completări în privința biologiei și ecologiei unor specii.

Totdeodată se descrie pentru prima oară în literatură de specialitate masculul de *Monoctonus nervosus*, iar pentru fauna țării noastre se descriu 4 genuri și 9 specii noi. Din punct de vedere practic s-a urmărit în laborator și în natură gradul de infestare a gazdelor cu paraziții respectivi, insistîndu-se asupra speciilor mai importante.

Reprezentanții subfamiliei Aphidiinae (*Hymenoptera – Braconidae*) sunt paraziți exclusivi ai homopterelor afidiide (păduchi de plante).

Deși acești paraziți sunt de o mare importanță din punct de vedere economic, totuși pînă în prezent specialiștii nu le-au acordat întreaga atenție. Acest fapt se datorează dificultăților mari în determinarea gazdelor. De la descrierile lui T. A. M a r s h a l l (5) nu se mai întîlnesc lucrări decît cele care aparțin lui G. V. S z e p l i g é t i (10), J. F a h r i n g e r (1), A. N. T e l e n g a (11). În nearctic, remarcabile sunt lucrările lui S m i t h (1944), iar în Japonia cele care aparțin lui C. W a t a n a b e (12).

După anul 1950, se pune un accent mai mare pe studiul sistematic și biologic al acestui grup, exprimat în lucrările lui P. S t a r y i n R. S. Cehoslovacă, M. M a k a u e r i n R. D. Germană, C. W a t a n a b e și H. T a k a d a i n Japonia. În 1960 apare catalogul speciilor de Aphidiinae din toată lumea, revizuit de E. S. N a r a y a n a n, B. R. S u b b a R a o și A. K. S h a r m a.

Autorii menționati nu sunt însă de acord asupra poziției sistematice a afidiinelor, deoarece unii (2), (3), (4), (7), (8), (9) le consideră ca o

subfamilie care aparține braconidelor, iar alții (11) le delimitizează ca o familie independentă.

Printre caracterele importante folosite în determinarea speciilor este utilizat mult coloritul. Desigur că acest caracter trebuie luat în considerare, atunci cînd se observă constanța lui la numeroase exemplare, dar nu considerat ca principal. Acest caracter, ca și celelalte folosite pînă în prezent (numărul articolelor antenale, forma lor, nervațiunea aripilor anterioare, structura propodeului etc.), trebuie completat cu noi date taxonomice introduse în lucrarea de față, ca: bionimia diferitelor părți ale corpului și structura genitaliilor la ambele sexe, pentru a avea o mai mare precizie în determinarea speciilor.

Morfologia genitaliilor clarifică multe aspecte de ordin sistematic, mai ales variabilitatea individuală pronunțată, ca și probleme de ordin filogenetic. În lucrările lui M. Makauer și P. Starý, forma și chetotaxia valvelor 3 sunt introduse în cheile de determinare a speciilor, neglijîndu-se structura genitaliilor la masculi, ceea ce ne-a determinat să completăm această lacună în lucrarea de față.

Afidiinele sunt insecte a căror mărime nu depășește 5 mm. Sunt zvelte, de culoare întunecată, neagră, castanie, uneori cu diferite nuanțe de galben. Capul este transversal sau cubic, cu mandibule triunghiulare bidentate la vîrf. Palpii maxilari sunt formați din 2–4 articole și cei labiali din 1–3 articole. Antenele sunt filiforme sau moniliforme, cu un număr variabil de articole: 11–12 la *Ephedrus*; 20 la *Praon*; 11–27 la *Aphidius*. Protoracele este scurt, mezotoracele bombat, cu șanțuri parapsidale mai mult sau mai puțin vizibile, metatoracele mic, iar segmentul median (propodeul) convex, declivat și ornamentat cu carine. Picioarele sunt lungi și subțiri, iar aripile cu nervațiunea redusă, exceptând genurile *Ephedrus* și *Toxares*. Abdomenul este alungit, lanceolat la ♀, oval la ♂. Suturile dorsale sunt flexibile, încînt abdomenul se poate îndoii foarte mult, de unde și denumirea de flexiliventre, dată acestor insecte.

Biologia lor este interesantă. Femelele depun cîte un ou în corpul formelor partenogenetice de afide, care în cîteva zile iau aspectul unui balon lucios. Larvele parazișilor se dezvoltă în corpul gazdelor, consumindu-le conținutul. Spre deosebire de celelalte braconide, stadiile mature tapisează interiorul corpului afidului cu o țesătură mătăsoasă, care se transformă în nimfă. În momentul eclozării, parazitul adult taie un căpăcel rotund pe partea postero-dorsală a corpului gazdei, formînd un orificiu circular, prin care ieșe la exterior (fig. 11). Numai larvele mature ale genului *Praon* taie tegumentul afidului pe partea ventrală, ies la exterior, se prind de plantă și își construiesc un cocon sub gazdă, în care nimfează.

Studiul acestor paraziți nu este încă bine elucidat și ridică numeroase probleme de biologie. Unele specii de *Aphidius* prezintă fenomenul de poliembriónie. Astfel, urmărind perioada dezvoltării embrionare la *Aphidius cardui*, am observat că dintr-un ou se formează 3–4 larve, din care iau naștere adulții.

Unele afide sunt forme migratoare. În acest caz este important de știut dacă parazișii respectivi le urmează sau dacă își schimbă gazda parazitind pe alte specii din acel biotop de afide.

Relațiile ecologice care se stabilesc în coloniile de afide sunt de asemenea deosebit de interesante. De exemplu, unele afide (*Acyrtosiphon pisii*) care au corpul acoperit cu ceară manifestă o mare excitație la apropierea parazitului (*Aphidius ervi*) și cad de pe plante. Astfel am găsit în cultura de măzăre de la Băneasa (iunie 1965) numeroase afide căzute pe sol. Aceeași comportare manifestă și *Acyrtosiphon onobrichis* din culturile de lucernă și trifoi. Alte afide au o comportare pasivă față de parazit. Așa este cazul numeroaselor specii de afide de pe diferite plante, parazitate de *Lysiphlebus fabarum*.

Unii paraziți, cum sunt *Menozzia* sp. și *Mirmecobosca*, au fost găsiți în mușuroaiele de furnici (*Lasius* și *Mirmica*). Se pune întrebarea dacă aceștia au fost transportați o dată cu afidele în stare de ou sau larve sau dacă nu sunt specii care s-au adaptat la viața subterană, parazitind afide radicicole ocrotite de furnici.

Răspunsurile la aceste probleme le va da studiul faunei de afidiine din țara noastră, al modului lor de viață și al distribuției lor geografice, ceea ce ne-am propus să facem în lucrările noastre.

#### Genul *Aphidus* Nees, 1818

##### Subgenul *Lysiphlebus* Foerster, 1862

1. *Lysiphlebus fabarum* Marshall, 1896. Material: 30 ♀♀ și 20 ♂♂ din culturi de *Rhopalosiphum maidis* Fitch. (Homoptera — Aphidiidae) de pe porumb, 10.VI.1964 (leg. I. Teodorescu). Numeroase exemplare ♀♀ și ♂♂ din culturi de afide de pe *Hosta*, *Dalia*, *Lilium* — 5.IX.1965.

Lungimea corpului ♀ 1,5–2 mm; lungimea aripilor anterioare 0,9–1,3 mm; lungimea corpului ♂ 1,6–2,3 mm; lungimea aripilor anterioare 1,2–1,4 mm. Antenele sunt filiforme, din 12 articole la ♀, și moniliforme, din 13–14 articole la ♂. Ultimele două sunt sudate. Metacarpul aripii anterioare tot atât sau puțin mai lung decît stigma (fig. 1).

*Armătura genitală* ♀. Tariera vizibilă, cu doi zimți la capăt. Valvele 3 sunt scurte și late, îngustîndu-se spre marginea externă. Aceasta are o bordură de peri foarte scurți, în față căreia se disting 2 peri lungi. Pe restul suprafeței valvelor se mai găsesc cîțiva peri mari (fig. 12).

*Armătura genitală* ♂. Placa ventrală îngustă, arcuită. Forcepsurile externe late, puțin mai scurte decît cele interne, prevăzute cu peri situati spre vîrful lor. Părțile bazale cu doi peri lungi; cele apicale au cîte un dinte în vîrf și papile rare pe suprafața lor. Se distinge unghiul intern al acestora, mult prelungit. Edeagul este scurt, cu baza lată și cu mușchi puternici (fig. 13).

Parazitează numeroase specii de afide: *Aphis craccivora* Koch de pe *Anthyllis vulneraria* L. și *Lotus corniculatus* L.; *Aphis fabae* Scop. de pe *Heracleum spondylium* L., *Rheum palmatum* L., specii de *Rumex* și de pe *Vicia faba* L.; *Aphis frangulae* Koch; *Aphis gossypii* Glover de pe *Lilium candidum* L. și de pe *Origanum vulgare* L.; *Aphis hederae* de pe *Hedera helix* L.; *Aphis jacobaeae* Schrank de pe *Senecio jacobaea* L.; *Aphis medicaginis* de pe *Medicago sativa* L.; *Aphis nasturtii* Kalt; *Aphis nepetae* Kalt. de pe *Nepeta cataria* L.; *Aphis plantaginis* Schrank de pe

*Plantago major* L.; *Aphis pomi* De Geer; *Aphis rumicis* L.; *Aphis triplii* Laing de pe *Aster tripolium* L.; *Aphis urticata* Gmelin de pe *Urtica cardui* (L.) de pe *Senecio jacobaea*; *Brachycaudus lychnidis* (L.) de pe

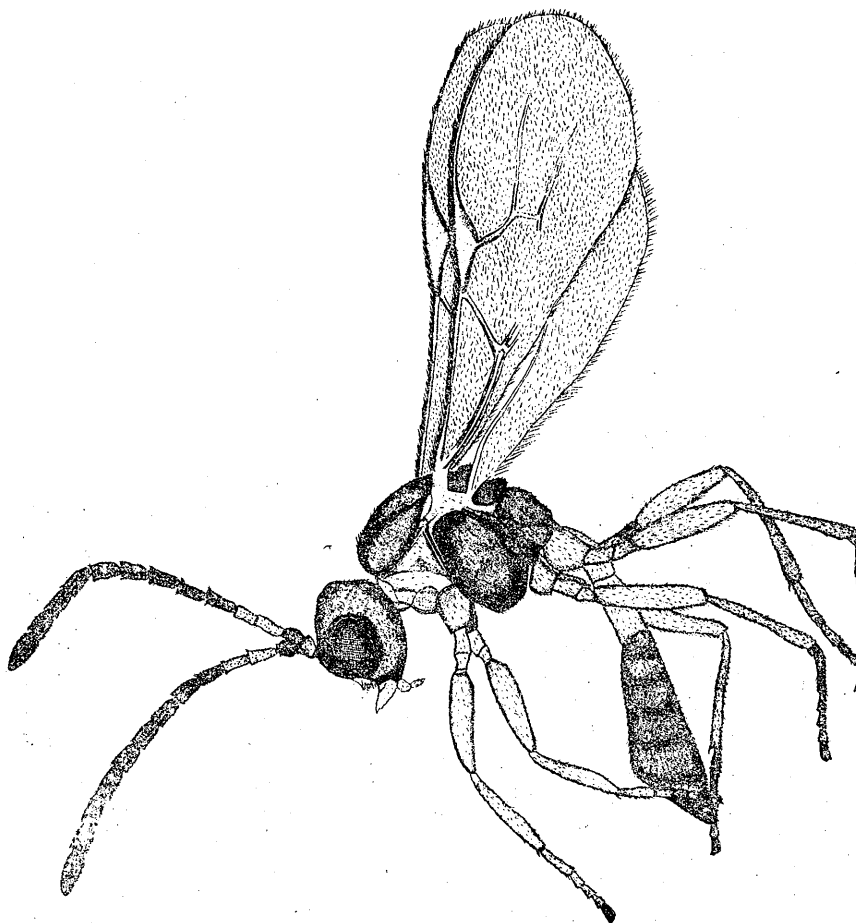


Fig. 1. — *Lysiphlebus fabarum* Marshall, aspect general ♀.

*Melandryum album* Gärcke; *Brachycaudus prunicola* (Kalt.) de pe *Prunus spinosa* L.; *Appelia schwartzi* Boerner; *Appelia schwartzii* de pe *Prunus persicae* L.; *Appelia tragopogonis* Kalt.; *Dactynotus cirsii* L. de pe specii de *Cirsium*; *Dactynotus sonchi* (Geofr.).

Răspândire geografică: Europa (Anglia, Franța, Spania, R. S. Cehoslovacă); Asia (Japonia, R. P. Mongolă); Africa de nord.

În România: Băneasa, București (reg. București).  
Specie nouă pentru țară.

### Subgenul *Aphidius* Nees, 1818

2. *Aphidius avenae* Haliday, 1835. Material: 6 ♂♂ din culturi de lucernă și trifoi, 9.VII.1965. Antene lungi cît corpul din 21 de articole.

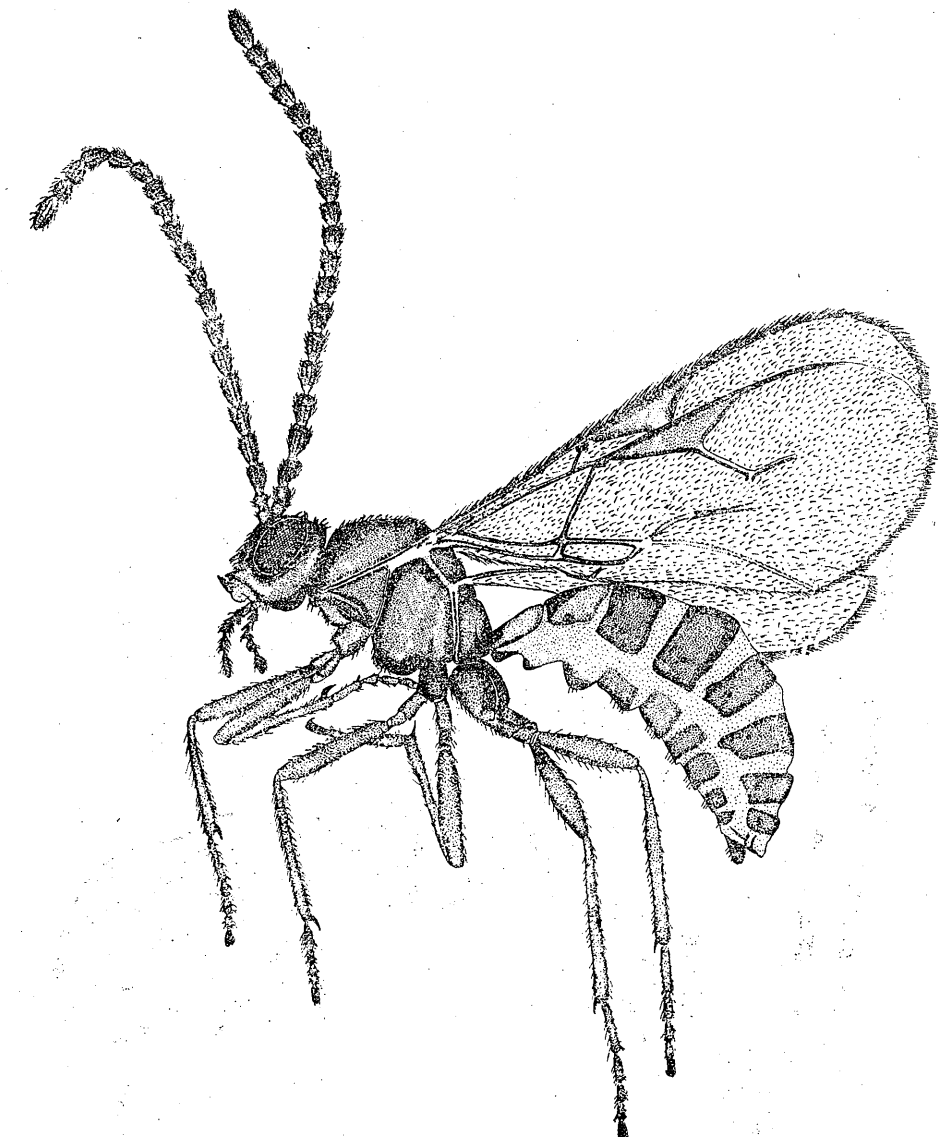


Fig. 2. — *Aphidius avenae* Haliday, aspect general ♀.

Nervurile aripilor anterioare sunt groase și distințe. Lungimea corpului 3,1 mm; lungimea aripilor anterioare 2,7 mm (fig. 2).

*Armătura genitală ♂.* Placa ventrală, triunghiulară, îngustă. Forcepsurile externe late, cu peri lungi, dispuse pe toată suprafața lor. Forcepsurile interne mai scurte decât edeagul; părțile bazale cu doi peri lungi, cele apicale spre vîrf au un grup de papile. Unghiuile interne ale acestora sunt prelungite spre edeag. Aceasta este lat la bază, trunchiat la vîrf și cu cîte o concavitate pe laturi (fig. 14).

Parazit pe : *Aphis scabiosae* Kalt.; *A. roseus* Baker; *Macrosiphum festucae* Kby.; *M. granarium* Kby.; *M. pisi* Kalt.; *M. rubiellum* Thedo.; *M. solanifolii* Ashm.; *M. ulmariae* Walk.; *Myzus persicae* (Sulz.).

*Răspîndire geografică :* Europa (Anglia, Spania, R.D.G., R.F.G., Belgia, Franța, U.R.S.S.); Asia (R. P. Chineză).

*În România :* București (Grădina botanică), Șomcuta (reg. Maramureș).

Specie nouă pentru țară.

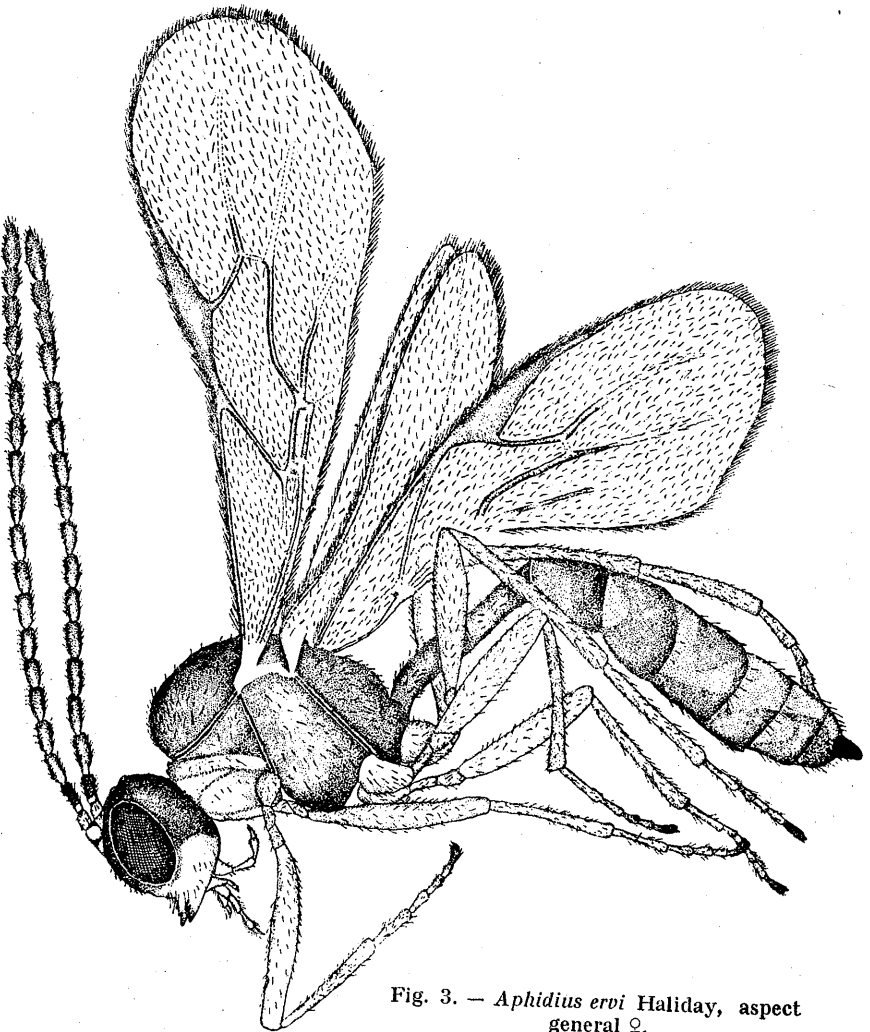


Fig. 3. — *Aphidius ervi* Haliday, aspect general ♀.

3. *Aphidius ervi* Haliday, 1835. Material : 10 ♀♀ și 3 ♂♂, 9.VII.1965 din culturi de *Acyrtosiphon onobrychis* (B. d. F.) de pe mazăre, și 3 ♀♀, 9.VII.1965, din culturi de trifoi.

Antenele sunt alcătuite din 20 de articole la ♀ și 23 de articole la ♂. Lungimea corpului 3,7 mm; lungimea aripilor anterioare 3 mm (fig. 3).

*Armătura genitală ♀.* Tariera evidentă, cu trei zimți la capăt. Valvele 3 negre, late, cu bordură de peri așezată pe două rînduri la marginea externă. Pe restul suprafeței lor se disting 9 peri lungi (fig. 15).

*Armătura genitală ♂.* Placa ventrală îngustă, ușor ascuțită. Forcepsurile externe foarte late și foarte păroase. Părțile bazale ale forcepsurilor interne prevăzute cu 3 peri lungi. Părțile apicale depășesc în lungime celelalte sclerite genitale. Capătul apical este prevăzut cu un dintă înconjurat de un grup de papile. Unghiuile interne ale lor acoperă suprafața edeagului. Aceasta are forma unui trunchi ascuțit la vîrf și prevăzut în portiunea centrală cu papile (fig. 16).

Parazit pe : specii de *Forda* de pe graminee; *Aphis scabiosae* Kalt.; *Macrosiphum caraganae* Chol.; *M. pisi* Kalt.; *M. picridis* Bukt.; *M. cyparissiae* Bukt.; *M. ulmariae* Walk.; *M. solanii* Kalt.; *M. solanifolii* Ashm.; *M. granariae* Kalt.

*Răspîndirea geografică :* Europa (Anglia, Spania, R. S. F. Iugoslavia, U.R.S.S.); Asia (Taiwan).

*În România :* Băneasa (reg. București) și Șomcuta (reg. Maramureș). Specie nouă pentru țară.

#### Genul *Diaeretus* Foerster, 1862

4. *Diaeretus rapae* (Curtis), 1855. Material : numeroase exemplare ♂♂ și ♀♀ din culturi de *Brevicoryne brassicae* L., 15.IX.1965 (leg. I. Teodorescu și V. Constantinescu). Antena la ♀ din 14 articole, la ♂ din 17 articole. Lungimea corpului 2 mm; lungimea aripilor anterioare 1,8 mm (fig. 4).

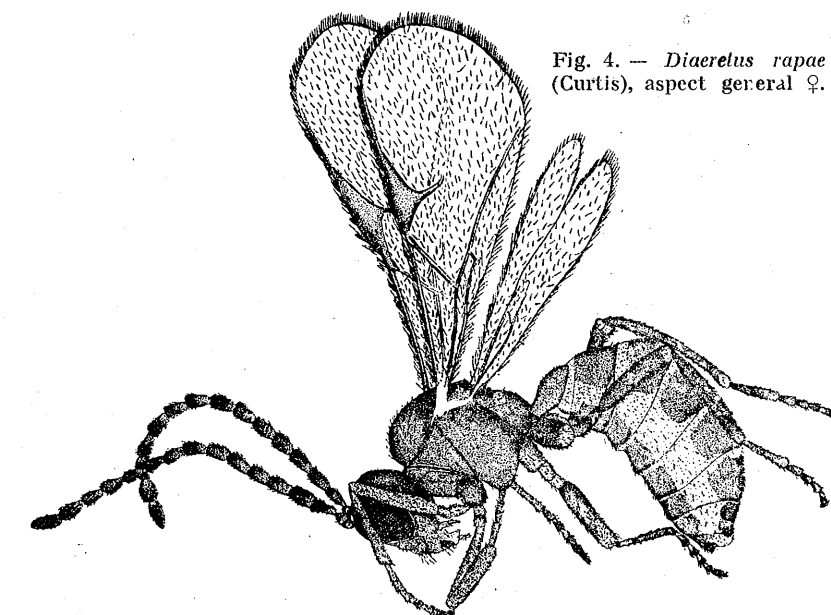


Fig. 4. — *Diaeretus rapae* (Curtis), aspect general ♀.

*Armătura genitală* ♀. Tariera foarte scurtă; valvele 3 negre, scurte și late. Marginea lor externă cu trei rînduri de peri scurți. Pe restul suprafetei lor sunt 11 peri lungi (fig. 17).

*Armătura genitală* ♂. Placa ventrală îngustă, arcuită. Forcepsurile externe relativ late, prevăzute cu peri pe toată suprafața lor. Forcepsurile interne mai scurte decât edeagul; părțile lor bazale au doi peri lungi; cele apicale sunt prevăzute cu un dintă la vîrf și cu papile concentrate tot spre vîrf. Unghiuurile lor interne dezvoltate. Edeagul foarte lat, concav pe laturile externe și cu papile pe marginea apicală (fig. 18).

Parazit pe: *Brevicoryne brassicae* (L.), *Rhopalosiphum pseudobrassicae* (Davis), *Myzus persicae* (Sulz.).

*Răspîndirea geografică*: Europa (Anglia, Spania, U.R.S.S., R. S. F. Iugoslavia); America de Nord (S.U.A.); Noua Zeelandă.

*În România*: Băneasa, București (reg. București).

#### Genul *Ephedrus* Haliday, 1833

##### Subgenul *Ephedrus s. str.*

*Gen nou pentru fauna țării.*

5. *Ephedrus lacertosus* Haliday, 1833. Material: 4 ♀♀, în livadă de pruni, 9.VII.1965. Lungimea corpului 2,5 mm; lungimea aripii 1,9 mm; lungimea antenei 1,2 mm. Antena formată din 11 articole foarte scurte; aripa anteroioară cu trei celule cubitale, al doilea segment al nervurii radiale cu puțin mai lung decât prima nervură transverso-cubitală (fig. 5).

*Armătura genitală* ♀. Valvele 3 puțin păroase, alungite, trunchiate la vîrf, marginea externă ornamentată cu un rînd de peri rigizi (fig. 19).

Parazit pe: *Aphis fabae* Scop.; *A. rumicis* L.; *Cryptomyzus ribis* (L.); *Hyalopterus pruni* (Geoffr.); *Macrosiphum rosae* (L.); *Macrosiphoniella absinthii* L.; *Medoralis pomi* (Deg.); *Myzus cerasi* (F.); *Ovatus crataegarius* (Walk.); *Rhopalosiphon padi* (L.); *Rh. oxyacanthae* (Schrk.); *Sappaphis mala* Nevs.

*Răspîndirea geografică*: Europa (Anglia, Suedia, R. S. F. Iugoslavia). *În România*: Șomcuta (reg. Maramureș).

*Specie nouă pentru țară.*

6. *Ephedrus plagiator* (Nees), 1811. Material: 5 ♀♀ și 1 ♂, în livadă de pruni, 9.VII.1965. Lungimea corpului 2,82 mm. Antena din 11 articole, primul articol al flagelului antenal puțin mai lung decât al doilea. Lungimea aripii anteroioare 2,35 mm (fig. 6).

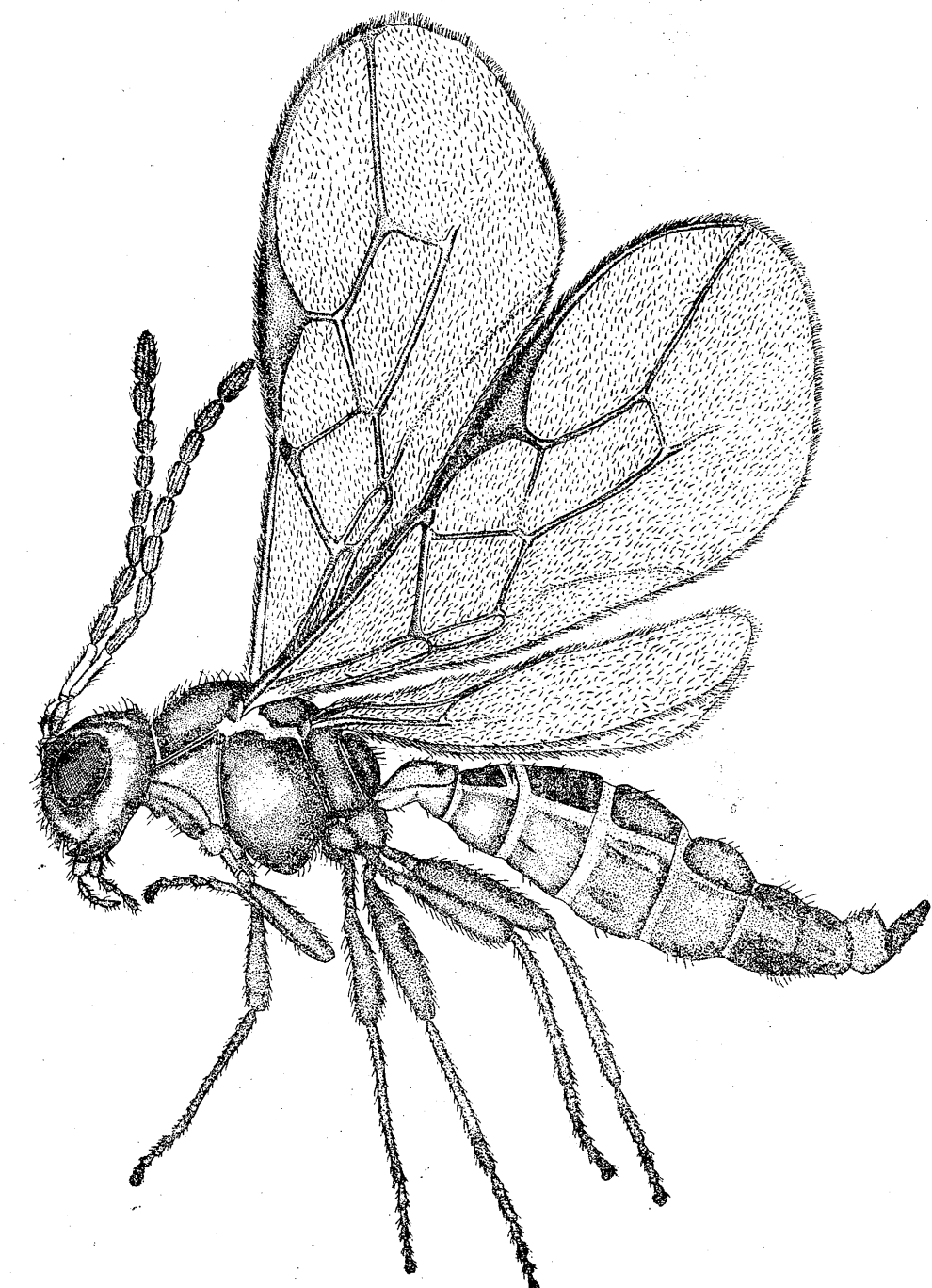


Fig. 5. — *Ephedrus lacertosus* Haliday, aspect general ♀.

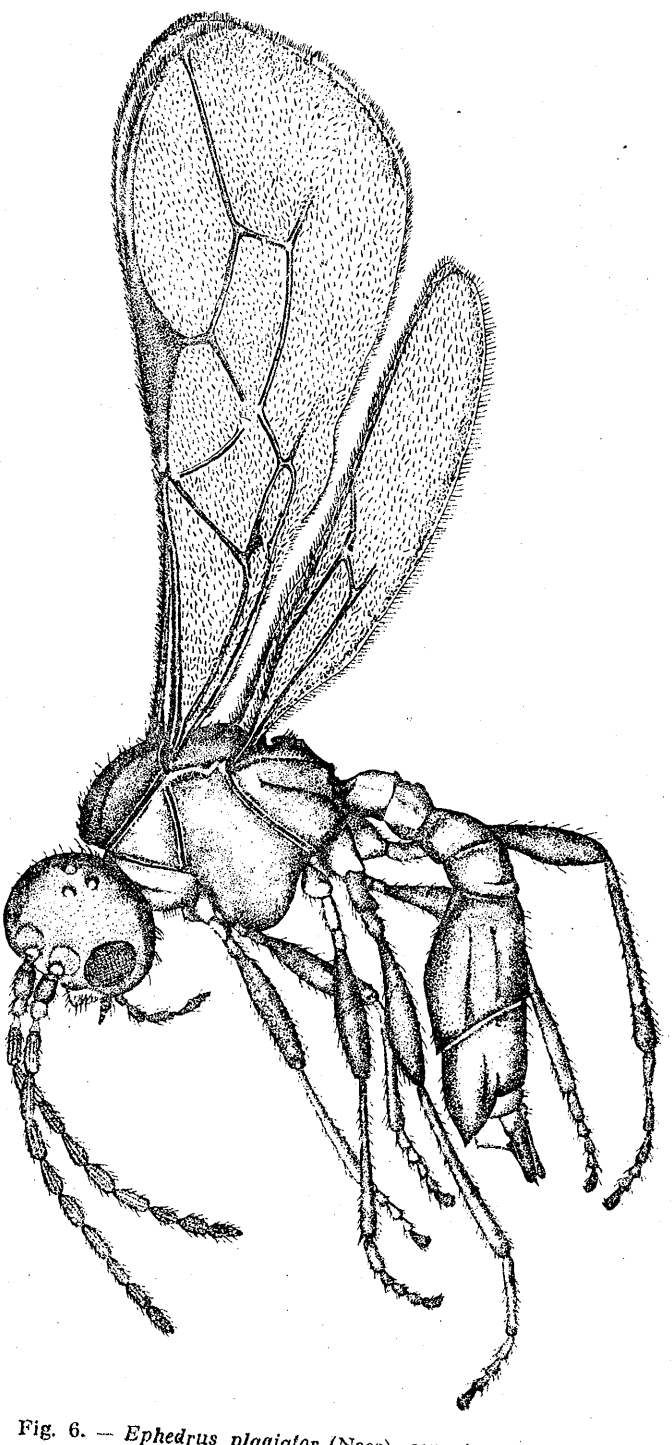


Fig. 6. — *Ephedrus plagiator* (Nees), aspect general ♀.

*Armătura genitală* ♀. Valvele 3 sunt alungite, mai late la bază și ușor rotunjite la capătul distal. Acesta este prevăzut cu peri dispuși aproape pe un rînd (fig. 20).

*Armătura genitală* ♂. Placa ventrală transversală îngustă. Forcepsurile externe mai scurte decît cele interne, cu peri lungi în jumătatea lor apicală. Forcepsurile interne aproape de lungimea edeagului. Părțile lor bazale sunt late și prezintă în unghiiurile externe 2 peri lungi. Părțile apicale cu papile rare. Edeagul îngustat spre vîrf (fig. 21).

Parazitează numeroase specii de afide, ca: *Aphis evonymi* Fab. de pe *Evonymus europeus*; *Aphis fabae* Scop.; *Acyrtosiphon caraganae* Chol.; *Acyrtosiphon onobrychis* B. d. F.; *Cavariella archangelicae* (Scop.); *Dactynotus eichorii* (Koch); *Dysaphis devecta* (Walk.) de pe *Malus communis*; *Hyalopterus pruni* (Geoffr.); *Hyperomyzus lactucae* (L.) de pe *Ribes nigra*, *Macrosiphoniella absinthii* (L.); *Medoralis pomi* (Dig.); *Pergandeida medicaginis* (Koch), *Phoradon humili* (Scherk.); *Pyrethromyzus sanborni* (Gill.); *Rhopalosiphon nymphaeae* (L.) de pe *Malus communis*; *Rhopalosiphon padi* (L.) de pe *Padus europeus*; *Schizoneura ulmi* (L.); *Sitobion avenae* (F.); *Sitobion granarium* (Kirby).

*Răspândirea geografică*: Europa (R.D.G., R.F.G., Anglia, Belgia, Olanda, Franța, Italia, Spania, U.R.S.S.).

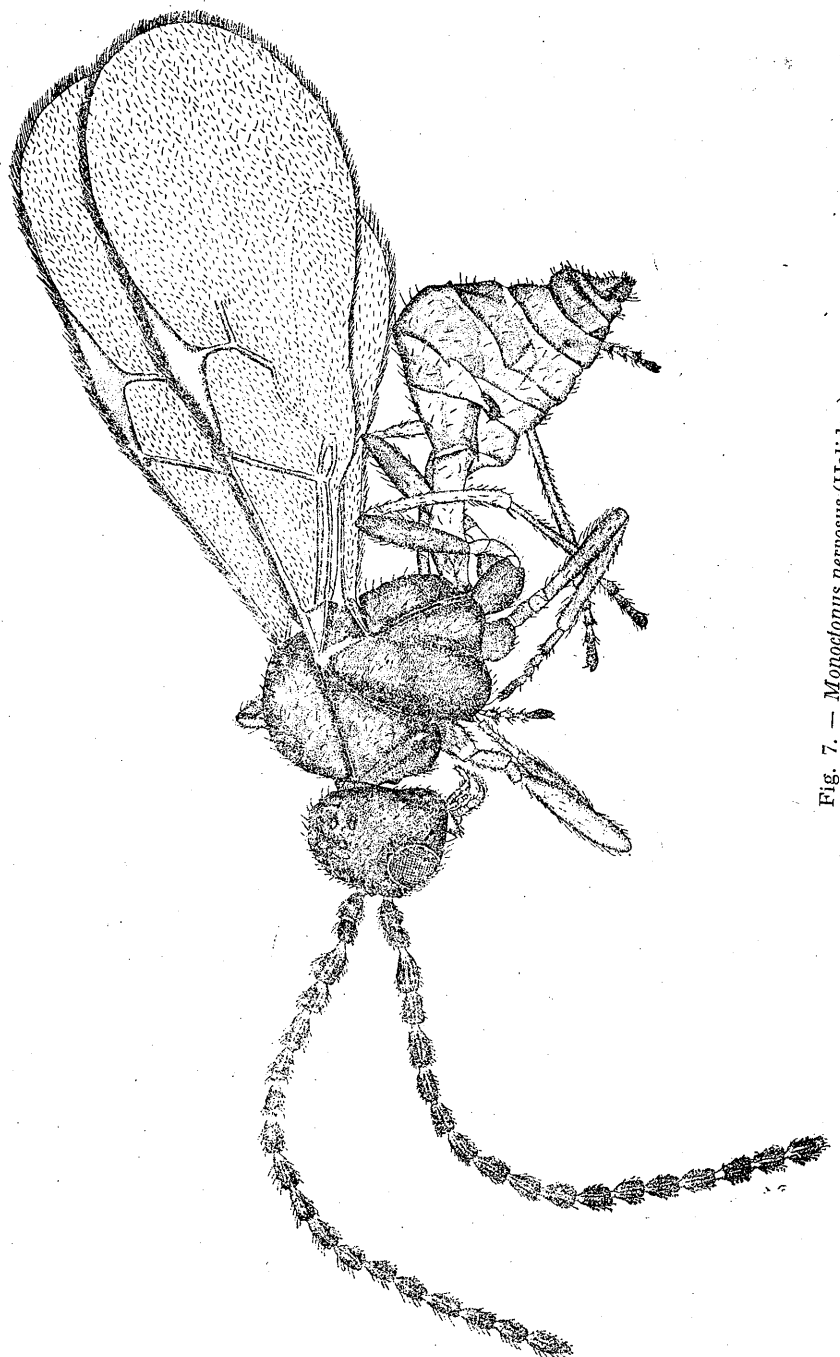
*În România*: Șomcuta (reg. Maramureș).  
Specie nouă pentru țară.

#### Genul **Monoctonus** Haliday, 1833

##### Subgenul **Monoctonus s. str.**

7. **Monoctonus nervosus** (Haliday), 1833. ♂ nedescris pînă în prezent în literatura de specialitate. Colectat cu fileul din cultură de trifoi, 9.VII.1965. Asemănător cu femela în privința următoarelor caractere morfologice: capul aproape cubic, neted, puțin mai lat decît toracele, clipeul oval, convex, neted. Palpii maxilaterali din 4 articole, cei labiali din 2 articole. Mandibule bidentate. Antene din 18 articole, striate, lungi cît corpul 1,2 mm. Mezotoracele bombat neted și strălucitor, foseta presutelară adîncă și netedă. Mezopleurele și metapleurele netede și strălucitoare. Propodeul are o areolă centrală pentagonală. Aripile anterioare ample, depășind lungimea corpului 1,4 mm. Stigma triunghiulară, primul segment al nervurii radiale drept, perpendicular pe stigmă, celelalte nervuri distințe. Abdomenul aproape rotunjît, primul tergit mai lung decît lat, prevăzut cu rugozități fine (fig. 7). Se deosebește de femelă (2 mm) prin lungimea corpului 1,2 mm. Abdomenul mai scurt și mai rotunjît decît la femelă. Coloritul corpului mai intens; capul și toracele aproape negre, abdomenul castaniu, exceptînd antenele, palpii, mandibulele și tarsele, care sunt mai deschise.

*Armătura genitală* ♂. Placa ventrală are forma de baghetă triunghiulară. Forcepsurile externe scurte și late, prevăzute cu peri lungi, situate în regiunea lor apicală. Forcepsurile interne sunt puțin mai scurte

Fig. 7. — *Monodonus nervosus* (Haliday), aspect general ♂.

decit edeagul. Părțile lor bazale sunt late, cu unghiuile externe proeminate. Părțile lor apicale sunt foarte înguste. Pe laturi se observă zimți, iar în vîrf se găsește un dintă încovoiat ca o gheară. Edeagul, mai lat la bază, se îngustează treptat spre vîrf. În regiunea mediană, se observă cîteva papile (fig. 22).

Răspîndire geografică : Europa.

În România : Șomcuta (reg. Maramureș).

Gen și specie noi pentru fauna țării.

#### Genul Praon Haliday, 1833

Gen nou pentru fauna țării.

8. **Praon dorsale** (Haliday), 1833. Material : 4 ♀♀, 9.VII.1965, din culturi de *Acyrthosiphon onobrychis* (B.d.F.) de pe trifoi și lucernă. Antene filiforme din 20 de articole, articoulul al treilea de două ori mai lung decit al patrulea. Lungimea corpului 2,1 mm ; lungimea aripii anterioare 1,8 mm (fig. 8).

*Armătura genitală* ♀. Tariera evidentă cu trei zimți la capăt, valvele 3 sunt subțiri și cu marginea anterioară ușor concavă (fig. 23).

Parazit pe : *Dactynotus tussilaginis* (Walk.) de pe *Tussilago farfara* L. ; *Acyrthosiphon onobrychis* (B.d.F.) ; *Siphonophora chelidonii* Kaltenboch.

Răspîndirea geografică : Europa (Anglia, Elveția, R.D.G., R.F.G., Austria, Suedia, Spania) ; Asia (Japonia).

În România : Șomcuta (reg. Maramureș).

Specie nouă pentru țară.

9. **Praon voluere** (Haliday, 1833). Material : 3 ♀♀ ; 1 ♂ din livadă de pruni, 11.V.1965 (leg. A. Lăcatușu) ; 2 ♀♀ și 2 ♂♂ din culturi de măzăre, 9.VI.1965. Lungimea corpului 2,5 mm ; lungimea aripii anterioare 2,3 mm. Aripa anterioară cu o singură celulă cubitală lungă, separată de celula discoidală printr-o nervură transversală palidă (fig. 9).

*Armătura genitală* ♀. Valvele 3 scurte, marginea anterioară aproape dreaptă (fig. 24).

*Armătura genitală* ♂. Placa ventrală transversală îngustată la mijloc. Forcepsurile externe cu 3 clape ornamentate cu peri lungi. Cele interne au părțile bazale înguste, cu un păr terminal. Părțile distale ale forcepsurilor interne alungite. Volsela bine individualizată și rotunjită. Edeagul mai scurt decit forcepsurile, cordiform legat de baza forcepsurilor externe prin mușchi puternici (fig. 25).

Parazit pe numeroase specii de afide (Homoptera), ca : *Acyrthosiphon pisum* (Harris) ; *A. (Liporrhinus) chelidonii* (Kalt.) pe *Chelidonium majus* L. ; *Amphorophora rubi* (Kalt.) ; *Aulacarthum solani* (Kalt.) ; *Anuraphis mygdali* Buch. ; *Aphis pomi* De Geer. de pe *Lactuca sativa* L. ; *Brachycaudus helichrysi* (Kalt.) ; *Brevicoryne brassicae* (L.) de pe *Brassica oleracea* (L.) ; *Callipterus* sp. ; *Cinara cembrae* (Chol.) ; *Cryptomyzus ribis* (L.) ; *Dactynotus picridis* (F.) ; *Dactynotus sonchi* (Geoffr.) de pe *Sonchus oleraceus* L. ; *Dactynotus jaceae* (L.) ; *Dactynotus solidaginis* (F.) ; *Drepanosiphon platanooides* (Schrantz.) de pe *Acer pseudoplatanus* L. ; *Hyalopterus pruni* (Geoffr.) de pe *Prunus domestica* L. ; *Phragmites communis* Trinius. ;

*Hyperomizus lactucae* (L.) de pe *Sonchus oleraceus* L., *Liosomaphis abietina* (Walk.); *Macrosiphoniella absinthii* (L.) de pe *Artemisia absinthium* L.; *Macrosiphum daphnidis* Boerner; *Macrosiphum euphorbiae* (Thomas); *Macrosiphum rosae* (L.) de pe specii de *Rosa*; *Macrosiphum avenae* (L.)

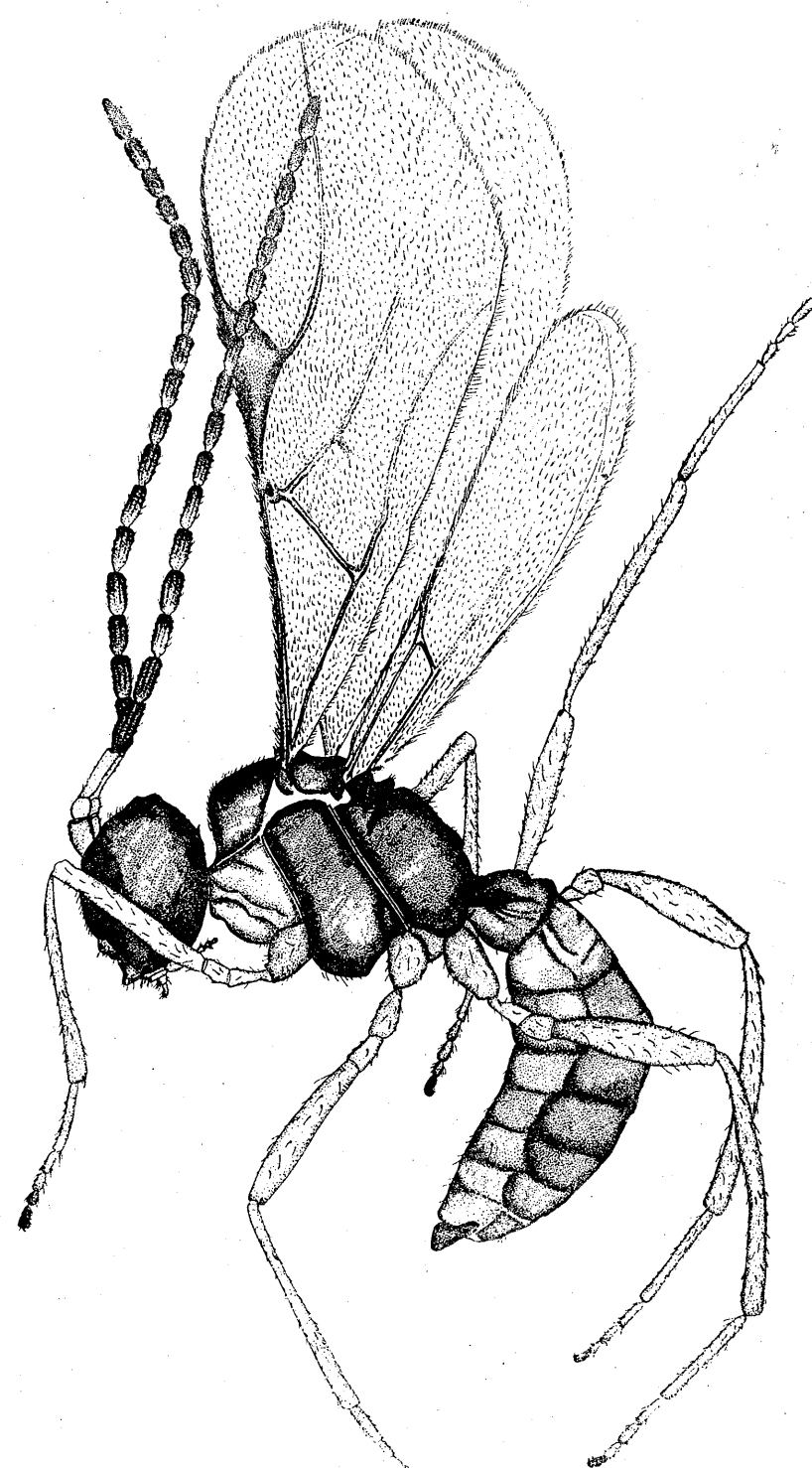


Fig. 8. — *Praon dorsale* (Haliday), aspect general ♀.

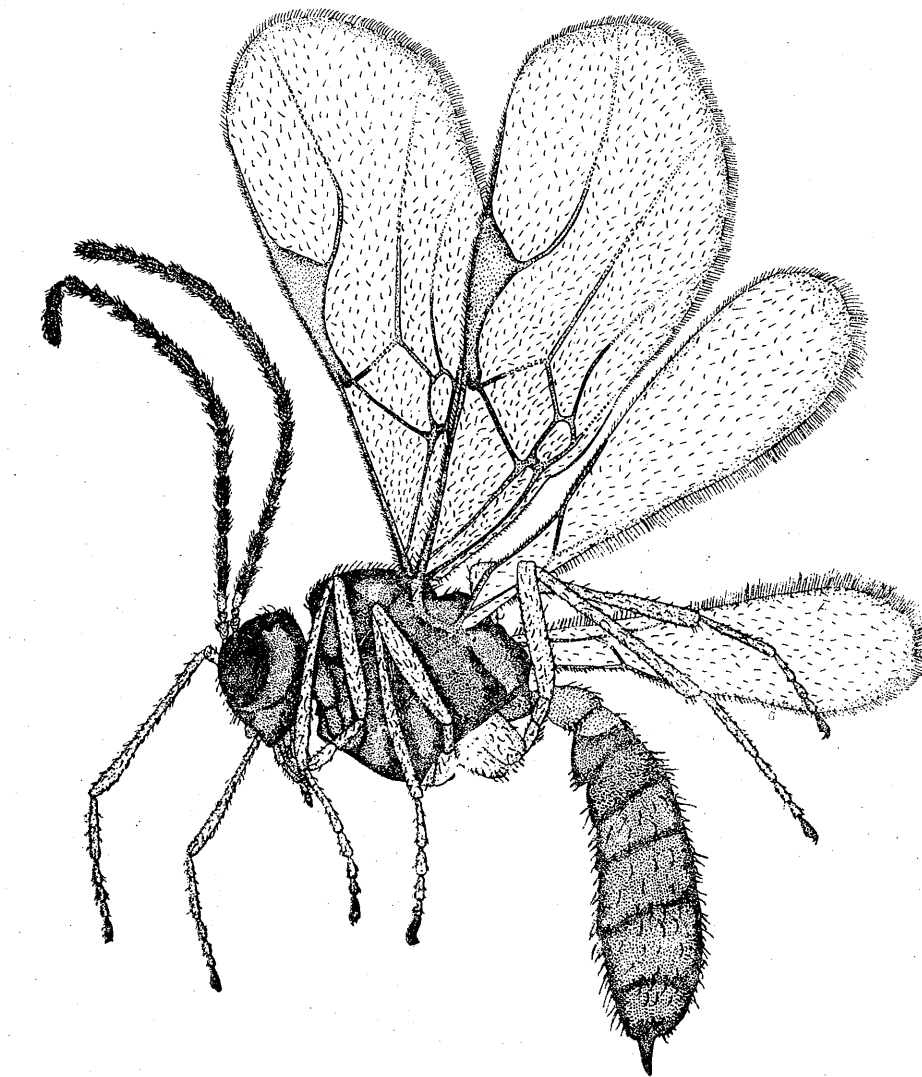


Fig. 9. — *Praon volucere* (Haliday), aspect general ♀.

de pe *Secale cereale* L.; *Macrosiphum fragariae* (Walk.); *Rhopalosiphum padi* (L.); *Siphonophora* sp.; *Tuberculoides annulatus* (Htg.) de pe *Quercus robur* L.

*Răspândirea geografică* : Europa (Anglia, Elveția, R.D.G., R.F.G., R.P. Ungaria, R.S.F. Iugoslavia, Spania); Asia (R.P. Chineză). În România : Somecuta (reg. Maramureș), Băneasa (reg. București). Specie nouă pentru țară.

Genul *Trioxys* Haliday, 1833

10. *Trioxys heraclei* Haliday, 1833. Material : 2 ♀♀ obținute din afide de pe planta *Impatiens nonlitan gere* 3.VII.1965. Lungimea corpului

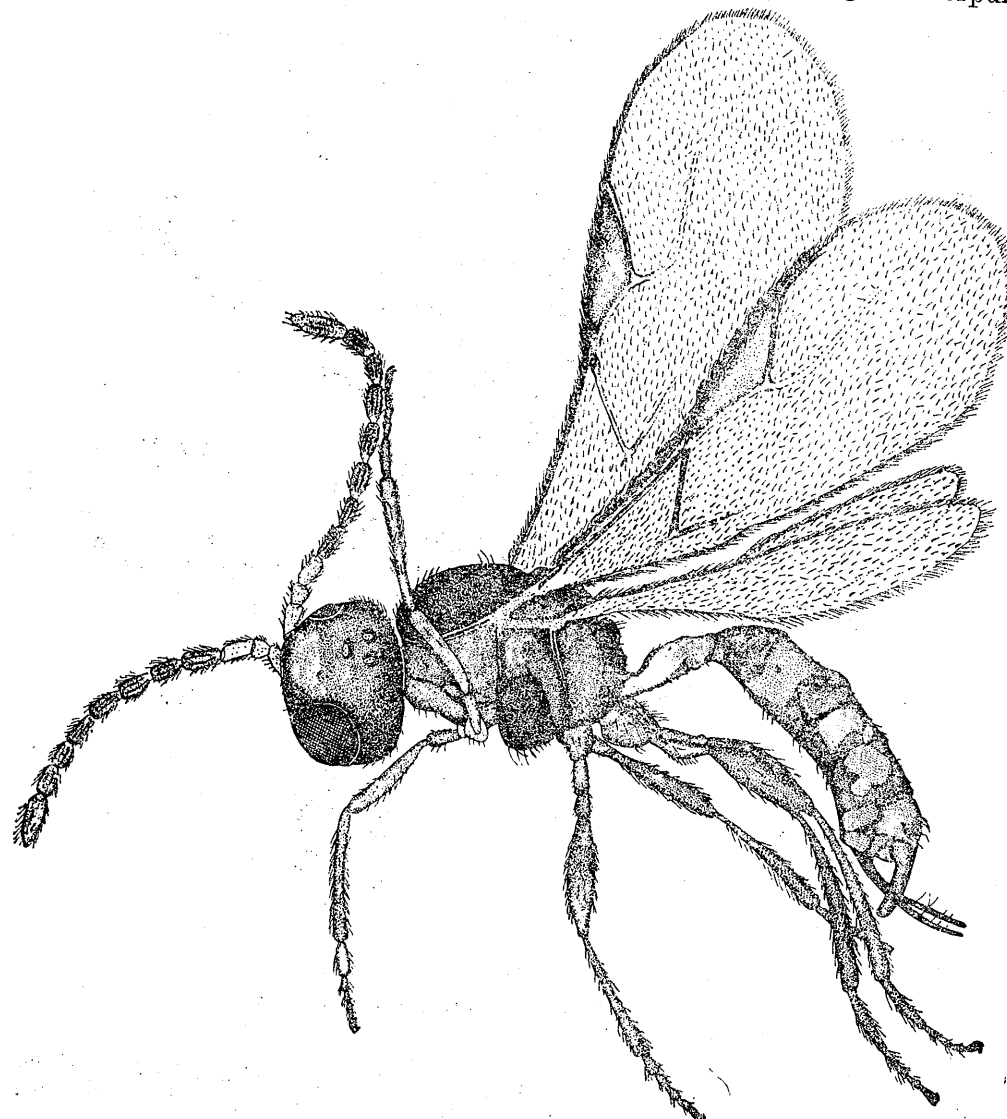


Fig. 10. — *Trioxys heraclei* Haliday, aspect general ♀.

1,6 mm; lungimea aripilor anteroare 1,3 mm. Abdomenul se termină cu o furcă galbenă la bază, pe care se găsesc 4 peri lungi și unul apical mai scurt (fig. 10).

*Armătura genitală* ♀. Tariera curbată, alungită, valvele 3 în formă de secure, prevăzute cu peri așezați neuniform (fig. 26).

Parazit pe *Aphis (Doralis) evonymi* F., *A. (Doralis) fabae* Scop.; *A. (Doralis) rumicis* L.; *Cavariella umbellatarum* (Koch), *Myzella galeopsisidis* (Kalt.); *Pterocomma (Clavigerus) salicis* (L.), ca și pe afide care colonizează pe plantele: *Heracleum spondylium* și *Anthyllis citisoides*.

*Răspândirea geografică* : Europa (Anglia, Olanda, R.D.G., R.F.G., Spania, Italia).

În România : Dumbrava-Sibiu (reg. Brașov).

Gen și specie noi pentru țară.

BIBLIOGRAFIE

1. FAIRINGER J., Festschr. 60. Geburts. E. Strand., Riga, 1937, **3**, 240—245.
2. MAKAUER M., Beiträge zur Entomologie, 1959, **9**, 810—865.
3. — Beiträge zur Entomologie, 1959, **9**, 144—179.
4. — Beiträge zur Entomologie, 1960, **10**, 582—623.
5. MARSHALL T. A., Braconidae, in ANDRÉ, *Species des Hyménoptères d'Europe et d'Algérie*, Beaune, 1891, **5**.
6. NARAYANAN E. S., SUBBA RAO B. R. u. SHARMA A. K., Beiträge zur Entomologie, 1960, **10**, 545—581.
7. STARY P., Acta Faunistica Entomologica Musei Nationalis, 1958, **34**, *3*, 53—96.
8. — Acta Societatis Entomologicae Cechosloveniae, 1959, **56**, *3*, 237—250.
9. — Acta Societatis Entomologicae Cechosloveniae, 1962, **59**, *1*, 42—58.
10. SZEPLIGÉTI G. V., Bracanidae, in WYTSMAN P., *Genera insectorum Hymenoptera, Fam. Braconidae*, 1904, **22**.
11. ТЕЛЕНГА А. Н., Труд. Инст. Зоол. АН СССР, 1948, **1**, 154—158.
12. WATANABE C. a. TAKADA H., Insecta Matsumurana, Hokkaido, 1964, **27**, *1*, 8—11.

Facultatea de biologie,  
Catedra de entomologie.

Primită în redacție la 29 octombrie 1966.

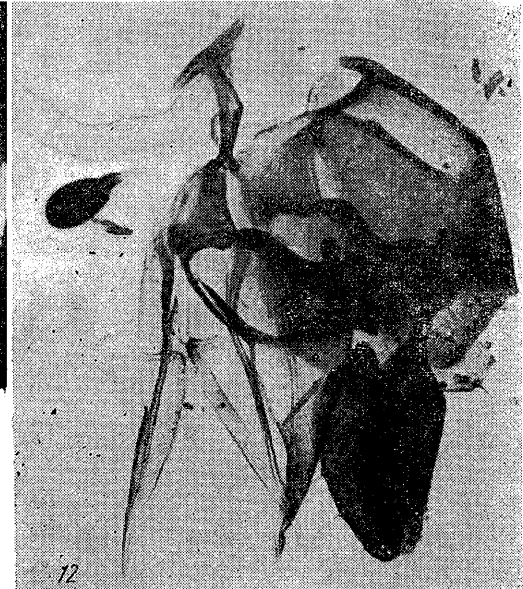
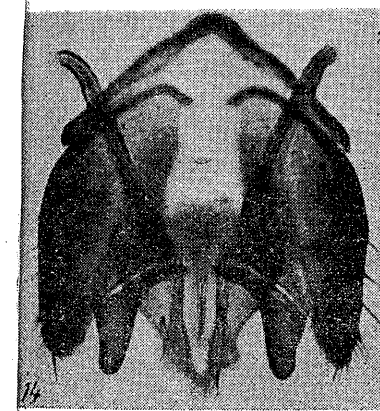
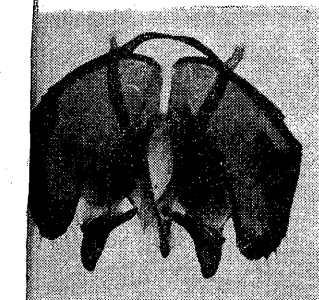
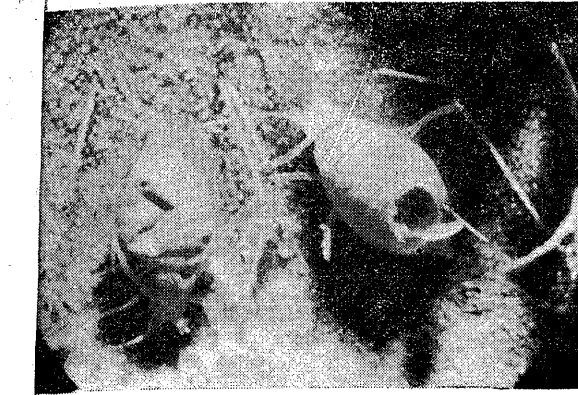


Fig. 11. — Corpul de *Brevicoryne brassicae* L. parazitat.

Fig. 12. — *Lysiphlebus fabarum*, armătura genitală ♀.

Fig. 13. — *Lysiphlebus fabarum*, armătura genitală ♂.

Fig. 14. — *Aphidius avenae* Haliday, armătura genitală ♂.

Fig. 15. — *Aphidius ervi* Haliday, armătura genitală ♀.

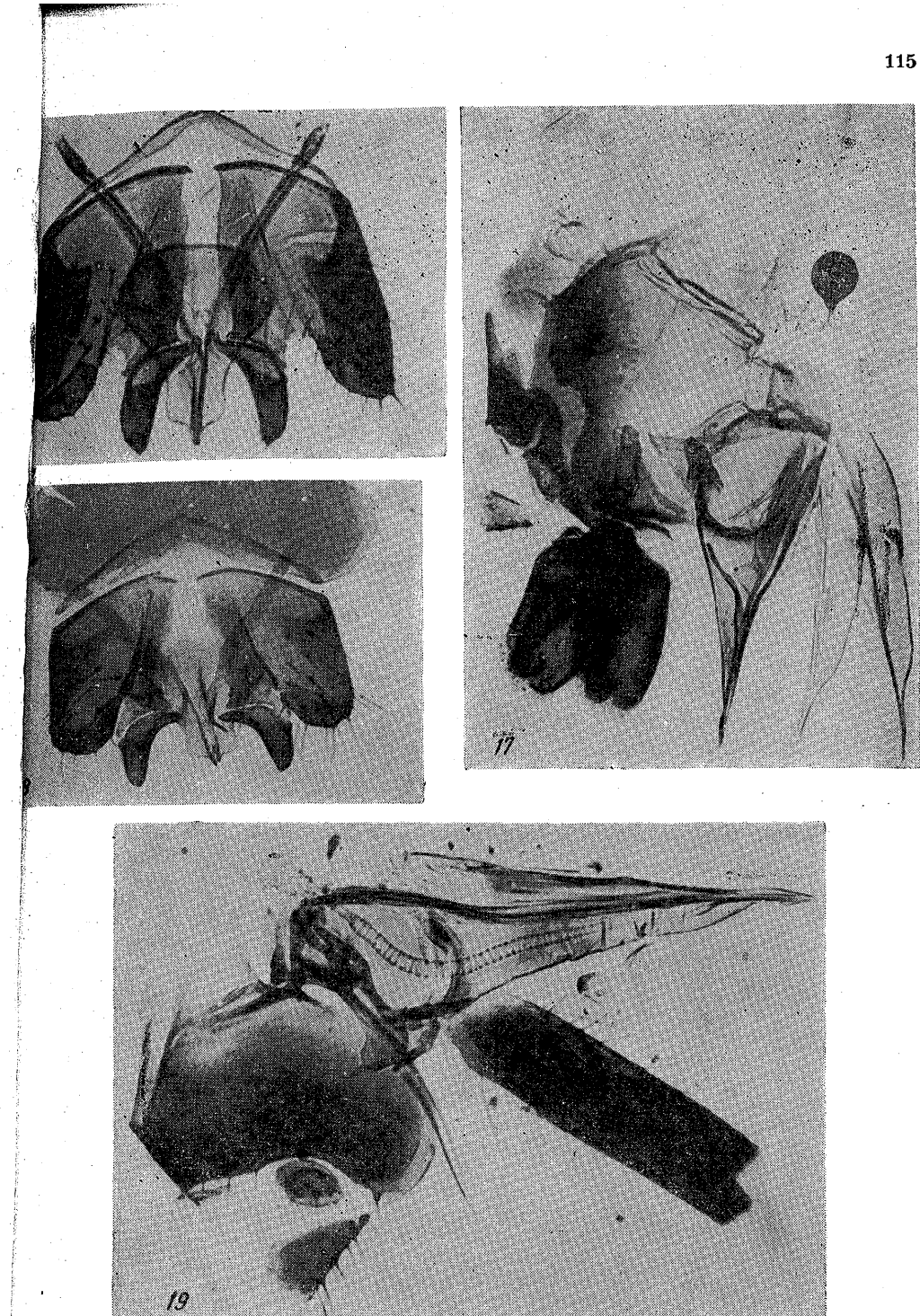


Fig. 16. — *Aphidius ervi* Haliday, armătura genitală ♂.  
Fig. 17. — *Diaeretus rapae* (Curtis), armătura genitală ♀.  
Fig. 18. — *Diaeretus rapae* (Curtis), armătura genitală ♂.  
Fig. 19. — *Ephedrus lacertosus* Haliday, armătura genitală ♀.

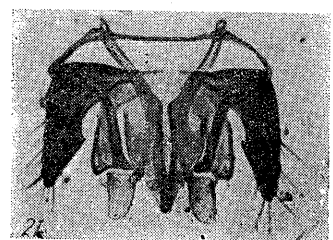
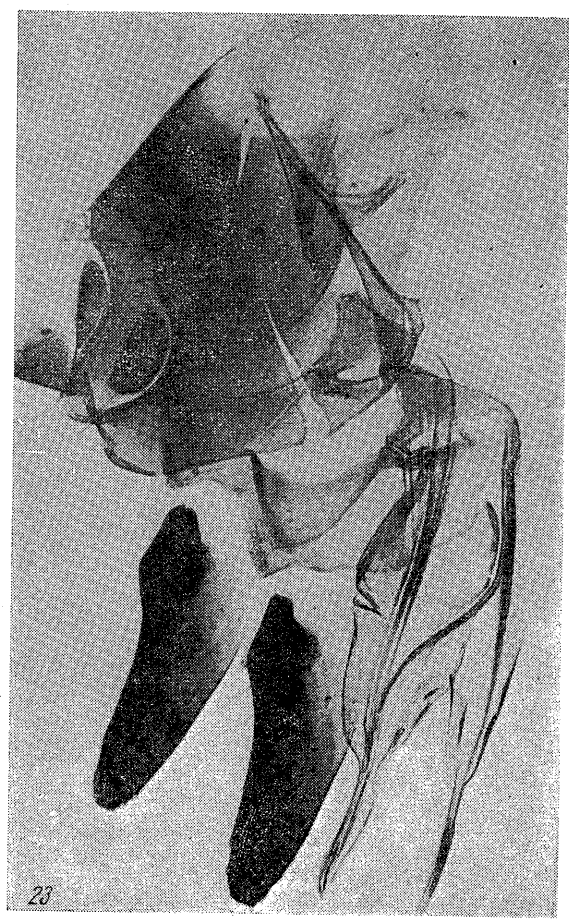
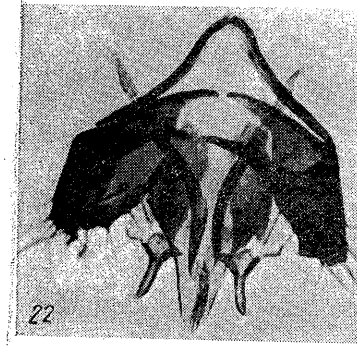
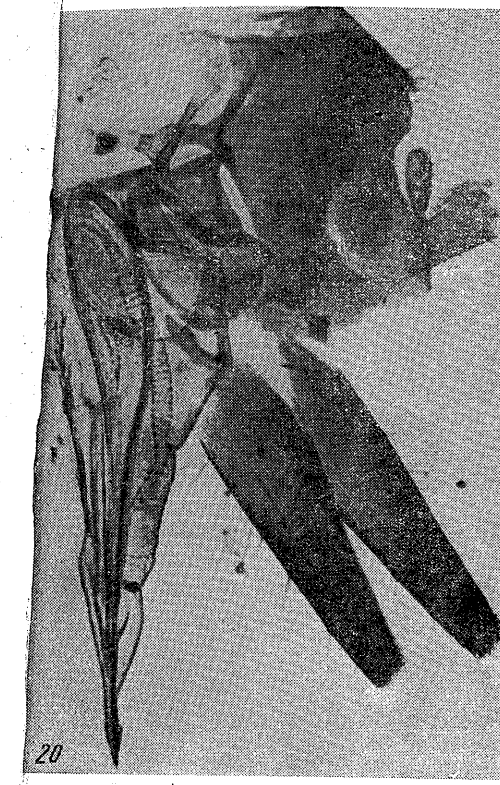
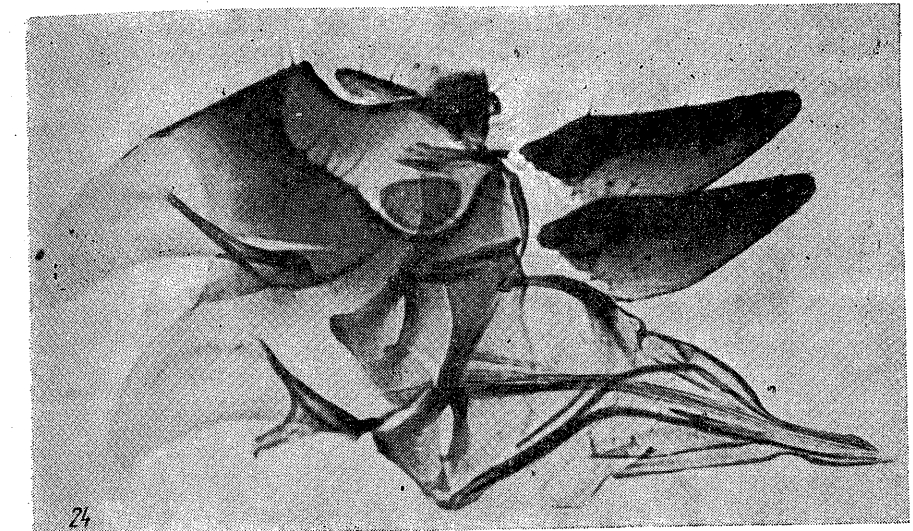


Fig. 20. — *Ephedrus plagiator* (Nees), armatura genitală ♀.

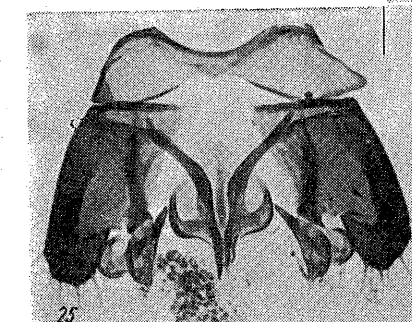
Fig. 21. — *Ephedrus plagiator* (Nees), armatura genitală ♂.

Fig. 22. — *Monoctonus nervosus* (Haliday), armatura genitală ♂.

Fig. 23. — *Praon dorsale* (Haliday), armatura genitală ♀.



24



25



26

Fig. 24. — *Praon volucere* (Haliday), armătura genitală ♀.  
Fig. 25. — *Praon volucere* (Haliday), armătura genitală ♂.  
Fig. 26. — *Trioxys heraclei* Haliday, armătura genitală ♀.

## NEUROSECREȚIA LA *CRIODRILUS LACUUM* HOFFM.

DE

MARIA CĂDARIU

591 (05)

*Criodrilus lacuum* Hoffm. este un oligochet acvatic. S-a studiat sistemul neurosecretor al animalelor normale, proaspăt recoltate din mediul lor de viață, și al animalelor deshidratate.

S-a constatat că sistemul neurosecretor de la *Criodrilus lacuum* este asemănător cu cel de la lumbricidele terestre. Starea funcțională a celulelor neurosecretorii variază în diferite perioade ale anului. Deshidratarea animalelor provoacă o deschidere masivă a neurosecreției din celule.

*Criodrilus lacuum* Hoffm., oligochet acvatic, trăiește de preferință în nămolul de pe fundul apelor sălino-solei, printre rădăcinile plantelor. V. Pop (12) îl încadrează în familia lumbricide, pe cind alți autori (7) îl separă într-o familie deosebită — criodrilide. Sistemul neurosecretor al acestei specii încă nu a fost studiat. Cele mai multe cercetări asupra neurosecreției se referă la reprezentanții familiei lumbricide — genurile *Lumbricus*, *Allolobophora*, *Octolasmium*, *Eisenia* — și doar o singură lucrare (6) se ocupă cu oligochetele inferioare (enchitreide, tubificide, naidide).

Noi am studiat exemplare de *Criodrilus lacuum* Hoffm. colectate din bălțile de la Someșeni (reg. Cluj). Am examinat sistemul neurosecretor al animalelor normale proaspăt recoltate din mediul lor de viață și al unor exemplare supuse unei deshidratări treptate. Am urmărit: topografia sistemului neurosecretor în ganglionii cerebroizi și în lanțul ganglionar ventral, aspectele morfologice ale celulelor neurosecretorii, variațiile lor la animale colectate în perioade diferite ale anului și influența deshidratării asupra neurosecreției.

### MATERIAL ȘI METODĂ

Individii maturi de *Criodrilus lacuum* Hoffm. colectați între 15.IV și 15.VI.1966 au fost sacrificați și fixați imediat. O parte dintre exemplarele din iunie au fost ținute timp de 8 zile în nămol provenit din baltă, într-un cristalizor deschis, la temperatură camerei. Pe măsură ce

nămolul s-a uscat, indivizi, deși erau vioi, s-au deshidratat și ei treptat și au devenit din ce în ce mai mici, tegumentul lor fiind lipsit de umiditatea obișnuită.

Am fixat în lichidul Bouin partea anterioară a animalului cuprinsind primele 10 segmente. Secțiunile histologice de 6 µ au fost colorate cu paraldehid-fucsină după Gabe.

#### REZULTATE

Sistemul nervos central de la *Criodrilus lacuum* conține numeroase celule neurosecretoare, care se recunoște ușor după materialul colorat cu paraldehid-fucsină în violet-roșcat, răspândit în pericarion și în axon. Ele se întâlnesc în toate organele sistemului nervos.

*Ganglionii cerebroizi* cuprind un cortex periferic alcătuit din pericarionul neuronilor și un neuropil așezat în centru, format din fibre nervoase, prelungiri ale celulelor.

Spre partea dorsală și cea posterioară, cortexul ganglionilor cerebroizi este constituit aproape exclusiv din *celule neurosecretoare mici*. Celulele neurosecretoare mici sau celulele „a” sunt unipolare și intens colorate în violet din cauza conținutului bogat în material neurosecretor. Axonii intră în neuropil și formează în partea dorsal-caudală a acestuia o „zonă de acumulare a neurosecretei”, descrisă prima dată de B. Arros și B. Vigh (1), (2) la *Lumbricus*, dar bine vizibilă și la alte specii de lumbricide studiate.

Celulele neurosecretoare mici se prezintă sub aspecte citologice diferite, care trădează stadii deosebite din procesul neurosecretor. Unele sunt în stadiul de secreție activă, de încărcare cu material neurosecretor. Cito-plasma acestora este densă, compactă și pare omogenă, fiind plină cu neurosecrecie (pl. I, 1). Asemenea celule se găsesc în număr foarte mare vacuolizate. Vacuolele conțin cîte o granulă neurosecretoare mare. Celulele vacuolizate se găsesc într-o perioadă de eliminare, de descărcare a neurosecretei. Ele se întâlnesc mai ales la exemplarele colectate în iunie (pl. I, 2 și 3). Uneori, vacuolizarea merge atât de departe, încît cito-plasma capătă aspect spongios, cum este cazul la animalele deshidratate (pl. I, 4), ceea ce denotă o masivă descărcare a materialului neurosecretor din celulă. În fine, printre celulele vacuolizate se întâlnesc și celule pe cale de dezagregare (pl. I, 3).

La partea anterioară și cea posterioară a ganglionilor cerebroizi se găsesc *celule neurosecretoare mari*, slab colorate cu paraldehid-fucsină. Ele sunt reduse ca număr și conțin foarte puțin material neurosecretor. Mai bogate în neurosecreție sunt celulele mari de pe laturile ganglionilor, situate în partea profundă a cortexului (pl. II, 5).

Și celulele mari îmbracă aspecte diferite, care reprezintă stadii deosebite din procesul neurosecretor. În majoritatea cazurilor, granulele de neurosecreție se întâlnesc numai în vacuole sau pe marginea acestora. La celulele localizate pe laturile ganglionilor, întreaga cito-plasmă este încărcată cu neurosecreție. Axonii celulelor neurosecretoare mari intră în partea profundă a neuropilului.

Variatia aspectului celulelor neurosecretoare mari este neînsemnată la cele trei loturi de indivizi.

În *ganglionii subesofagiensi*, pericarionul celulelor este așezat în partea ventrală, constituind un cortex, iar neuropilul ocupă partea dorsală a ganglionilor.

Latero-ventral, în vecinătatea locului de inserție a conectivilor inelului periesofagian se află cîte un grup de celule cu neurosecreție abundantă (pl. II, 6). Celulele conțin vacuole ocupate de cîte o granulă neurosecretoare mare, iar cito-plasma intervacuolară este invadată de grăunciori mai mărungi. La exemplarele colectate în luna aprilie, în jurul celulelor se disting granule grosiere de neurosecreție, care par expulzate direct din pericarion (pl. II, 6). Absorbția acestor granule pare să se facă de către capilarele care vascularizează ganglionii. În figura 6 (pl. II) se observă un capilar dilatat, care trece chiar pe lingă suprafața pericarionului.

*Ganglionii subesofagiensi* mai conțin și celule neurosecretoare mari, cu puține granule de neurosecreție. Ele au aceleași caracteristici citologice ca și celulele mari din creier și sunt localizate mai ales spre partea anterioară și cea posterioară a ganglionilor.

La următorii *gangioni ai lanțului ventral*, pericarionul celulelor ocupă părțile latero-ventrale ale acestora, iar neuropilul este așezat dorsal. În locul de ieșire a nervilor laterală există un grup de celule încărcate cu neurosecreție (pl. II, 7). Spre mijlocul regiunii ventrale a cortexului acestor ganglioni se găsesc o serie de celule mari neurosecretoare (pl. III, 8). Neurosecreție mai puțină se află în celulele mari din partea ventrală și de pe părțile laterale ale ganglionilor.

#### DISCUȚII ȘI CONCLUZII

Observațiile noastre ne conduc la concluzia că sistemul neurosecretor de la *Criodrilus lacuum* este organizat în mod asemănător cu cel de la speciile de lumbricide. Întâlnim aceleași tipuri de celule neurosecretoare, localizate în aceleași regiuni ale sistemului nervos central, ceea ce ar putea constitui un caracter în plus pentru încadrarea acestei specii în familia Lumbricide.

Remarcăm și unele mici deosebiri, care privesc în special aspectul citologic și starea funcțională a celulelor neurosecretoare. Astfel, în decursul ciclului neurosecretor al celulelor mici din *ganglionii cerebroizi*, la nici una din speciile de lumbricide terestre nu apar vacuole precis conturate, cu granule neurosecretoare în interiorul lor, ca la *Criodrilus*. La *Criodrilus lacuum*, *ganglionii lanțului ventral* posedă mai multe celule neurosecretoare și acestea conțin mai multă neurosecreție decit la speciile de lumbricide terestre.

Aspectele citologice sub care apar celulele mici din *ganglionii cerebroizi* au fost interpretate ca stadii deosebite ale procesului neurosecretor. Apariția diferențelor stadii este variabilă la loturile de indivizi. După predominanța unora sau altora din aceste stadii, s-ar putea aprecia starea funcțională generală a sistemului neurosecretor. Astfel, la exemplarele colectate în luna iunie, majoritatea celulelor se găsesc în fază de secreție activă și sunt încărcate cu material neurosecretor. La exemplarele colectate în aprilie predominant celulele vacuolizate, alături de care se întâlnesc și

celule pe cale de dezagregare. Deci sistemul neurosecretor se află într-o perioadă de descărcare a neurosecreției. Deosebirile semnalate între cele două loturi de indivizi ne fac să întrezărим existența unor variații sezoniere la *Criodrilus lacuum*, aşa cum am constatat și la *Octolasmium lacteum*.

O descărcare masivă de neurosecreție, manifestată printr-o vacuolizare avansată și printr-o scădere a cantității materialului neurosecretor din citoplasma intervacuolară, s-a constatat la indivizii de *Criodrilus lacuum*. De aici se poate deduce că sistemul neurosecretor de la *Criodrilus lacuum* este sensibil și reacționează la schimbarea condițiilor de mediu, la fel ca și cel al speciilor de lumbricide terestre (2), (5). El intervine, probabil, în fenomenele de adaptabilitate.

Granulele neurosecretorii sunt eliminate din celulă, în mod obișnuit, prin axon. Prezența granulelor neurosecretorii în afara celulelor din ganglionii subesofagiensi ne arată posibilitatea expulzării directe a acestora din pericarion. Eliminarea directă din pericarion nu exclude descărcarea pe calea axonului, ci reprezintă un mijloc în plus de ajungere a materialului neurosecretor în circuitul sanguin. În cazul nostru, acest fenomen se produce tocmai la animalele recoltate în luna aprilie, la care și în ganglionii cerebroizi au loc fenomene de descărcare intensă a neurosecreției.

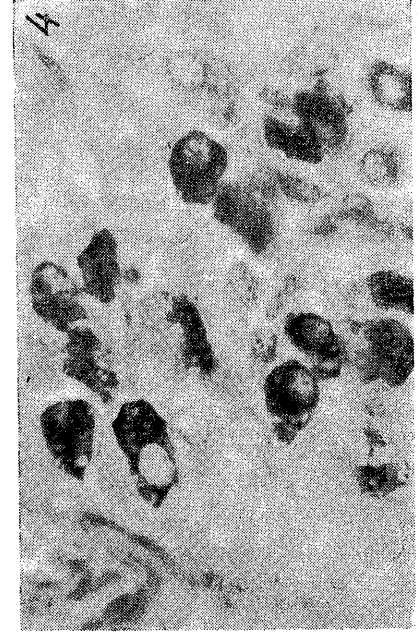
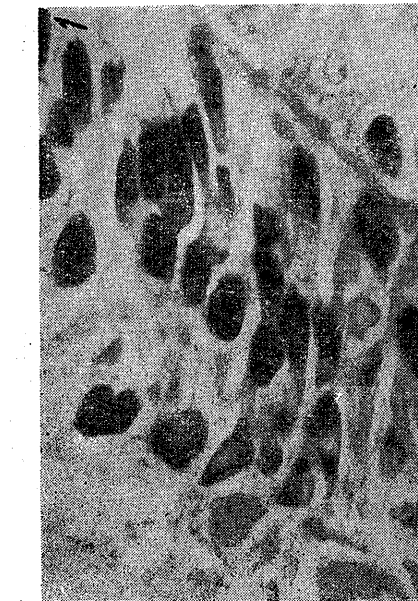
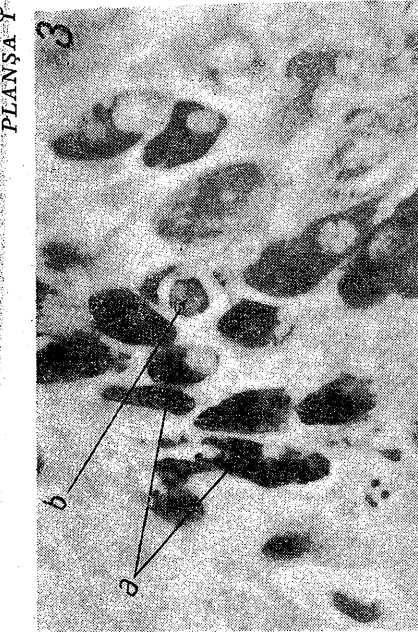
În cazul unei descărcări massive a neurosecreției la *Criodrilus lacuum* celulele neurosecretorii își pot elimina secreția și pe cale holocrină, dezagregându-se. Ele se reconstituie pe seama celulelor nediferentiate ale neoblastelor, care sunt răspândite în toate organele sistemului nervos central, aşa cum s-a constatat și la speciile de lumbricide (3), (5), (8), (9).

#### BIBLIOGRAFIE

1. AROS B. a. VIGH B., Acta biol. Acad. Sci. hung., 1961, **12**, 3.
2. — Acta biol. Acad. Sci. hung., 1961, **12**, 2.
3. — Acta biol. Acad. Sci. hung., 1962, **13**, 2.
4. CĂDARIU M., Studia Univ. Babeș-Bolyai, 1965, **1**.
5. — Studia Univ. Babeș-Bolyai, 1966, **1**.
6. DEUSE-ZIMMERMANN R., Z. Zellforsch., 1960, **52**.
7. UDE H., Oligochaeta, Tierwelt Deutschlands, Berlin, 1929, **15**.
8. HERLANT-MEEWIS H., Bull. biol. France et Belg., 1961, **95**, 4.
9. — Z. Zellforsch., 1966, **69**.
10. OOSAKI T., Z. Zellforsch., 1966, **72**.
11. OTREMBA P., Z. Zellforsch., 1961, **54**, 4.
12. POP V., Anal. Acad. R.P.R., Secția șt. geol., geogr. și biol., 1948, Seria A, **I**, mem. 9.

Universitatea „Babeș-Bolyai” Cluj,  
Catedra de zoologie.

Primită în redacție la 16 noiembrie 1966.

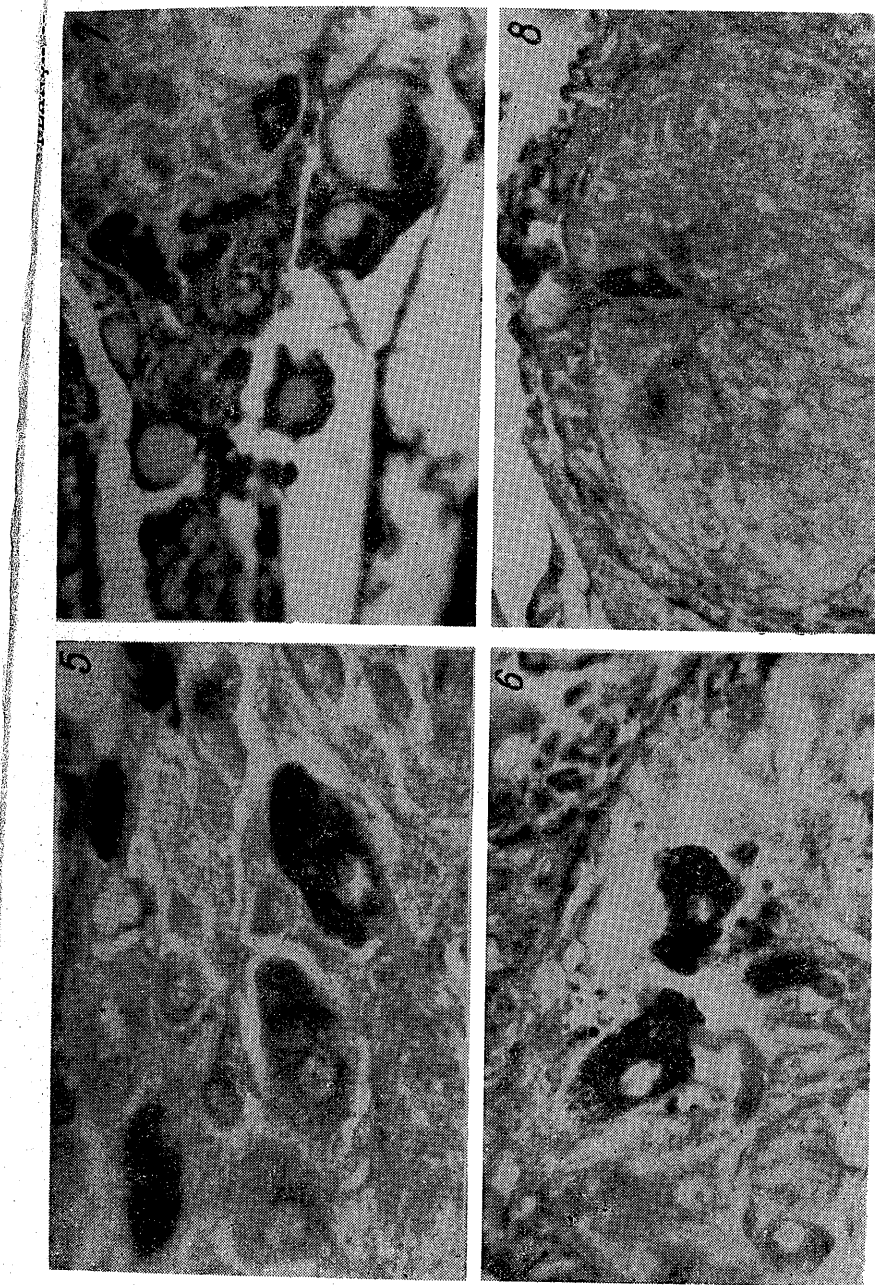


3, Ganglioni cerebroizi. Celule neurosecretorii mici încărcate cu neurosecreție. Material colectat în iunie. Metoda paralehid-fucsini (×950).

4, Ganglioni cerebroizi. Celulele neurosecretorii mici sunt extrem de vacuolate. Exemplar colectat în iunie, tăiat la deshidratare. Metoda paralehid-fucsini (×950).

1, Ganglioni cerebroizi. Celule neurosecretorii mici încărcate cu neurosecreție. Material colectat în iunie. Metoda paralehid-fucsini (×950).

2, Ganglioni cerebroizi. Celulele neurosecretorii mici sunt vacuolate. Material colectat în aprilie. Metoda paralehid-fucsini (×950).



5, Celulă neurosecretorie mare din părțile laterale ale ganglionilor cerebroizi. Metoda paraldehid-fucsină ( $\times 950$ ).  
6, Gangioni subesofagiensi. În jurul celulelor se disting granule neurosecretorii. Capilarul dilatat trece pe lîngă pericarionul celulei. Metoda paraldehid-fucsină ( $\times 950$ ).

7, Ganglionul lantului ventral. Grup de celule neurosecretoare de la baza nervului lateral. Metoda paraldehid-fucsină ( $\times 450$ ).  
8, Celulă centro-ventrală din ganglionul lantului ventral. Metoda paraldehid-fucsină ( $\times 450$ ).

DATE ÎN LEGĂTURĂ CU DEZVOLTAREA GONADELOR  
MASCULE DE CEGĂ (*ACIPENSER*  
*RUTHENUS* L.)  
DE

MARIA CALOIANU-IORDĂCHEL

591 (05)

Analiza histologică efectuată asupra gonadelor masculine la cegă în perioada iulie-noiembrie a permis evidențierea fazelor de dezvoltare a elementelor sexuale în intervalul de timp studiat, precum și evidențierea unor detalii asupra modificărilor structurale ale țesutului interstitiial, ale tubilor seminiferi și ale celulelor sexuale.

Studiile efectuate de către o serie de cercetători, ca Gr. Antipa (1), (2), C. S. Antonescu (3), A. Antoniu-Murgoci (4), (5), (6), I. Borcea (7), Th. Bușniță (9), J. Pellegrin (16), I. Pitiș (17), V. Leontie (14), (15) etc., asupra acipenseridelor din bazinul dunărean aduc date prețioase referitoare la sistematica și biologia acestui grup, precum și unele date de morfologie. În ceea ce privește sistemul reproducător există puține studii (6), (10) etc. Referitor la cegă, un studiu ecologic mai amănuntit, în care apar și date asupra stării gonadelor în diferite perioade ale anului, cu câteva exemplificări histologice, a fost efectuat în sectorul iugoslov al Dunării de către Draga Janković (12). După această autoare, reproducerea cegii are loc în Dunăre în perioada aprilie-mai, iar maturarea gonadelor cuprinde cinci perioade. Dintre acestea, primele două perioade sunt parcuse în stadiile juvenile, ciclul sexual al exemplarelor mature fiind reluat de la stadiul al doilea.

Perioada de spermatogenезă activă, după autoarea menționată, este cuprinsă la exemplarele adulte în intervalul de la sfîrșitul lunii iulie pînă în martie. Aceasta se subdivide în felul următor: sfîrșitul lunii iulie și luna august, cînd sunt parcuse stadiile III-IV; sfîrșitul lunii august, luna septembrie și prima jumătate a lunii octombrie, stadiul IV; a doua jumătate a lunii octombrie pînă în luna martie, stadiile IV-V, cînd intră în faza premergătoare reproducerii.

În cele ce urmează vom prezenta rezultatele cercetărilor histologice efectuate de noi asupra cegii din sectorul românesc al Dunării, care ridică

probleme deosebite față de cele semnalate de autoarea înai sus cită și relevă o serie de caracteristici structurale ale gonadei masculine care pînă acum nu au fost cercetate în mod special.

#### MATERIAL ȘI METODĂ

Exemplarele de cegă au fost pescuite în Dunăre, lîngă Brăila și în porțiunea cuprinsă între Fetești și Făcăieni, zone care sunt semnalate și ca locuri preferate pentru reproducere. Recoltările s-au făcut în perioada iulie-noiembrie de la circa 10 exemplare mature, a căror dimensiune a variat între 40 și 52 cm, iar greutatea între 3 250 și 4 900 g. Paralel cu observațiile efectuate asupra aspectului exterior al gonadelor au fost recoltate probe pentru o analiză histologică mai detaliată. Fixatorii folosiți au fost: amestecul lui Bouin, formol neutru 10% amestecul Serra. Colorările de ansamblu s-au obținut cu hematoxilină ferică-eozină și Azan după metoda Heidenhein și metoda tricromică Masson. Acizi nucleici au fost evidențiați cu ajutorul reacției Feulgen și verde de metil-pironină, iar polizaharidele cu reacția PAS după Lillie și carminul lui Best.

Asupra aspectului macroscopic al gonadelor nu ne vom opri în lucrarea de față, deoarece acesta este asemănător cu al celorlalte specii de acipenseride, dar vom insista asupra elementelor sexuale și modificărilor pe care le suferă gonadele în decursul spermatogenezei active.

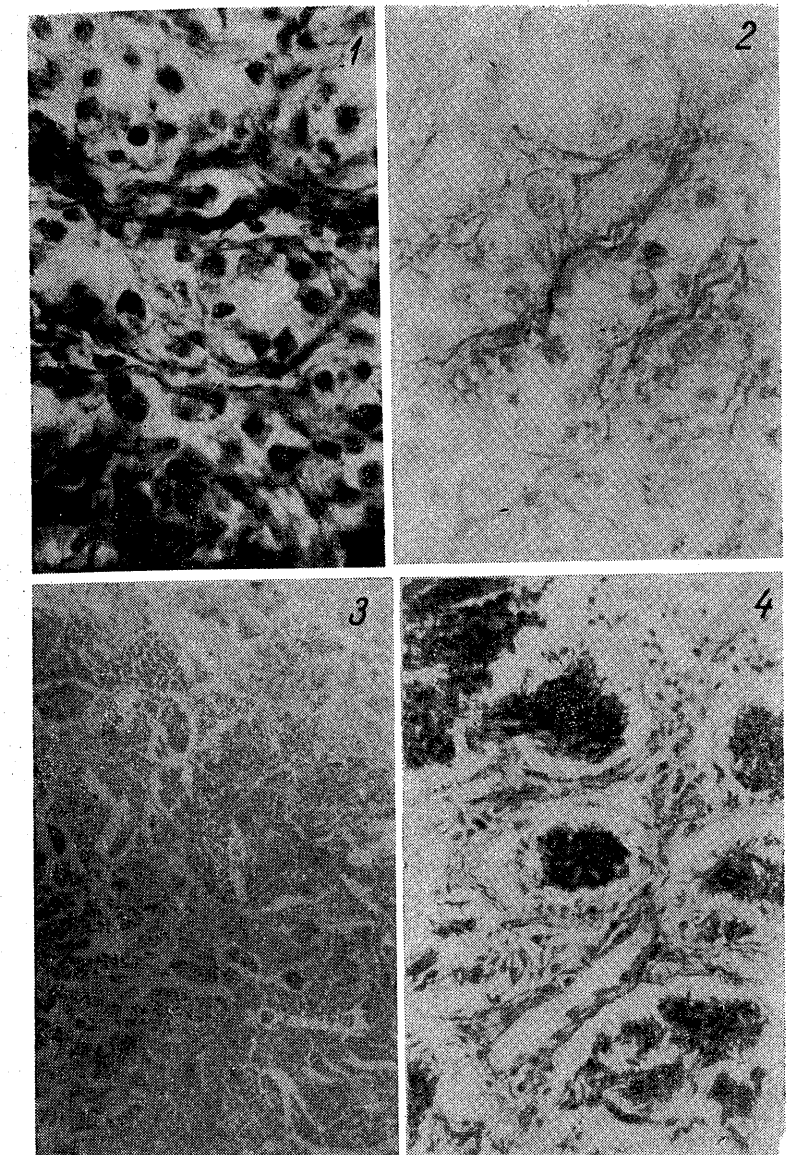
#### EXPUNEREA REZULTATELOR ȘI DISCUȚII

Structura gonadelor masculine de cegă în perioada studiată prezintă variații însemnante. Astfel, analizând probele din luna iulie, se observă că tubii seminiferi sunt relativ reduși ca dimensiuni, iar la exterior sunt înveliți de o membrană de natură conjunctivă, bogată în polizaharide (glicogen) (pl. I, 2). În spațiul dintre tubii seminiferi, care au o dispoziție neregulată și ondulată, se deosebesc elemente conjunctive, vase sanguine și din loc în loc celulele lui Leydig. Lumenul canalelor seminifere este ocupat de numeroase spermatogonii (pl. I, 1). Nucleii acestora, rotunzi sau ușor ovali, se colorează intens cu hematoxilină, dovedind existența unui material cromatic abundant. Treptat, pe măsură ce înaintăm în timp, tubii seminiferi se largesc, iar lumenul lor este ocupat de celule sexuale nou formate. Alături de spermatogonii se întâlnesc numeroase spermatocite (pl. I, 3). Pe secțiunile efectuate în gonadele exemplarelor pescuite în luna septembrie, tubii seminiferi apar mult mai largi, fapt care determină reducerea țesutului interstitițial. În interiorul tubilor seminiferi, elementul predominant îl formează spermatidele.

Cantitatea de polizaharide din țesutul interstitițial scade pînă la completa dispariție. Ușoare urme se păstrează numai în membrana exterană a tubilor seminiferi. De data aceasta, glicogenul apare în epitelul germinativ al tubilor seminiferi.

Spre sfîrșitul lunii septembrie, în țesutul germinativ se observă din loc în loc, împlînați, spermatozoizi. Capul acestora este alungit și capătă o dublă colorație cu reactivii la acizi nucleici. Aceasta dovedește că în porțiunea anteroară a capului colorația violacee intensă este dată de ARN, iar în porțiunea posterioară a capului colorația albastră la Feulgen și cea verde la verde de metil-pironină sănă date de ADN.

PLANSA I. — Caracteristicile structurii testiculului la cegă în stadiul III și începutul stadiului IV de maturare a elementelor sexuale.



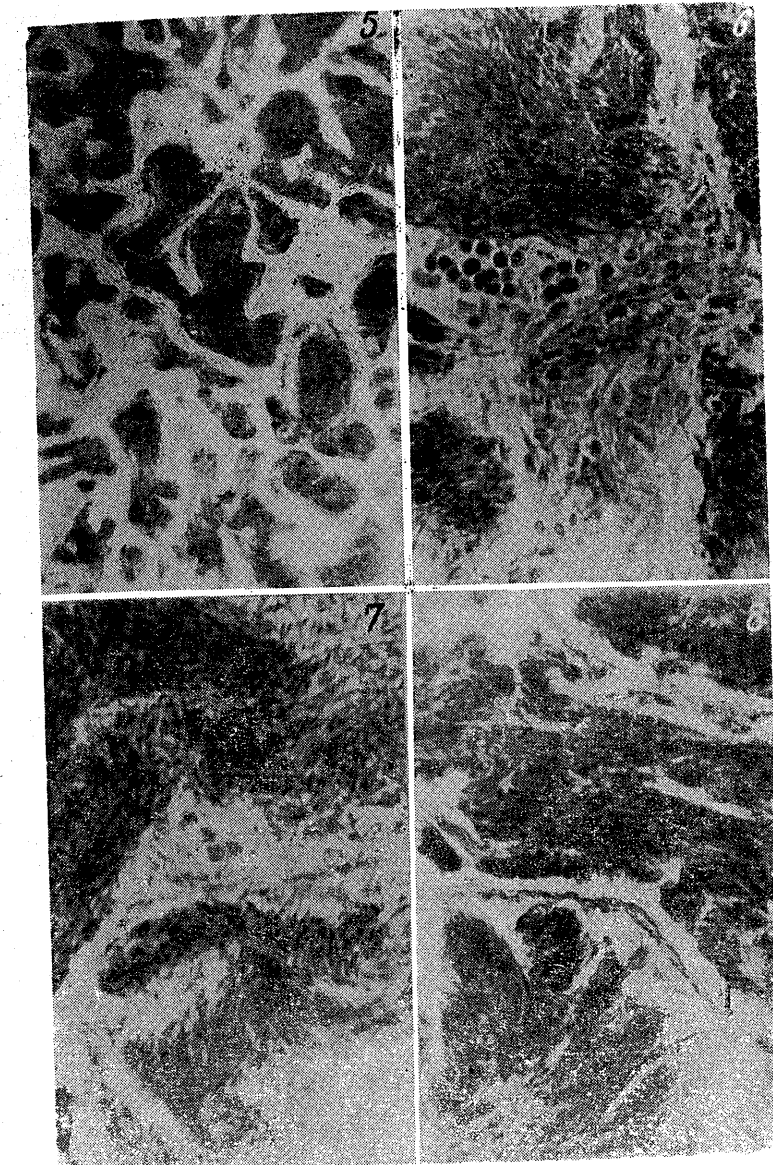
1, Secțiune longitudinală în testicul de cegă pescuită la începutul lunii august. În lumenul canalelor se află numeroase spermatogonii. Azan (oc. 6, ob. 40).

2, Conturul accentuat al canalelor dat de polizaharide prin reacția PAS (oc. 8, ob. 40)

3, Secțiune longitudinală în testicul de cegă pescuită în luna septembrie. În lumenul tubilor seminiferi se află numeroase spermatocite, spermatide și chiar spermatozoizi. Colorație tricromică Masson (oc. 6, ob. 15).

4, Aspectul testiculului la sfîrșitul lunii septembrie. Tubii seminiferi mari cuprind în lumenul lor mulți spermatozoizi. Azan (oc. 6, ob. 65).

PLANŞA II. — Aspectul testiculului la cegă în decursul stadiului IV de maturare (luna octombrie).



5, Tubii seminiferi de dimensiuni crescute și cu spermatozoizi numeroși.  
Azan (oc. 6, ob. 15).

6 și 7, Procesul de spermiogeneză continuă. Se observă spermatide, care devin din ce în ce mai puțin numeroase (7), și o cantitate crescindă de spermatozoizi. Hematoxilină ferică Heidenhein (oc. 8, ob. 65).

8, Tubii seminiferi sunt complet umpluți cu spermatozoizi. Azan  
(oc. 8, ob. 65).

În luna octombrie, aspectul gonadei este mult deosebit. Tubii eminiferi sunt puternic lărgiți, cu un epiteliu germinativ mult redus și spermatogonii izolate. Spermatidele sunt mai numeroase, dar și acestea în plin proces de transformare. Împlintați în sinciuță, dar mai ales eliberăți în lumenul canalelor, se află numeroși spermatozoizi (pl. I, 4). Ei sunt dispuși neregulat, dar, pe măsură ce ne apropiem de sfîrșitul lunii octombrie, alcătuiesc o masă compactă care tinde să acopere întreg lumenul canalelor (pl. II, 5-8). În faza finală, capetele spermatozoizilor liberi apar colorate total în verde, în timp ce cozile acestora rămân aproape incolore sau capătă o colorație de fond generală. La unele exemplare ni s-a întîmplat ca în cazul secționării testiculului să se scurgă un lichid lăptos, fapt care dovedește că spermatozoizii nu alcătuiesc numai o masă amorfă în lumenul canalelor.

Aspectul gonadelor la exemplarele de cegă studiate în perioada iulie-noiembrie dovedește că procesul de spermatogeneză, mult mai lent la sfîrșitul lui iulie și începutul lunii august, se intensifică în următorul interval, așa că în luna octombrie procesul de spermatogeneză, chiar și cel de spermioeneză, este aproape terminat. Trebuie menționat însă și faptul că, printre exemplarele studiate, am întîlnit și indivizi care la sfîrșitul lunii octombrie se aflau cu gonadele în diferite faze ale stadiului III de maturare a elementelor sexuale.

Faptul că la numeroase exemplare stadiul IV este desăvîrșit chiar din luna octombrie ne face să privim cu rezerve părerea autoarei citată mai sus, după care acest stadiu de maturare a elementelor sexuale se petrece de-a lungul perioadei octombrie-martie la toate exemplarele de cegă.

Este necesar să se efectueze studii ecologice și histologice suplimentare asupra modului cum iernează masculii și asupra stadiilor în care se află gonadele la diferite date în perioada noiembrie-martie. După autoarea iugoslavă, aspectul histologic al testiculului în luna ianuarie nu elucidează complet problema. Este necesar de asemenea să se stabilească dacă există posibilitatea unor deosebiri între ritmul de dezvoltare a populațiilor de cegă din cursul inferior al Dunării față de cele care se dezvoltă în amonte de cataracte.

În funcție de datele prezentate se pot face două presupuneri valabile :

— Exemplarele adulte iernează cu organele sexuale în ultimul stadiu de spermioeneză, iar primăvara temperatura apei determină numai depunerea lapților.

— Este posibil ca dintre masculii de cegă unii să atingă stadiile definitive ale spermatogenezei în toamnă, iar în anii cu condiții de mediu propice să se și reproducă. Această presupunere este sprijinită și de faptul că cercetările extinse și asupra fazelor de creștere a ovocitelor dovedesc că acestea, la sfîrșitul lunii octombrie, au intrat în ultima fază a stadiului IV de maturare.

Dacă această presupunere este valabilă, ea dovedește o dată în plus marile posibilități ale acestui grup de pești de a se adapta la condițiile variabile de mediu, fenomen de mare însemnatate biologică. Trebuie să se țină seama în acest caz că nu avem de-a face cu un grup relict în regres, ci, dimpotrivă, se afirmă cu tărie teoria progresului biologic al storionilor (13).

De asemenea se reactualizează problema raselor sau grupelor biologice în cadrul speciilor.

Tot din aceste fapte se desprinde și o concluzie de mare importanță practică. Existența exemplarelor în ultima fază de maturare a elementelor sexuale creează posibilitatea obținerii dirijate a unei a doua generații în același an. Aceasta ar duce la creșterea numărului de indivizi și la posibilitatea populării mai rapide a bazinelor sărace, în special a lacurilor de acumulare de pe lîngă marile hidrocentrale.

#### BIBLIOGRAFIE

1. ANTIPA GR., *Fauna ichtiologică a României*, Acad. Rom., Public. fond. „V. Adamachi”, 1909, **16**.
2. — *Les sturgeons de la mer Noire, leur biologie et les mesures nécessaires pour leur protection*, Acad. Rom., București, 1934, **16**.
3. ANTONESCU C. S., *Pesții apelor din România*, Acad. Rom., București, 1934.
4. ANTONIU-MURGOCI A., Ann. Sci. Univ. Jassy, 1936, **23**, 1–4.
5. — Ann. Sci. Univ. Jassy, 1936, **23**, 1–4.
6. — Ann. Sci. Univ. Jassy, 1942, **23**.
7. BORCEA I., Arch. de Zool. exp. et gen., 1906, **5**, 4.
8. — Ann. Sci. Univ. Jassy, 1929, **15**, 3–4.
9. BUŞNIȚĂ TH., *Contribuțiuni la studiul organului olfactiv la vertebrate*, București, 1932.
10. CALOIANU-IORDACHEL M., St. și cerc. biol., Seria zoologie, 1965, **17**, 2.
11. DIMITRIU M., Ann. Sci. de l'Inst. Nat. Zoot. de Roum., 1937, **6**.
12. DRAGA JANKOVIĆ, *Ekologija dunavske kecige (Acip. ruthenus)*, Stampa, Grafičko preduzeće „Branko-Donovic”, Beograd, 1958.
13. ГЕРЕБИЛЬСКИЙ Н. Л., *Ocenpotoe khozyystvo v vodosemakh CCCP*, Москва, 1963, 5–18.
14. LEONTE V., Rev. Ind. Alimentare, 1955, **3**.
15. — An. Inst. cerc. pisc., 1956, **1**.
16. PELLEGRIN J., *Les esturgeons du Danube*, Paris, 1925.
17. PITIȘ I., Bul. Inf. Sect. Pisc., 1949, **1**, 3.

Institutul de biologie „Traian Săvulescu”,  
Sectorul de morfologie animală.

Primită în redacție la 1 iunie 1966.

#### VARIABILITATEA INTERSPECIFICĂ ȘI INTRASPECIFICĂ A SACULUI VASCULAR LA GOBIIDE \*

DE

VIRGINIA POPESCU-MARINESCU

591 (05)

În lucrarea de față, autoarea se ocupă cu studiul sacului vascular la reprezentanți din familia gobiide (specii care duc viață în medii diferite), arătând că:

— variabilitatea interspecifică a sacului vascular este în legătură cu condițiile de mediu în care trăiește animalul, cu filogenia, precum și cu rolul barierelor al sacului vascular ;

— variabilitatea intraspecifică a sacului vascular este în legătură cu vîrstă animalului.

Sacul vascular la teleosteeni a format obiectul de studiu al differitor autorilor.

Asupra rolului său, părerile sunt încă împărțite. Afirmația lui K. W. Dammann (3) referitoare la dezvoltarea mare a sacului vascular la peștii marini și mică la cei dulcicoli a fost infirmată de O. Necrasov și colaboratori (8), (9). De asemenea, a fost infirmată și ideea lui Haller v. Hallerstein (4) despre dezvoltarea mare a sacului vascular la speciile marine bune înătătoare. Nici părerea lui Seppl (citat după (8)) privitoare la rolul de organ de percepere a mișcărilor progresive nu mai este admisă. Afirmația lui K. W. Dammann și H. Lissner că sacul vascular este un organ bentic, presoreceptor, este sprijinită de unele date ale lui O. Necrasov și colaboratori (8).

Morfologia sacului vascular a fost studiată de differiți autori (3), (4), (7), (8) atât la reprezentanți ai speciilor de apă dulce, cât și la cei de apă marină. Una dintre cele mai complete lucrări este a lui O. Necrasov și colaboratori (8). Autorii afirmă că sacul vascular este un organ extrem de variabil ca formă și grad de dezvoltare atât interspecific, cât și intraspecific.

În lucrarea de față ne ocupăm de variabilitatea sacului vascular la un număr de 14 specii de gobiide din țara noastră.

\* Material din teza de doctorat.

ASPECTUL MORFOLOGIC ȘI DIMENSIUNILE RELATIVE\* ALE SACULUI  
VASCULAR LA GOBIIDE

Sacul vascular la toate gobiidele prezintă distal o porțiune în formă de poligon neregulat (corpul) cu vîrful orientat antero-median și cu ușoară excavăție postero-mediană. Proximal prezintă un peduncul care se insinuează anterior printre lobii laterali (8).

**1. *Gobius (Apollonia) melanostomus* Pallas, 1811**  
(formă necto-bentonică)

După cercetările noastre, sacul vascular de *Gobius melanostomus* la indivizi adulți depășește posterior lobii laterali. Ind. lg.s.v./lg. hip. este 32,26–50,00% ( $M = 42,45$ ), iar ind. lăt. 28,00–44,44% ( $M = 36,39$ ).

Se observă o variabilitate individuală a sacului vascular mai puțin accentuată ca formă și mai mult ca dimensiuni. Ea privește ind. lg. s.v./lg. hip. și ind. lg. pedunculului/lg. corpului sacului vascular, care este de 10,00–85,71% ( $M = 47,85$ ). De asemenea, valori diferite au ind. lăt./lg.

corpului sacului vascular, care reprezintă 114,28–157,00% ( $M = 135,64$ ), și ind. lăt. s.v./lăt. b.rh. 38,33–55,55% ( $M = 46,94$ ). Deci, la unele exemplare, sacul vascular are corpul mic și pedunculul lung, pe cind la altele corpul este înalt, iar pedunculul foarte scurt (fig. 1). Sacul vascular se pare a fi mai mare la indivizi mai tineri. Figura dată de O. Necrasov și colaboratori (8) pentru sacul vascular de *Gobius melanostomus* seamănă cu unele forme găsite de noi.

Semnalăm la unele exemplare de *Gobius melanostomus* corelația dintre mărimea sacului vascular și a hipofizei: cu cît sacul vascular este mai mare, cu atât hipofiza este mai mică și invers.

Fig. 1. — *Gobius melanostomus*, creierul văzut ventral. l.l., Lobii laterali; l.m., lob median; s.v., sac vascular; hf., hipofiză; b.rh., bulb rahidian (prescurtările sunt valabile pentru toate figurile).

**2. *Gobius (s. str.) niger* Linnaeus, 1758**  
(formă necto-bentonică)

Sacul vascular de *Gobius niger* prezintă o mare variabilitate atât ca formă, cât și ca dimensiuni:

a) la unele exemplare (fig. 2, a) este foarte strâns apropiat de lobii laterali; pedunculul este mascat, încit la prima vedere ar părea nepedunculat, iar corpul se poate insera într-un triunghi;

\* Prescurtările folosite pentru anumiți indici de lungime, lățime și lățime/lungime, stabilită pe baza măsurătorilor făcute de noi, utilizând formulele date de O. Necrasov și colaboratori (8): ind. lg. s.v./lg. hip. = indicele de lungime a sacului vascular/lungimea hipotalamusului;  
ind. lăt. s.v./lăt. hip. = indicele de lățime a sacului vascular/lățimea hipotalamusului;  
ind. lăt. lg.s.v. = indicele de lățime/lungimea sacului vascular; ind. lăt.s.v./lăt.b.rh. = indicele de lățime a sacului vascular/lățimea bulbului rahidian.

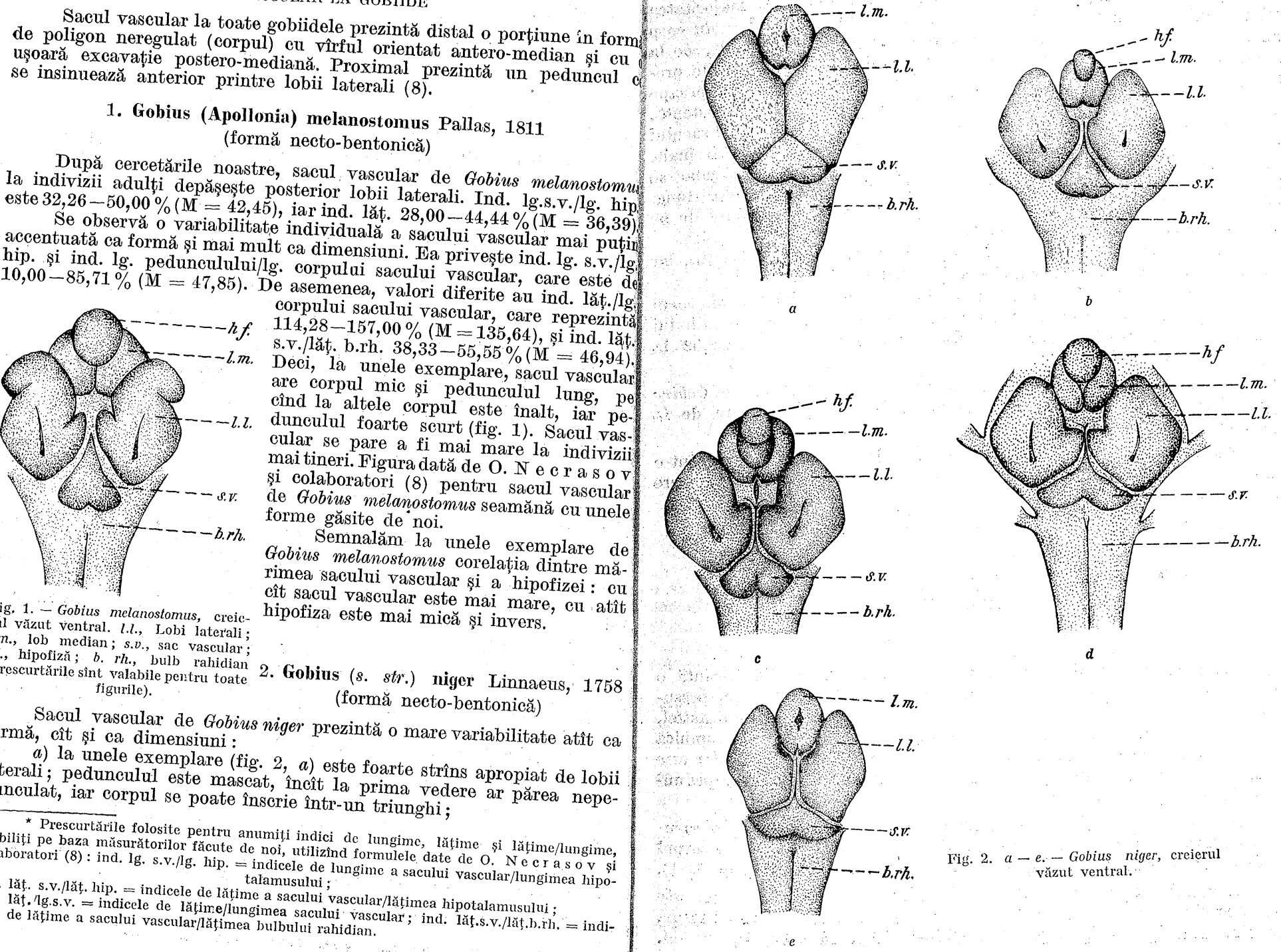


Fig. 2. a – e. — *Gobius niger*, creierul văzut ventral.

b) la alte exemplare de *Gobius niger* (care formează majoritatea celor studiate de noi), sacul vascular prezintă un peduncul și un corp bine detașate de lobii laterali. Forma sa la acestea variază mult, de aceea de triunghi înalt la patrulater mult lățit. Astfel, în cazurile prezентate în figura 2, b, corpul sacului vascular este ca un triunghi aproape echilateral, cu excavarea posterioară foarte ștearsă, aproape inexistent. Peduncul este mult mai scurt decât corpul. În figura 2, c, corpul sacului vascular se înscrie într-un patrulater neregulat, ușor mai lat decât înalt. Peduncul este lung. În figurile 2, d și e, corpul sacului vascular înscrie tot într-un poligon, dar mult mai lat, iar peduncul este lung. La aceste ultime trei figuri (fig. 2, c-e), excavarea triunghiulară de pe linia mediană posterioară este adâncă.

Ind. lăț./lg. s.v. variază de la 80,00 la 143,50% ( $M = 111,75$ ), iar ind. lg. s.v./lg. hip. este de 34,08–58,00% ( $M = 46,53$ ):

Datorită formei și dimensiunilor diferite, în special lățimii, sacul vascular ocupă o suprafață mai mare sau mai mică din lățimea bulbului rahidian (fig. 2, a–e). Ind. lăț. s.v./lăț. b.rh. variază de la 58,52 la 94,34% ( $M = 72,53$ ).

După cele arătate, să ar putea crede că sacul vascular de *Gobius niger*, deosebindu-se atât de mult la diferențele exemplare, este de la specii deosebite.

Această variabilitate intraspecifică a sacului vascular nu am putut-o pune în legătură nici cu vîrstă animalului, nici cu epoca de reproducere sau sexul.

### 3. *Gobius (Neogobius) fluviatilis* Pallas, 1811 (formă necto-bentonica)

Ca și la *Gobius niger*, sacul vascular de *G. fluviatilis* prezintă o mare variabilitate ca formă și dimensiuni. După datele noastre, presupunem că această variabilitate este în legătură cu vîrstă animalului. Astfel, la exemplarele mai tinere, forma corpului sacului vascular este rombică (fig. 3, a), iar peduncul lung. La adulți, corpul sacului vascular este triunghiular, cu excavarea posterioară triunghiulară vizibilă, iar peduncul scurt (fig. 3, b).

Remarcăm corelația dintre mărimea pedunculului și a corpului sacului vascular, și anume, cu cât peduncul este mai scurt, cu atât corpul este mai mare și invers. Ind. lăț./lg. s.v. este 63,63–100,00% ( $M = 81,81$ ).

În raport cu celealte părți ale hipotalamusului, sacul vascular este bine dezvoltat cind are forma triunghiulară și mai puțin cind are forma romanică. Ind. lg. s.v./lg. hip. este 44,35–56,25% ( $M = 50,14$ ), iar ind.

at. 33,33–53,75% ( $M = 43,54$ ). Față de bulbul rahidian, el ocupă 58,35–55,55% ( $M = 76,94$ ) din lățimea feței ventrale a acestuia. Sacul vascular este detașat de celealte formațiuni și depășește mult posterior lobii laterali.

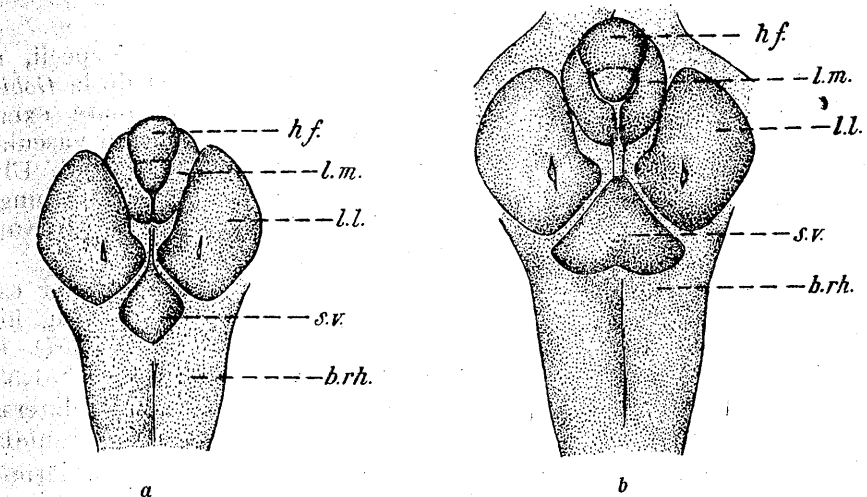


Fig. 3. — *Gobius fluviatilis*, creierul văzut ventral. a, Exemplare tinere; b, exemplare adulte.

### 4. *Gobius (Zosterisessor) ophiocephalus* Pallas, 1811 (formă necto-bentonica)

La sacul vascular de *Gobius ophiocephalus* (fig. 4) nu am observat o accentuată variabilitate intraspecifică. Toate exemplarele studiate au corpul globulos, ușor mai lat decât înalt, iar excavarea posterioară foarte slabă. Peduncul este lung și subțire.

Ind. lăț./lg. s.v. este 58,33–66,66% ( $M = 62,49$ ).

Că mărime, în comparație cu celealte părți ale hipotalamusului, sacul vascular este mic. Ind. lg. s.v./lg. hip. este 46,15–60,00% ( $M = 53,08$ ), iar ind. lăț. 35,00–35,72% ( $M = 35,36$ ). El ocupă numai o mică parte din lățimea feței ventrale a bulbului rahidian. Ind. lăț. s.v./lăț.b.rh. este 43,33–44,44% ( $M = 43,88$ ).

Sacul vascular este bine detașat de celealte formațiuni hipotalamice, fără însă a fi mult îndepărtat de acestea. El depășește posterior lobii laterali.

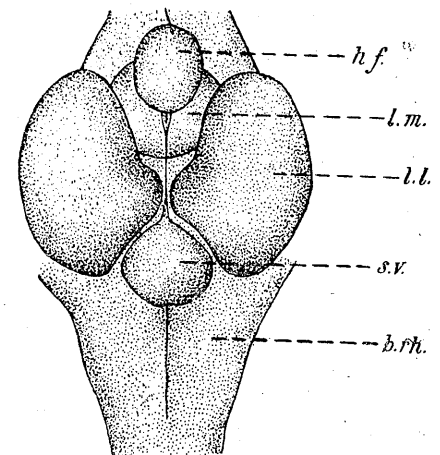


Fig. 4. — *Gobius ophiocephalus*, creierul văzut ventral.

**5. *Gobius (Ponticola) syrman* Nordman, 1840  
(formă necto-bentonică)**

Sacul vascular la *Gobius syrman* (fig. 5), ca și la alte specii, prezintă variații individuale deosebite. El seamănă cu cel de la *Gobius fluviatilis* (fig. 8). La toate exemplarele, pedunculul sacului vascular ca lungime, nu întrece corpul. Ultimul se poate înscrie într-un triunghi care posterior prezintă o excavăție foarte slabă.

Ca mărime, sacul vascular este relativ dezvoltat. Ind. lg. s.v./lg. hip. este 51,43–51,72% ( $M = 51,57$ ), iar ind. lăț. 49,23–53,84% ( $M = 51,53$ ). El depășește posterior lobii laterali.

În raport cu bulbul rahidian nu ocupă decât o parte din lățimea acestuia. Ind. lăț. s.v./lăț. b.rh. este 52,00–67,27% ( $M = 59,63$ ).

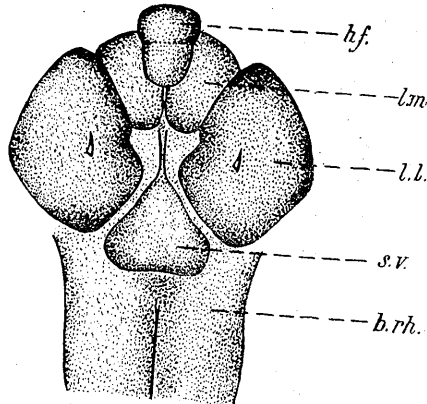


Fig. 5. — *Gobius syrman*, creierul văzut ventral.

**6. *Gobius cephalarges* Pallas, 1831  
(formă necto-bentonică)**

Sacul vascular la *Gobius cephalarges* prezintă variații în special în ceea ce privește mărimea.

Astfel, la femelele tinere de circa 8 cm lungime (fig. 6, a) este foarte mare. Corpul, relativ triunghiular, constituie partea cea mai dezvoltată atât ca lungime, cât și ca lățime, pe cind pedunculul este foarte redus. În acest caz, sacul vascular are lățimea aproximativ egală cu lungimea. El ocupă aproape toată lățimea feței ventrale a bulbului rahidian și depășește mult posterior lobii laterali.

La masculii mai tineri, cu lungimea de circa 8 cm, are aceeași formă ca la femelele tinere, cu singura deosebire că este mai puțin lat.

La masculii mai mari, care depășesc talia de 10 cm lungime, sacul vascular (fig. 6, b) este mic, având aspectul tipic de picătură atîrnîndă. și la aceste exemplare, pedunculul este mai scurt și corpul mai mare. În asemenea caz, lungimea sacului vascular depășește puțin lățimea sa. În comparație cu bulbul rahidian, nu ocupă decât 52,94% din lățimea feței ventrale a acestuia.

La toate exemplarele (femele și masculi), sacul vascular este strins apropiat de lobii laterali.

Această largă variabilitate este redată de ind. lg. s.v./lg. hip. de 45,00–55,55% ( $M = 50,27$ ) și de ind. lăț. de 40,90–66,66% ( $M = 53,78$ ). Figura dată de O. Necrasov și colaboratori (8) pentru sacul vascular și lobii laterali de *Gobius cephalarges* se asemănă cu ceea ce am găsit noi la masculii cu talia de peste 10 cm lungime.

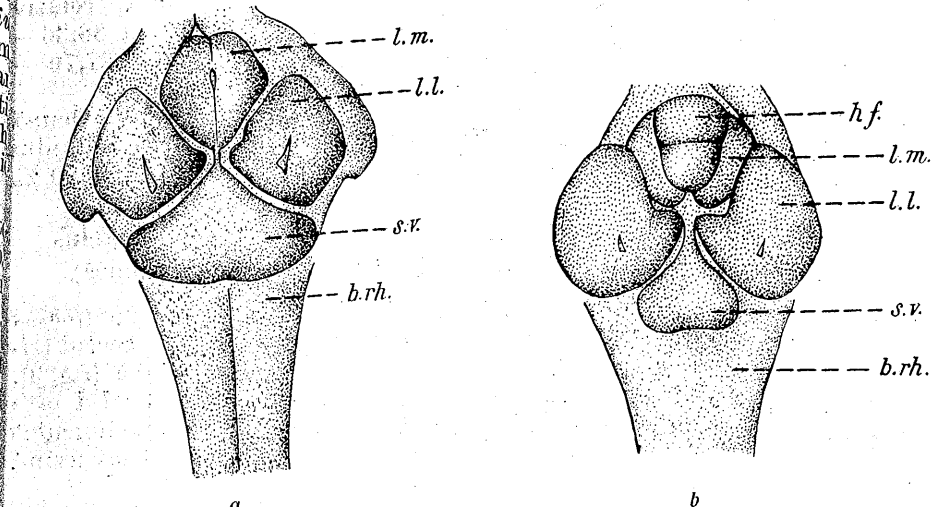


Fig. 6. — *Gobius cephalarges*, creierul văzut ventral. a, ♀ tânără; b, ♂ adult.

**7. *Gobius (Ponticola) kessleri* Günther, 1861  
(formă necto-bentonică)**

Sacul vascular de *Gobius kessleri* prezintă o ușoară variabilitate, în special în ceea ce privește forma (fig. 7). Corpul său, în formă de hexagon neregulat, este mare, iar pedunculul scurt. La unele exemplare, pedunculul este atât de scurt, încit pare nonexistent. Corpul sacului vascular prezintă lateral două concavități, posterior două convexități formind pe linia mediană incizura vizibilă.

Sacul vascular, mult mai lung decât lat, are ind. lăț./lg. 89,28–120,69% ( $M = 104,98$ ). El depășește mult posterior lobii laterali. Ind. lg. s.v./lg. hip. este 50,00–50,90% ( $M = 50,45$ ), iar ind. lăț. 38,46–53,85% ( $M = 46,14$ ). În raport cu bulbul rahidian, sacul vascular ocupă o bună parte din fața ventrală a acestuia.

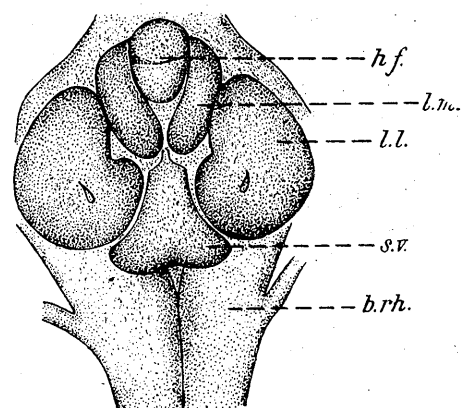


Fig. 7. — *Gobius kessleri*, creierul văzut ventral.

8. *Gobius (Babka) gymnotrachelus* Kessler, 1857  
(formă necto-bentonică)

Sacul vascular la această specie are aspectul triunghiular (fig. 8) de obicei mai înalt decât lat. Pedunculul este scurt, iar corpul ca triunghi înalt, totuși ușor mai scurt decât lat. Ind. lăt./lg. este 71,42% (M = 80,71). Sacul vascular, relativ mic, are ind. lg. s.v./lg. hip. egal cu 36,36%, 50,90% (M = 46,65), iar ind. lăt. 27,70% (M = 33,85).

Posterior depășește lobii laterali. Ocupă jumătate din lățimea feței ventrale a bulbului rahidian, ind. lăt. s.v./lăt.b.rh. fiind 50,00%.

9. *Gobius (Mesogobius) batrachocephalus* Pallas, 1811 (formă necto-bentonică)

Sacul vascular la exemplarele de *Gobius batrachocephalus* disecate de noi are aspectul triunghiular, posterior cu o excavăție slabă (fig. 9) foarte mic. Astfel, la prima vedere, sacul vascular pare nepedunculat și foarte strins apropiat de lobii laterali. Ca mărime, este voluminos având ind. lg. s.v./lg. hip. egal cu 37,03 – 54,54% (M = 45,28), iar ind. lăt. 47,89 – 56,66% (M = 52,27). Ocupă o mare parte din lățimea feței ventrale a bulbului rahidian; ind. lăt. s.v./lăt. b.rh. este 85,00 – 97,14% (M = 91,07). Posterior depășește puțin lobii laterali.

Sacul vascular figurat de O. Necrasov și colaboratorii (8) este mult mai voluminos decât cel descris de noi, depășind posterior lobii laterali, iar ca formă este mai hexagonal, dar tot cu un peduncul foarte scurt. Diferența se datorează variabilității intraspecifice.

10. *Pomatoschistus microps leopardinus* (Nordman), 1840  
(formă necto-bentonică)

Sacul vascular la *Pomatoschistus microps leopardinus* este relativ mic, în special în ceea ce privește lățimea (fig. 10). Are ind. lg. s.v./lg. hip. egal cu 37,15 – 52,18% (M = 44, 52), iar ind. lăt./lg. s.v. de 53,33 – 66,66% (M = 58,86).

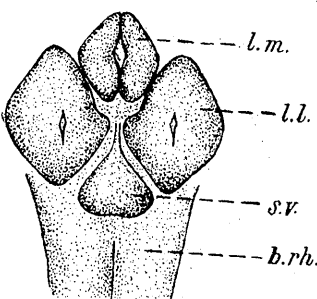


Fig. 8. – *Gobius gymnotrachelus*, creierul văzut ventral.

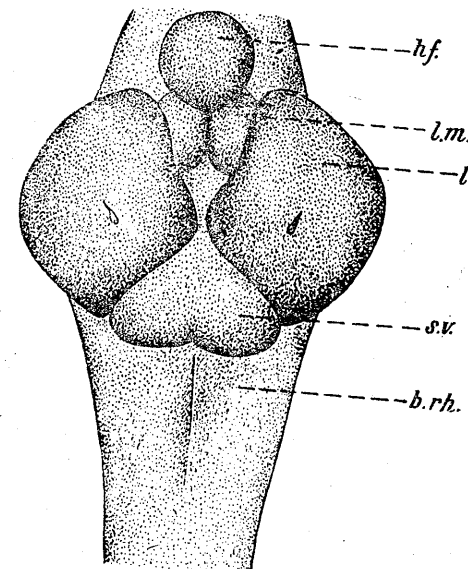


Fig. 9. – *Gobius batrachocephalus*, creierul văzut ventral.

9. VARIABILITATEA SACULUI VASCULAR LA GOBIIDE

Forma sacului vascular este exact cea de picătură atîrnindă, cu pedunculul relativ lung și corpul triunghiular, mult înalt, fără excavăția triunghiulară posterioară.

Sacul vascular este bine detașat de lobii laterali, pe care îl depășește mult posterior. Față de bulbul rahidian este mic. Ind. lăt. s.v./lăt. b. rh. reprezintă 28,57 – 55,55% (M = 43,02).

11. *Pomatoschistus minutus elongatus* (Canestrini), 1862 (formă necto-bentonică)

Sacul vascular la *Pomatoschistus minutus elongatus* prezintă pedunculul subțire și lung, iar corpul triunghiular, puțin mai lat decât înalt și excavăția mediană posterioară bine vizibilă (fig. 11).

În comparație cu celealte părți ale hipotalamusului, sacul vascular este mic, având ind. lg. s.v./lg. hip. 46,66%, iar ind. lăt. 40,00%. El depășește mult posterior lobii laterali, de care este bine detașat. În ceea ce privește raportul dintre sacul vascular și bulbul rahidian, primul ocupă numai 48,00% din lățimea feței ventrale a ultimului.

12. *Proterorhinus marmoratus* (Pallas), 1811  
(formă necto-bentonică)

La *Proterorhinus marmoratus* s-a observat o variabilitate a sacului vascular în funcție de vîrstă.

Astfel, în stadiul juvenil, sacul vascular (fig. 12, a) este lung pedunculat, bine detașat de lobii laterali, dar strins apropiat de cutia craniiană, încît foarte ușor se poate smulge la disecție. Ind. lăt./lg. s.v. este 80,00%. Corpul său triunghiular, situat cu vîrful anterior între lobii laterali, prezintă o usoară excavăție pe linia mediană. Ca mărime, sacul vascular este relativ dezvoltat, cu ind. lg. s.v./lg. hip. reprezentând 50,00%, iar ind. lăt. 40,00%. El nu ocupă decât jumătate din fața ventrală a bulbului rahidian, încit ind. lăt. s.v./lăt.b.rh. este 50,00%. Posterior, sacul vascular depășește mult lobii laterali.

În stadiul de trecere de la juvenil la adult, sacul vascular se asemănă foarte mult cu cel din stadiul juvenil.

În stadiul adult însă diferă în sensul că la exemplarele disecate de noi sacul vascular (fig. 12, b) are aspectul de picătură atîrnindă cu pedunculul lung și corpul hexagonal. Corpul este mic, iar posterior prezintă excavăția triunghiulară evidentă. Ind. lăt./lg. reprezintă 86,66%. În comparație cu hipotalamusul, sacul vascular este lung, constituind

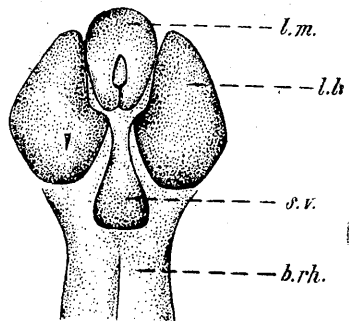


Fig. 10. – *Pomatoschistus microps leopardinus*, creierul văzut ventral.

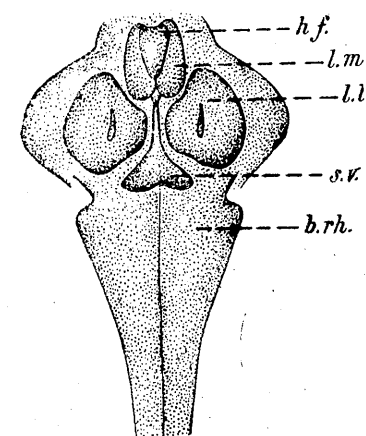


Fig. 11. – *Pomatoschistus minutus elongatus*, creierul văzut ventral.

$40,54 - 41,66\%$  ( $M = 41,10$ ) din lungimea acestuia. Ca lățime însă este mic, având ind. lăț. s.v./lăț. hip. de  $30,00 - 35,13\%$  ( $M = 32,56$ ). În raport cu bulbul rahidian, sacul vascular ocupă numai o parte din fața ventrală

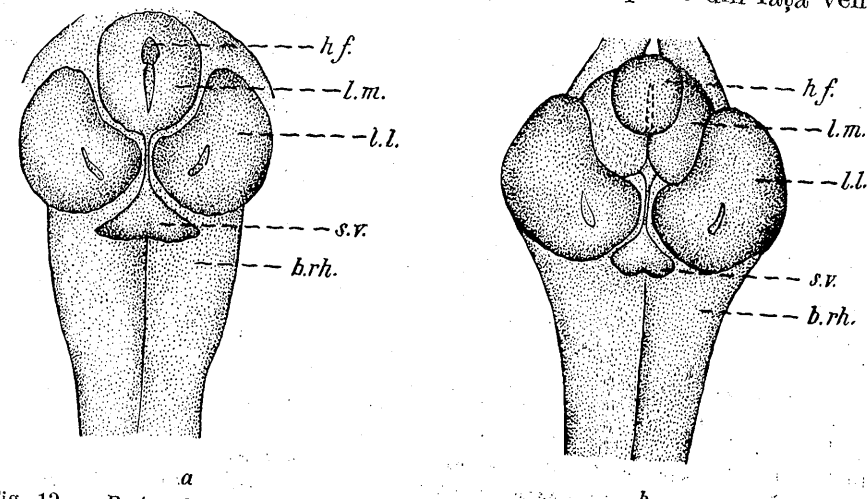


Fig. 12. — *Proterorhinus marmoratus*, creierul văzut ventral. a, Stadiul juvenil; b, stadiul adult.

a acestuia, ind. lăț. s.v./lăț. b. rh. fiind  $36,00 - 46,42\%$  ( $M = 41,21$ ). Posterior, el depășește ușor lobii laterali.

Figura dată de O. Necrasov și colaboratori (8) pentru sacul vascular de *Proterorhinus marmoratus* este asemănătoare, atât ca formă, cât și ca dimensiuni, cu ceea ce am găsit noi la exemplarele adulte.

### 13. *Benthophilus stellatus* (Sauvage), 1874 (formă bentonică)

Ca și la *Proterorhinus marmoratus*, la *Benthophilus stellatus* s-a observat o variabilitate a sacului vascular legată de vîrstă.

Astfel, în stadiul juvenil, sacul vascular (fig. 13, a) este mare, având ind. lg. s.v./lg. hip. egal cu  $53,12\%$ , iar ind. lăț.  $90,00\%$ . Corpul său, mult lățit posterior, are o formă alară și ocupă aproape toată lățimea feței ventrale a bulbului rahidian. Pe linia mediană prezintă posterior excavăția triunghiulară adâncă. Pedunculul este foarte mic, aproape inexistent. Ind. lăț. s.v./lăț. b.rh. reprezintă  $87,59\%$ . Mult mai lat decât lobii laterali.

În stadiul de trecere dintre juvenil și adult, ca și la specia precedentă, sacul vascular se asemănă mult cu cel din stadiul juvenil.

În stadiul adult, sacul vascular are forma de hexagon neregulat mare, are un aspect trunchiat, iar posterior excavăția triunghiulară mediană ștearsă. Extern, laturile sănt ușor concave, opus formei convexe a lobilor laterali. Ca proporție, sacul vascular are lățimea egală cu lungimea, ind.

lăț./lg. fiind  $100,00\%$ . În raport cu celelalte părți ale hipotalamusului este mare, ind. lg. s.v./lg. hip. reprezentând  $48,89 - 55,00\%$  ( $M = 51,94$ ), iar ind. lăț.  $48,89\%$ . Nu ocupă toată fața ventrală a bulbului rahidian, ci doar  $78,93 - 81,48\%$  ( $M = 80,20$ ). Posterior depășește mult lobii laterali.

Desenul dat de O. Necrasov și colaboratori (8) pentru sacul vascular de *Benthophilus stellatus* seamănă cu cel figurat de noi la adult,

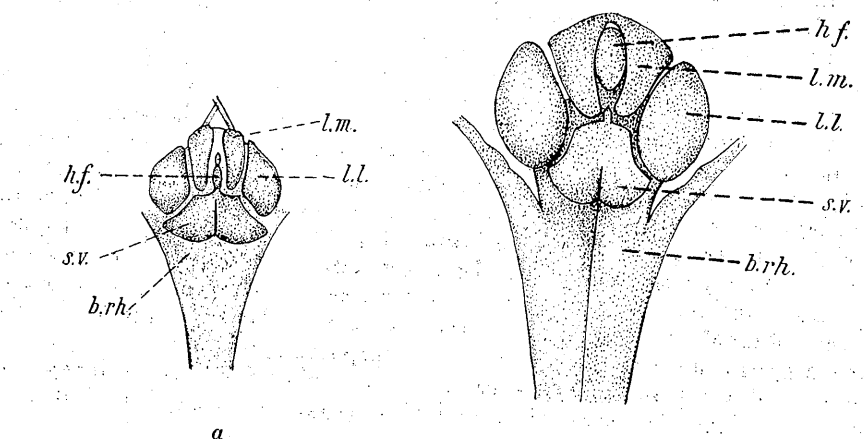


Fig. 13. — *Benthophilus stellatus*, creierul văzut ventral. a, Stadiul juvenil; b, stadiul adult.

cu singura deosebire că la acela pedunculul lipsește complet. Autorii chiar situează sacul vascular de *Benthophilus stellatus* în grupa de sac vascular puternic dezvoltat, scurt pedunculat sau nepedunculat.

### 14. *Aphyia minuta* (Risso), 1810 (formă pelagica)

Sacul vascular de *Aphyia minuta* este exact ca o picătură atîrnîndă (fig. 14). Mic, reprezintă  $40,00 - 42,86\%$  ( $M = 41,43$ ) din lungimea hipotalamusului și  $38,46 - 54,54\%$  ( $M = 46,50$ ) din lățime, iar ind. lăț./lg. este  $83,33 - 100,00\%$  ( $M = 91,66$ ). Pedunculul sacului vascular este foarte scurt; corpul, hexagonal, are cele două laturi antero-laterale ușor excavate iar cele postero-laterale convexe. Posterior, pe linia mediană se observă bine excavăția în formă de triunghi cu vîrful în sus.

Sacul vascular ocupă  $55,55 - 66,66\%$  ( $M = 61,10$ ) din lățimea feței ventrale a bulbului rahidian. Posterior, el depășește mult lobii laterali.

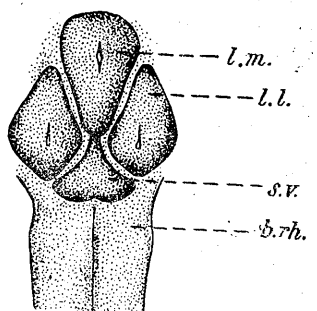


Fig. 14. — *Aphyia minuta*, creierul văzut ventral.

## DISCUTII

Pe baza cercetărilor noastre putem afirma că la reprezentanții familiei gobiide sacul vascular prezintă variabilitate interspecifică și intraspecifică atât în ceea ce privește dimensiunile, cât și forma.

Referindu-ne la variabilitatea interspecifică, remarcăm faptul că, în comparație cu dezvoltarea sacului vascular de la alți pești, la cei studiați de noi acesta este mare. În cadrul familiei gobiide, variabilitatea sacului vascular la diferitele specii se pare a fi în legătură cu condițiile de mediu și cu rolul bariestezic al acestuia privit ca glandă secretorie. Astfel, sacul vascular cel mai mare este la *Benthophilus stellatus* (51,94% din lg. hip. și 48,89% din lăț.), specie bentonică (1), (2), la *Gobius cephalarges* (50,27% din lg. hip. și 53,78% din lăț.) și la *Gobius batrachocephalus* (45,28% din lg. hip. și 52,27% din lăț.), specii necto-bentonice (1), (2), dar mai legate de viața de fund. Totuși, datorită filogeniei, sacul vascular este relativ mare și la *Aphyta minuta* (41,43% din lg. hip. și 46,50% din lăț.), specie pelagică (1), (2). În acest sens, chiar O. Necrasov ((8), p. 23) subliniază: „trebuie să se țină seama că, dacă presiunea are rol asupra dezvoltării sacului vascular, această relație cu mediul actual nu este singura determinantă, ci mare importanță are și filogenia. De asemenea trebuie ținută seama că sacul vascular face parte integrantă dintr-un organism ale căruia părți se influențează reciproc, formând corelații complicate și mai greu de sesizat”.

În ceea ce privește forma sacului vascular de la diferitele specii de gobiide, ținând seama de clasificarea făcută de O. Necrasov și colaboratori putem încadra toată gama de variații găsite de noi în ultimele două grupe.

În grupa a 3-a, „cu sacul vascular puternic dezvoltat, scurt pedunculat sau nepedunculat”, se cuprind *Benthophilus stellatus* și *Gobius kessleri*.

În grupa a 4-a, „cu sacul vascular bine dezvoltat, dar foarte lung pedunculat”, se încadrează *Gobius fluviatilis*, *G. ophiocephalus*, *G. gymnotrachelus*, *Proterorhinus marmoratus*, *Pomatoschistus minutus elongatus*, *P. microps leopardinus*, unele exemplare de *Gobius melanostomus*.

*Aphyta minuta*, *Gobius cephalarges* și unele exemplare de *G. melanostomus* fac trecerea între cele două grupe.

Pentru a simplifica însă, dat fiind că deosebirile de formă găsite de noi nu sunt diametral opuse între ele, putem încadra sacul vascular de la toate gobiidele într-o grupă comună „cu sacul vascular mare, scurt sau lung pedunculat”.

În ceea ce privește variabilitatea intraspecifică, având în vedere afirmațiile lui J. B. Johnston (6) și W. Harder (5) cu privire la rolul secretor al sacului vascular, precum și părerea lui O. Necrasov și colaboratori (8) referitoare la variațiile din interiorul speciei, am observat următoarele:

La toate gobiidele studiate există o ușoară variabilitate individuală a sacului vascular, însă la anumite specii această variabilitate este mai accentuată. Astfel, se remarcă variabilitatea de la *Proterorhinus marmoratus*, *Benthophilus stellatus*, *Gobius fluviatilis* și *G. cephalarges*, care este în legătură cu vîrstă animalului, în sensul că la exemplarele juvenile și tinere sacul vascular este mai mare decât la adulții și cu o formă puțin

diferită. La *Gobius niger* însă, marea variabilitate de dimensiuni și chiar de formă a sacului vascular nu este legată nici de vîrstă, nici de sex, nici de perioada de reproducere. Aceleași forme se găsesc atât la exemplarele cu talia mai mică sau mai mare, cât și la masculi și femele. Menționăm faptul că formele juvenile comparativ cu adulte nu am studiat decât la *Proterorhinus marmoratus* și *Benthophilus stellatus*, iar forme tinere și adulte la *Gobius niger*, *G. fluviatilis* și *G. cephalarges*. La celelalte specii, exemplarele adulte studiate sunt destul de apropiate ca talie.

Cercetări mai amănunte, ținându-se seama și de structura microscopică (9), și în special de funcția secretorie a sacului vascular, ar aduce date prețioase.

## CONCLUZII

Sacul vascular la gobiide prezintă o variabilitate interspecifică și intraspecifică atât ca dimensiuni, cât și ca formă.

Variabilitatea interspecifică a sacului vascular se pare a fi în legătură cu condițiile de mediu și cu rolul bariestezic al acestuia, însă trebuie să se țină seama și de filogenie.

Formele sacului vascular de la gobiide nefiind diametral opuse, el se încadrează în grupa de sac vascular mare, scurt sau lung pedunculat.

Variabilitatea intraspecifică mai accentuată — la majoritatea speciilor de gobiide la care am observat-o — este în legătură cu vîrstă (în stadiile tinere sacul vascular este mai mare decât la adulții), existând și unele excepții.

## BIBLIOGRAFIE

1. BĂNĂRESCU P., Fauna R.P.R., Pisces, Osteichthyes, Edit Acad. R.P.R., București, 1964 13, 814—865.
2. CĂRĂUȘU S., Tratat de ihtiologie, Edit. Acad. R.P.R., București, 1952, 567—595.
3. DAMMERMANN K. W., Z. Wiss. Zool., 1910, 96, 654—726.
4. HALLER VON HALLERSTEIN V., Äussere Gliederung des Zentral-Nervensystems, in Bolk's Handb. Verg. Wirbelt., Jena, 1934, 2.
5. HARDER W., Anatomie der Fische, Schweizerbartsche Verlagsbuchhandlung, Stuttgart, 1964.
6. JOHNSTON J. B., Anat. Anz., 1912, 40, 531—540.
7. КУРЕПИНА М. Н. и ПАВЛОВСКИ Е. Н., Строение мозга рыб в связи с условиями их обитания, Изд. Акад. наук СССР, Москва-Ленинград, 1953, 134—182.
8. NECRASOV O. și SERBAN A., St. și cerc. st. Iași, 1951, 2, 3—4.
9. NECRASOV O., ADĂSCĂLIȚEI Ec. și ONICEANU EL., Anal. st. Univ. Iași, secția a 2-a, 1956, 2, 2.

Institutul de biologie „Traian Săvulescu”,  
Secția de hidrobiologie.

Primită în redacție la 8 decembrie 1966.

STUDIUL ANATOMIC COMPARATIV AL CREIERAȘULUI  
LA CÎTEVA SPECII DE PĂSĂRI

DE

C. DEGAN și N. POPOVICI

591(05)

În lucrarea de față, autorii arată că creierașul păsărilor cuprinde în general 10 lame. Unele specii, ca *Streptopelia decaocto*, *Streptopelia turtur*, *Galerida cristata* și *Jynx torquilla*, prezintă un creieraș cu un număr mai mic de lame (8–9). Structural, lamele ce ocupă zona de vîrf, precum și cea care precedă ultima lamă a creierașului, sunt cele mai dezvoltate.

Greutatea creierașului prezintă caractere filogenetice și morfo-ecologice în cadrul clasei păsărilor.

Creierașul păsărilor este alcătuit din substanță cenusie, situată la periferie și care constituie scoarța cerebeloasă, și dintr-o masă de substanță albă, așezată spre centru. Din masa centrală a substanței albe descind spre periferie ramuri albe care corespund lamelor ce alcătuiesc corpul cerebelului. În general, toate lamele creierașului aviar, în afară de prima (lingula) și de ultima (nodulul), cuprind cîte o ramură fundamentală de substanță albă. Expansiunile periferice ale substanței albe centrale constituie de altfel un criteriu de a defini numărul lamelor care compun creierașul păsărilor. Larsell (1948) (citat după (3)) propune un plan general de subdiviziune a creierașului aviar în 10 lame sau foi fundamentale, numerotate de la I la X, fiecare lamă cuprinzînd cîte o ramificație de bază a substanței albe centrale. Numărul lamelor însă poate varia. Astfel, la găină, numărul lamelor cerebeloase este de 11, iar la *Rhea americana* singur lobul median cuprinde vreo 6 lame (1).

Ramurile de bază ale substanței albe a lamelor pot fi și ele divizate în alte ramuri, subdivizînd astfel lamele creierașului în sublame secundare, notate cu litere mici (a, b, c), iar acestea, la rîndul lor, în alte ramuri terțiare. Totalitatea acestor subdiviziuni contribuie la încreșterea suprafeței creierașului, măringând suprafața cea mai complexă a acestui organ, scoarța cerebeloasă (3), (4).

Cercetări mai recente asupra creierașului păsărilor au fost întreprinse de H. J. I. M. Takeda, N. K. Amuraka și Y. Yamada (4) pe 9 genuri și specii din ordinul paseriformelor: *Zosterops*, *Sturnia*, *Parus varius varius*, *Corvus*, *Passer*, *Padda orygivora*, *Aidemosyne modesta*, *Paroaria cucullata* și *Emberyza spondodephala personata*. Autorii menționati consideră că suprafața cerebeloasă a paseriformelor poate fi împărțită tot în 10 lame; mai constată că la toate speciile studiate, exceptând genul *Corvus*, ramificațiile substanței albe din cadrul lamelor sunt asemănătoare topografic și morfologic, iar în privința ordinii de dimensiune a lamelor, exceptând *Aidemosyne modesta* și *Padda orygivora*, aceasta este următoarea: I < (II) < (III, V sau X) < (IV) < (VII sau VIII) < (VI) < IX.

În scopul de a completa cu noi date structura macroscopică a creierașului aviar și de a verifica pe unele din cele cunoscute, am întreprins cercetări pe alte specii de păsări aparținând la diferite ordine și familii. Am analizat la fiecare specie în parte ramificațiile periferice ale lamelor medulare, precum și ordinea și dimensiunea foilor componente. Concomitent, la aceleași specii am mai urmărit și variația ponderală a creierașului, cercetând raportul dintre structura și greutatea acestui organ.

#### METODA DE LUCRU

Cercetările le-am întreprins pe 10 specii de păsări, masculi și femele, aparținând următoarelor ordine și familii: columbidelor — *Streptopelia turtur*, *Streptopelia decaocto*; paseriformele cu familia turdide — *Turdus philomelos*, *Turdus pilaris*, *Turdus torquatus*, *Turdus viscivorus* — și cu familia alaudide — *Alauda arvensis*, *Galerida cristata*; piciformele cu familia picide — *Dendrocopos medius*, *Jynx torquilla*.

Encefalului, după ce a fost descoperit în prealabil, i s-a extirpat creierașul, care a fost cintărit și raportat la greutatea totală a păsării, respectiv la greutatea totală a creierului.

Structura macroscopică a creierașului am studiat-o pe secțiuni longitudinale practicate în zona mijlocie a organului. Pe astfel de secțiuni se pot vedea atât substanța albă, cât și cea cenușie a creierașului, dar, pentru ca contrastul dintre cele două substanțe, și mai ales aspectul ramificațiilor periferice ale substanței albe, să iasă mai bine în evidență, secțiunile au fost colorate cu reactiv caracteristic cu bază de clorură ferică și de fericianură de potasiu; secțiunile au fost studiate cu ajutorul unei lupe 3 × direct pe material și pe bază de fotografii.

Numărul indivizilor cercetați a fost: 13 de *Streptopelia decaocto*, 10 de *Streptopelia turtur*, 8 de *Dendrocopos medius*, 10 de *Galerida cristata*, 8 de *Alauda arvensis*, 2 de *Turdus pilaris*, 5 de *Turdus viscivorus*, 5 de *Turdus philomelos*, 1 de *Turdus torquatus* și 4 de *Jynx torquilla*.

#### REZULTATE OBTINUTE

##### Structura creierașului

Aspectul structural al creierașului este redat în planșa I (1–10), din examinarea căreia, la diferite specii de păsări studiate, am constatat următoarele caracteristici morfologice:

*Streptopelia turtur* (pl. I, 1). Judecind după modul cum lamele medulare descind din masa centrală a substanței albe, creierașul cuprinde 9

PLANŞA I

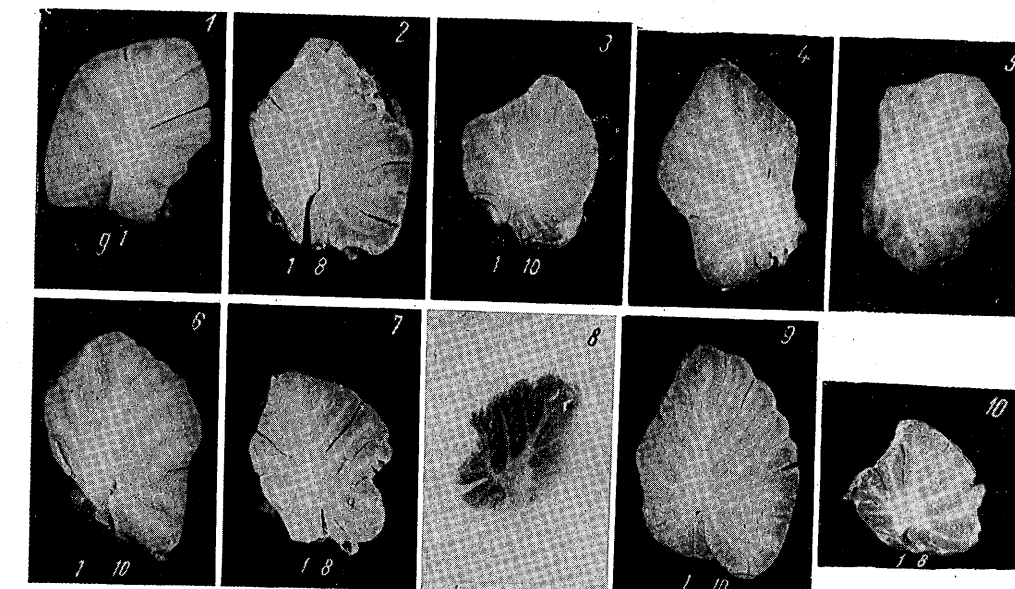


Fig. 1–10.

1, *Streptopelia turtur*; 2, *Streptopelia decaocto*; 3, *Turdus philomelos*; 4, *Turdus pilaris*; 5, *Turdus torquatus*; 6, *Turdus viscivorus*; 7, *Galerida cristata*; 8, *Alauda arvensis*; 9, *Dendrocopos medius*; 10, *Jynx torquilla*.

lame. Ramurile albe ale lamelor II, III, IV și V sunt simple, neramificate. Ramura albă a lamei a VI-a este bifurcată și ca atare cuprinde sublamele : VII<sub>a</sub> și VII<sub>b</sub>. Sublama VII<sub>a</sub>, la rîndul ei, este din nou bifurcată spre periferie. Ramura albă a lamei a VIII-a este bifurcată și ca atare se subîmparte în sublamele VIII<sub>a</sub> și VIII<sub>b</sub>. Lamele I și IX nu au substanță albă. În ceea ce privește ordinea de dimensiune a lamelor, cele mai voluminoase sunt lamele VI și VIII.

*Streptopelia decaocto* (pl. I, 2). Creierașul poate fi divizat în 8 lame. Ramurile albe ale lamelor II, III și IV sunt simple și neramificate. În 4 cazuri din 13, substanța albă a lamei a III-a este bifurcată. Ramura albă a lamei a V-a este trifurcată, iar porțiunea mijlocie este apoi bifurcată la periferie. Ramura albă a lamei a VII-a este de asemenea bifurcată și ca atare se subîmparte în VII<sub>a</sub> și VII<sub>b</sub>. Sublama VII<sub>a</sub> prezintă o ușoară bifurcație la periferie. Lamele I și VIII nu au substanță albă. În toate cazurile studiate, cele mai voluminoase lame au fost V și VII.

*Turdus philomelos* (pl.I,3). Creierașul cuprinde 10 lame. Se remarcă faptul că substanța albă este puțin ramificată spre periferie, cu excepția lamelor VI și IX, unde este bifurcată. Cele mai voluminoase sunt lamele VI și IX. Lamele I și X sunt lipsite de substanță albă.

*Turdus pilaris* (pl. I, 4). Secțiunea este incompletă, dar foarte probabil creierașul cuprinde tot 10 lame, cea din virful creierașului corespunzînd lamei a VI-a. Lama a VI-a este bifurcată (VI<sub>a</sub> și VI<sub>b</sub>), iar sublama VII<sub>a</sub> este ușor bifurcată la periferie. Lama a IX-a este bifurcată la bază (IX<sub>a</sub> și IX<sub>b</sub>), iar fiecare sublamă este din nou bifurcată la periferie, mai accentuat la lama a IX-a. Lamele I și X sunt cele mai mici și sunt lipsite de substanță albă, ca la toate speciile de pasări. În general se constată că substanța albă a lamelor este puțin ramificată spre periferie. Lamele cele mai voluminoase sunt VI și IX.

*Turdus torquatus* (pl. I, 5). Secțiunea este tot incompletă, dar probabil creierașul cuprinde tot 10 lame, cea din virf corespunzînd lamei a VI-a. Substanța albă a lamelor nu este ramificată, exceptând pe cea a lamelor V, VI și IX. Lama a VI-a cuprinde trei ramuri periferice. Lama a IX-a are aceeași organizație ca și cea de la *Turdus pilaris*.

*Turdus viscivorus* (pl.I, 6). Secțiunea este incompletă. Substanța albă este simplă, neramificată, cu excepția lamelor VI și IX. Substanța albă a lamei a VI-a cuprinde 4 ramuri periferice, iar cea a lamei a IX-a tot 4 ramuri, primele două fiind mai lungi. Lamele VI și IX sunt cele mai voluminoase.

*Galerida cristata* (pl. I, 7). Creierașul cuprinde 8 lame. Substanța albă a lamelor III și IV este ușor bifurcată la periferie. Substanța albă a lamei a V-a prezintă 5 ramuri. Lama a VII-a cuprinde sublamele VII<sub>a</sub> și VII<sub>b</sub>. Sublama VII<sub>b</sub> este bifurcată. În privința ordinii de dimensiune a lamelor, lamele V și VII sunt cele mai voluminoase.

*Alauda arvensis* (pl. I, 8). Creierașul cuprinde 9 lame. Lama a V-a cuprinde 4 ramificații. Lama a VIII-a este trifurcată, iar la unii indivizi cuprinde și 4 ramuri. Lamele I și IX nu cuprind substanță albă. Cele mai mari lame sunt V și VIII.

*Dendrocopos medius* (pl. I, 9). Creierașul cuprinde 10 lame. Ca aspect general, în toate cazurile, creierașul acestei specii este mult alungit dorsoventral, iar substanța albă a lamelor este mult ramificată spre periferie.

Lama a VI-a cuprinde sublamele VIa, VIb și VIc; sublama VIb este ușor bifurcată la periferie. Substanța albă a lamei a IX-a cuprinde 3 ramuri principale, iar fiecare din aceste ramuri este ușor bifurcată spre periferie. Lamele I și X sunt cele mai mici și nu au substanță albă. Cele mai voluminoase sunt lamele VI și IX.

*Jynx torquilla* (pl. I, 10). Creierașul cuprinde 8 lame. Substanța albă a lamelor în general este puțin ramificată spre periferie. Lamele V și VII sunt cele mai voluminoase. Substanța albă a lamelor III și VII este bifurcată, iar a lamei a V-a este trifurcată.

#### DISCUȚIA REZULTATELOR

Din ansamblul observațiilor făcute asupra structurii macroscopice a creierașului celor 10 specii de păsări reiese o justă împărțire a creierașului unor specii în 10 lame, ținând seama de originea centrală a ramificațiilor fundamentale care alcătuiesc substanța albă a acestor lame. La alte specii de păsări însă, cum sunt: *Streptopelia decaocto*, *Streptopelia turtur*, *Galerida cristata*, *Jynx torquilla*, *Alauda arvensis*, nu se disting decât 8 pînă la 9 ramificații albe fundamentale periferice, iar creierașul acestora poate fi împărțit numai în 8–9 lame.

În considerare cele 3 ordine de păsări cărora le aparțin speciile studiate, creierașul cu 8 și 9 lame 1-am întîlnit la păsările din ordinul columbidelor și la 3 specii din ordinele paseriformelor și piciformelor. Acest din urmă ordin deci nu cuprinde specii cu un creieraș format numai din 10 lame, aşa cum au susținut unii autori, ci și specii cu un creieraș alcătuit din puțin de 10 lame.

Din cercetările noastre, precum și din cele ale altor autori, întreprinse pe diferite specii, ieșe în evidență însă un caracter structural constant pentru creierașul păsărilor, și anume dezvoltarea mare pe care o prezintă 2 din lamele ce compun acest organ: una din lame este cea care ocupă zona de vîrf a creierașului și corespunde lamei a V-a sau a VI-a, iar a doua este cea care precedă ultima lamă a creierașului. Aceste lame cuprind lame secundare și terciare. Deosebit de ramificată este substanța albă a acestor lame la multe specii din ordinele paseriformelor și piciformelor, ca: *Dendrocopos medius*, *Turdus torquatus*, *Turdus philomelos*, *Turdus viscivorus*, *Galerida cristata*, *Alauda arvensis*, ceea ce denotă o intensă împoate avea și o semnificație filogenetică, ordinele paseriformelor și piciformelor reprezentând treapta cea mai înaltă din clasa păsărilor.

#### Greutatea creierașului

Variațiile ponderale ale creierașului sunt concretizate în graficele 11 și 12. Din analiza figurii 11 se poate vedea că greutatea creierașului este diferită la speciile de păsări cercetate. O greutate mai mică a acestui organ am constatat-o la *Streptopelia decaocto* și la *Streptopelia turtur*, apărând ordinul columbide. La restul speciilor de păsări dintre paseriforme și piciforme, creierașul este simțitor mai mare, iar în cadrul acestor ordine un loc de frunte îl ocupă familiile picidelor și alaudidelor. O poziție specială are *Dendrocopos medius* din familia picidelor, la care atât și structura cea mai complexă. Relații pondero-structurale am mai con-

statat și la alte specii de păsări, ca: *Galerida cristata*, *Alauda arvensis*, *Turdus viscivorus*, *Turdus philomelos* și *Turdus torquatus*.

Aspectul ponderal al creierașului confirmă și el semnificația filogenetică pe care o prezintă acest organ în clasa păsărilor, cerebelul cu

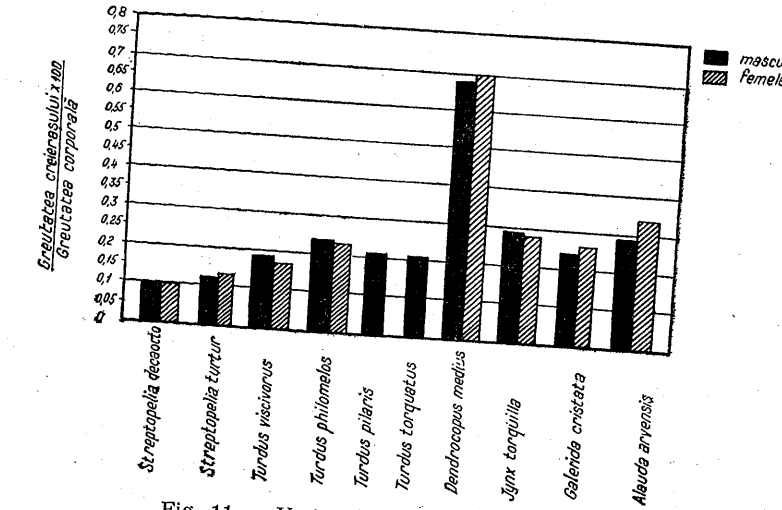


Fig. 11. — Variațiile greutății creierașului la cîteva specii de păsări.

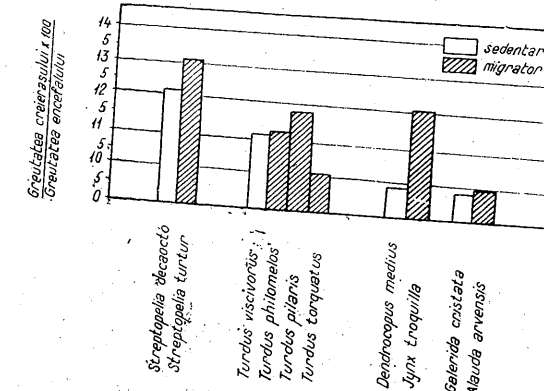


Fig. 12. — Variațiile ponderale ale creierașului la cîteva specii de păsări sedentare și migratoare (grupate pe familii).

greutatea cea mai mare fiind întîlnit tot la speciile din ordinele superioare ale paseriformelor și piciformelor. Aspectul ponderal comparativ al creierașului acestor specii de păsări este de altfel același ca al encefalului luat în ansamblu.

Din figura 11 mai rezultă oscilațiile mari prezentate de creierașul diferitelor specii de păsări înrudite și aparținând aceleiași familii. Pentru a explica acest fenomen, am luat în considerare și un aspect morfo-ecologic

pe care îl poate prezenta acest organ în clasa păsărilor. Este bine cunoscut rolul creierașului ca organ al echilibrului, iar dezvoltarea lui în scara vertebratelor merge paralel cu cea a mișcărilor animalului. Speciile de păsări studiate de noi aparțin la două moduri de viață, deosebite după complexitatea mișcărilor pe care le execută: unele sunt migratoare, cu posibilități de zbor în general mai mari și altele sedentare.

În figura 12 am concentrat date privind raportul cantitativ al creierașului față de ansamblul encefalului speciilor de păsări studiate. Din analiza acestui grafic se poate vedea că, exceptând *Turdus torquatus*, speciile migratoare aparținând aceleiași familii prezintă un creieraș ponderal mai dezvoltat față de formele sedentare.

#### CONCLUZII

Luînd în considerare originea centrală a ramurilor fundamentale care formează substanța albă a lamelor creierașului, cerebelul păsărilor structural cuprinde în general 10 lame. Creierașul unor specii de păsări însă, cum sunt: *Streptopelia decaocto*, *Streptopelia turtur*, *Galerida cristata* și *Jynx torquilla*, pare a fi mai simplu organizat, cuprinzînd numai 8–9 lame.

Din cercetările noastre, precum și din cele ale altor autori, ieșe în evidență un caracter structural constant pentru creierașul aviar, și anume dezvoltarea mare pe care o prezintă două din lamele creierașului: una care ocupă totdeauna zona de vîrf, iar a doua care precedă totdeauna ultima lame a creierașului. Substanța albă a acestor lame cuprinde ramuri secundare, terțiare și este deosebit de ramificată la multe specii din ordinele piciformelor și paseriformelor.

Greutatea creierașului raportată la greutatea corporală a păsărilor este mai mică la speciile din ordinul columbidelor și este simțitor mai mare la speciile din ordinele paseriformelor și piciformelor; faptul îl considerăm de o importanță filogenetică în clasa păsărilor.

Creierașul păsărilor prezintă și un aspect morfo-ecologic; cerebelul speciilor migratoare, ponderal, este în general mai dezvoltat decât al formelor sedentare aparținând aceleiași familii.

#### BIBLIOGRAFIE

1. BOLK L., KALIUS E. u. LUBOSCH W., *Handb. der vergl. Anat. der Wirbelt.*, Berlin-Viena, 1934, 2.
2. ELLENBERGER-BAUM, *Handb. der vergl. Anat. der Haust.*, Springer Verlag, Berlin, 1943, 1 115.
3. GRASSÉ P. P., *Traité de Zoologie*, Masson, Paris, 1954, 12, 276.
4. TAKEDA H., KAZUSHIGE N. a. TAKASHI Y., *Biol. Abstr.*, 1961, 13, 36, 7 570.

*Universitatea „Babeș-Bolyai” Cluj,  
Catedra de zoologie.*

Primită în redacție la 3 decembrie 1966.

### UNELE ASPECTE ALE DINAMICII NUTRIȚIEI LINULUI (*TINCA TINCA* (LINNAEUS), 1758) ÎN COMPLEXUL DE BĂLTI CRAPINA – JIJILA (ZONA INUNDABILĂ A DUNĂRII)

DE

PEPIETA SPĂTARU

591(05)

Analizindu-se conținutul intestinal la 162 de lini de 5,5–34,7 cm lungime din toate sezoanele anului, se arată compoziția calitativă și cantitativă a elementelor hranei. Din cele peste 40 de specii de plante și animale care alcătuiesc spectrul trofic, un rol important în hrana îl au numai *Valvata piscinalis*, *Dreissena polymorpha*, *Cypridopsis vidna*, *Gobius gymnotrachelus* și macrofitele. Dinamica nutriției pe parcursul unui an evidențiază că, în general, linul se hrănește primăvara cu moluște, vara cu macrofite, toamna cu ostracode și cu puieți de pește. Iarna, linul nu se hrănește aproape de loc. Valorile ridicate ale indicilor de umplere a intestinului și de îngrășare a corpului arată că în complexul de bălti Crapina – Jijila linul valorifică bine baza trofică, având toate condițiile unei normale creșteri și dezvoltări, fapt confirmat și de cantitățile mari pescuite la vîntire și taliene în cei mai mulți ani.

Linul — *Tinca tinca* — este o specie întîlnită în apele stătătoare bogate în vegetație și fund mijlociu. Abundență în Delta Dunării, este pescuit în cantități apreciabile și în lunca Dunării și alte regiuni din țară. Este răspândit aproape în toată Europa. La noi în țară se pescuiesc circa 14 400–863 000 kg anual, cea mai ridicată producție realizându-se în Delta Dunării (3).

În complexul de bălti Crapina – Jijila, linul este pescuit în cantități destul de mari vara la vîntire și taliene. Locuitor al apelor invadate de vegetație, cade foarte rar la năvod.

**Material și metodă.** Pentru lucrările noastre am reușit cu destul de multă greutate să colectăm de la năvod, între anii 1956 și 1964, 162 de lini cu dimensiunile de 5,5–34,7 cm, exemplarele capturate cu alte unele nefiind potrivite pentru analiza hranei (tabelul nr. 1).

Metoda de cercetare, fiind descrisă în lucrările privitoare la nutriția plăticii și babuștei, nu o mai prezentăm în lucrarea de față (4), (8).

*Tabelul nr. 1  
Materialul folosit pentru analiza hranei*

Nr. exemplarelor	Data colectării	Dimensiunile exemplarelor analizate cm
9	ianuarie	19,4–24,7
3	martie	8,3–12,1
12	mai	10,4–14,8
27	iunie	14,2–28,9
30	iulie	12,1–18
15	august	16,2–25,6
18	septembrie	5,5–23,2
21	octombrie	24,6–28,4
12	noiembrie	24,0–30,5
15	decembrie	11,0–34,7

#### REZULTATELE OBTINUTE ȘI DISCUTAREA LOR

La analiza componentelor nutritive ale linului s-au găsit 42 de specii de animale<sup>1</sup>, iar în unele intestine resturi de macrofite neidentificabile. Deși cu spectru trofic destul de larg (pe lângă cele 42 de specii de animale prezентate în tabelul nr. 2, se mai adăugă o serie care, din cauza stării înaintate de digerare, nu au putut fi determinate), frecvențe și abundențe în același timp, deci cu rol preponderent în nutriție sunt numai 4 specii de animale, și anume: *Valvata piscinalis* (frecvență 14,81% și abundență exprimată în 1–8 exemplare într-un intestin), *Dreissena polymorpha* (frecvență 9,26% și abundență 7–23 de exemplare), *Cypridopsis vidna* (frecvență 20,37%, abundență exprimată în sute de exemplare într-un singur intestin) și *Gobius gymnotrachelus* (frecvență 12,96%, abundență 1–6 exemplare). Frecvența și abundența scăzute ale celorlalte specii de animale ne arată că prezența lor în intestin are un caracter întîmplător, ele fiind ingerate o dată cu componentele principale ale hranei. Aceasta ne-o dovedește faptul că nici unul din elementele rare nu apare izolat în intestin, ci totdeauna întovărășind cel puțin una din cele 4 specii de animale cu rol important în nutriția linului.

În intestinele a 33 de lini capturați vara au fost găsite resturi de macrofite (frecvență 20,37%), care nu au putut fi determinate din cauza gradului avansat de digerare. Printre resturile de macrofite care umplau intestinele la maximum au mai fost găsite într-un număr extrem de mic: cladocerele *Daphnia hyalina*, *Acroperus harpae*, *Graptoleberis testudinaria* (toate forme fitofile), copepodele *Acanthocyclops vernalis*, *Ectinosoma*

<sup>1</sup> Tinem să mulțumim și pe această cale specialiștilor A. Negrea, Șt. Negrea, S. Beldescu, A. Damian-Georgescu, M. Lăcațușu, N. Botnariuc, P. Bănărescu și E. Chiriac pentru determinarea speciilor de animale care intră în hrana linului, și paraziții intestinali.

*Tabelul nr. 2*

*Lista, frecvența și abundența animalelor și plantelor din hrana linului*

Denumirea speciei*	Frecvență** %	Abundență*** speciilor în intestin
<b>Mollusca</b>	<b>27,77</b>	
1. <i>Valvata piscinalis</i>	14,81	++++
2. <i>Dreissena polymorpha</i>	9,26	+++
3. <i>Viviparus</i> sp.	5,55	+
<b>Cladocera</b>	<b>18,51</b>	
1. <i>Diaphanosoma brachiyurum</i>	1,85	+
2. <i>Daphnia hyalina</i>	1,85	+
3. <i>Acroperus harpae</i>	1,85	++
4. <i>Alona quadrangularis</i>	1,85	+
5. <i>Leydigia leydigi</i>	1,85	+
6. <i>Leydigia acanthocercoides</i>	1,85	+
7. <i>Graptoleberis testudinaria</i>	1,85	+
8. <i>Alonella excisa</i>	1,85	+
9. <i>Chidorus globosus</i>	1,85	+
10. <i>Chidorus sphaericus</i>	1,85	+
<b>Ostracoda</b>	<b>20,37</b>	
1. <i>Cypridopsis vidna</i>	20,37	+++
2. <i>Physocypris kliei</i>	12,96	+++
3. <i>Candonia neglecta</i>	5,55	+
<b>Copepoda</b>	<b>11,11</b>	
1. <i>Acanthocyclops vernalis</i>	3,7	+
2. <i>Heterocoope caspia</i>	1,85	+
3. <i>Ectinosoma abrau</i>	1,85	++
4. <i>Nitocrella hibernica</i>	1,85	+
5. Copepodii	1,85	+
<b>Decapoda</b>	<b>1,85</b>	
<b>Acarina (Hidracarina)</b>	<b>1,85</b>	
<b>Ephemeroptera</b>		
Larve	1,85	+
<b>Odonata</b>		
Zygopter, larvă	1,85	+
<b>Megaloptera</b>		
Sialis sp., larvă	1,85	+
<b>Himenoptera</b>		
<b>Chironomidae (larve)</b>	<b>25,92</b>	
1. <i>Cryptochironomus conjungens</i>	7,4	+
2. <i>Procladius</i> sp.	5,55	++
3. <i>Limnochironomus nervosus</i>	5,55	+
4. <i>Polypedilum nubeculosum</i>	5,55	+
5. <i>Polypedilum scalaenum</i>	5,55	+
6. <i>Cryptochironomus parostratus</i>	3,7	+
7. <i>Tendipedini macrophthalmia</i>	3,7	+

Tabelul nr. 2 (continuare)

Denumirea speciei	Frecvența %	Abundență speciilor în intestin
8. <i>Tanytarsus lauterborni</i>	3,7	+
9. <i>Ablabesmya</i> sp.	1,85	+
10. <i>Pelopia punctipennis</i>	1,85	+
11. <i>Cricotopus silvestris</i>	1,85	+
12. <i>Chironomus</i> sp.	1,85	+
13. Pupe	1,85	+
<b>Pisces</b>	<b>16,66</b>	
1. <i>Gobius gymnotrachelus</i>	12,96	+++
2. <i>Gobius</i> sp.	3,7	++
<b>Macrophyta</b>	<b>20,37</b>	++++

\* Animalele și plantele sunt trecute în ordinea frecvenței.

\*\* Frecvența pentru fiecare specie este calculată în procente față de numărul peștilor analizați.

\*\*\* + = în cantitate mică, neglijabilă; ++ = umple parțial intestinul; +++ = în cantitate mare; ++++ = intestinul umplut la maximum.

abran, *Nitocrella hibernica* — locuitorii de la suprafața fundului — și cîteva specii de chironomide, larve bentonice, *Procladius* sp., *Cryptochironomus conjugens*, *Polypedilum scalaenam*.

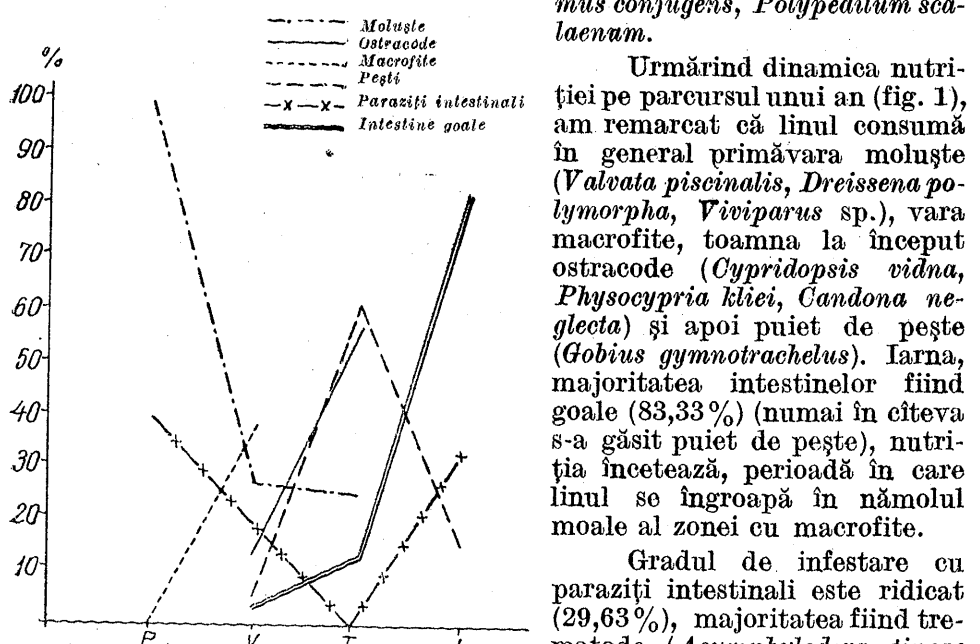


Fig. 1. — Frecvența principalelor elemente din hrana linului, a paraziților intestinali și intestinelor goale. P, Primăvara; V, vara; T, toamna; I, iarna.

Gradul de infestare cu paraziți intestinali este ridicat (29,63%), majoritatea fiind trematode (*Asymphylodora tincae* 20,37%, *A. imitans tincae* 3,7%, *A. kubanicum* 3,7% și *Crowderocoeum skrjabini* 1,85%), pătrunse

în intestin cu moluștele și probabil cu puieții de pește. Intensitatea maximă a invaziei cu *Asymphylodora tincae* are loc primăvara (40%), explicabil de altfel prin aceea că în această perioadă se hrănește cu moluște, scade vara (17,24%), este nulă toamna și crește din nou iarna (33,33%).

Valorificarea bazei trofice și intensitatea hrăririi, ca și la celelalte specii de pești analizați, au fost apreciate pe baza calculării indicelui de îngășare a corpului și indicelui de umplere a intestinului<sup>2</sup>. În tabelul nr. 3 sunt date valorile acestor indici pe sezoane.

Tabelul nr. 3

Indici	Variațiile indicelui de umplere a intestinului și ale indicelui de îngășare a corpului pe parcursul unui an			
	Sezoane	Primăvara	Vara	Toamna
Indicele de umplere a intestinului		220,69	285,15	165,71
Indicele de îngășare a corpului		2,47	2,59	2,5
				9,51
				2,76

Valorile ridicate ale indicelui de umplere a intestinului (primăvara 220,69, vara 285,15, toamna 165,71 și iarna 9,51) și ale indicelui de îngășare a corpului (de la 2,47 la 2,76) confirmă observațiile noastre la față locului privitoare la faptul că linul, în complexul de bălți Crapina — Jijila, valorifică bine baza trofică, având toate condițiile unei creșteri și dezvoltări normale. De asemenea datele pescuitului industrial arată că în anii cu ape mici și vegetație abundantă (1954, 1955, 1958, 1960, 1962 și 1963) s-au obținut producții de zeci de mii de kg lin pescuit la vîntire sau taliene în zona cercetată de noi.

#### CONCLUZII

În cadrul studiului nutriției și relațiilor trofice la peștii din complexul de bălți Crapina — Jijila s-au cercetat și elementele hranei linului, constătindu-se că cel mai important rol în nutriție îl au speciile care prezintă frecvență și abundență cea mai mare, și anume: *Valvata piscinalis* și *Dreissena polymorpha* (*Mollusca*), *Cypridopsis vidua* (*Ostracoda*), puieții speciei *Gobius gymnotrachelus* și macrofitele.

Dinamica nutriției pe parcursul unui an arată că linul consumă în general primăvara moluște, vara macrofite, toamna ostracode și puieț de pește, iarna nutriția încrezând aproape complet.

Intensitatea hrăririi și valorificarea bazei trofice se realizează în condiții bune, fapt confirmat de indicii ridicate de umplere a intestinului și de îngășare a corpului și de rezultatele pescuitului industrial în bazinul acvatic cercetat.

<sup>2</sup> Indicele de îngășare reprezintă raportul dintre greutatea și lungimea la cub a corpului peștelui (în accepția lui Fulto n). Indicele de umplere a intestinului reprezintă raportul dintre greutatea conținutului intestinal și greutatea corpului peștelui exprimat în zecimiimi (în accepția lui Zenkevici și Sorighin, cită după (7)).

## BIBLIOGRAFIE

1. ANTIPA Gr., *Fauna ichtiologică a României*, Acad. Rom., Bucureşti, 1907.
2. ANTONESCU C. S., *Pestii apelor Republicii Populare Române*, Edit. științifică, Bucureşti, 1957.
3. BĂNĂRESCU P., *Fauna R.P.R. Pisces, Osteichthyes*, Edit. Acad. R.P.R., Bucureşti, 1964.
4. BOTNARIUC N. și SPĂTARU P., *Vestnik Československe Spolecenosti Zoologicke*, 1963, 27, 2, 130-146.
5. CĂRĂUŞU S., *Tratat de ihtiologie*, Edit. Acad. R.P.R., Bucureşti, 1952.
6. НИКОЛЬСКИ Г. В., *Частная ихтиология*, Москва, 1950.
7. NIKOLSKI G. V., *Ecologia pestilor*, Edit. Acad. R.P.R., Bucureşti, 1962.
8. SPĂTARU P. și SERBĂNESCU Gh., *Anal. Univ. Buc.*, 1962, 33, 289-298.

*Facultatea de biologie,  
Catedra de biologie.*

Primită în redacție la 20 decembrie 1966.

INFLUENȚA ACETATULUI DE DEZOXICORTICOSTERON  
(DOCA), SUPRARENALECTOMIEI ȘI TRATAMENTULUI  
CRONIC CU ZINC STABIL ASUPRA ABSORȚIEI,  
DISTRIBUȚIEI ȘI EXCREȚIEI  $Zn^{65}$  LA ȘOBOLANUL ALB

DE

Academician EUGEN A. PORA, ECATERINA ROVENTĂ și ȘTEFANIA  
MANCIULEA

591(05)

DOCA mărește incorporarea zincului în ficat, pancreas, mușchi și testicul și eliminarea lui prin urină, dar micșorează eliminarea prin fecale. Suprarenalectomia scade incorporarea zincului în pancreas, mușchi, testicul, dar o mărește în ficat; eliminarea lui prin urină și fecale este micșorată. Administrarea de zinc stabil timp de 3 luni a dus la saturarea organelor în acest element, care impiedică o nouă incorporare de  $Zn^{65}$ , cu excepția ficatului.

Numeroase studii făcute asupra metabolismului zincului au contribuit la lămurirea rolului esențial al acestuia în creșterea și dezvoltarea animalelor (2), (3), (4), (9), (35), în mecanismul de acțiune a multor enzime (19), (36), (37), (39), ca și implicațiile acestuia în patologia animală și umană (20), (24), (27), (38). Legătura strânsă a zincului cu activitatea unor hormoni și enzime (11), (12), (13), (15), (21) explică influența lui în metabolismul glucidic, lipidic, protidic și în procesele oxidoreducătoare.

Părerea mulțor autori este că zincul ia parte la activitatea unor glande cu secreție internă, iar acestea, la rîndul lor, influențează metabolismul zincului în organism (11), (12), (14), (21), (29), fără a putea însă elucida mecanismul acestei acțiuni. Încercările care se fac în direcția cunoașterii complexei probleme de control al metabolismului microelementelor esențiale în organism ne-au sugerat ideea de a cerceta influența factorilor hormonali și minerali asupra metabolismului zincului.

Într-o lucrare recentă am studiat influența DOCA asupra încorporării și repartiției în timp a  $Zn^{65}$ , administrat intraperitoneal, în unele organe ale șobolanului alb. Rezultatele experimentale ne-au condus la

concluzia că DOCA influențează încorporarea  $Zn^{65}$  în mușchi, unde concentrația acestuia ajunge la aproape de două ori mai mare decât la martor.

În lucrarea prezintă am urmărit influența DOCA, suprarenalectomiei și tratamentului cronic cu zinc stabil asupra absorbției, repartiției și excreției  $Zn^{65}$ , administrat oral șobolanului alb.

#### MATERIAL ȘI METODĂ

S-au folosit un număr de 30 de șobolani albi masculi, în greutate de 130–150 g, ținuți și hrăniți în condiții standard. Animalele au fost împărțite în 4 loturi experimentale: 1) martori, 2) tratați cu DOCA, 3) suprarenalectomizați, 4) tratați cu zinc stabil. Hormonul s-a administrat sub formă de injecții uleiioase intramusculare, zilnic cîte 5 mg de șobolan, timp de 3 zile înaintea administrării  $Zn^{65}$ . Suprarenalectomia s-a efectuat cu 3 zile înainte de administrarea izotopului, iar zincul stabil s-a dat sub formă de injecții zilnice de sulfat de zinc timp de 3 luni.  $Zn^{65}$  a fost administrat sub formă de soluție de  $ZnCl_2$  cu activitate specifică de 543  $\mu Ci/ml$ , în doză unică de 4  $\mu Ci$  pe șobolan, dat prin sondă intragastrică. După 2 zile de la administrarea izotopului, animalele au fost sacrificiate prin decapitare; s-a recoltat sînge, iar organele au fost cîntărite și macerate în KOH 20%, după care s-a măsurat radioactivitatea organului respectiv la un numărător „Orion” cu detector cu scintilații de INa (Tl) în formă de puț.

Rezultatele s-au exprimat în număr de impulsuri pe minut și 200 mg pentru organe și pe 1 ml pentru urină și sînge.

Valorile medii, erorile standard și diferențele procentuale sunt redate în tabelul nr. 1.

#### REZULTATE ȘI INTERPRETAREA LOR

Din tabelul nr. 1 reiese că la animalele tratate cu DOCA concentrația  $Zn^{65}$  în organele cercetate este mai mare decât la martor. Excreția  $Zn^{65}$  crește față de martor în urină la 48 de ore și scade prin fecale la 24 și 48 de ore după administrare (tabelul nr. 2). Este, în general, admis că excreția  $Zn^{65}$  se face pe calea tractului digestiv (6), (7), (8), (25), (29), și nu renal, prin urină eliminându-se doar o cantitate neînsemnată de izotop.

Tabelul nr. 1

Valorile incorporării și eliminării  $Zn$  radioactiv în diferite organe la șobolanul alb aflat în condiții experimentale deosebite

Lotul	Sînge	Ficat	Rinichi	Pancreas	Splină	Mușchi	Testicul
	imp./ml/min	imp./200 mg/min					
Martor	345 ± 52	1 796 ± 283	685 ± 114	615 ± 258	594 ± 147	61 ± 25	166 ± 75
Tratat Zn E.S. %	113 ± 30 ~ 67,3 $P < 0,005$	1 919 ± 208 + 6,8	341 ± 29 ~ 50,3	213 ± 62 ~ 65,4	208 ± 17 ~ 65,0	37 ± 6 ~ 39,4	49 ± 20 ~ 70,5
						0,05 < $P <$ ~ 0,1	
Tratat DOCA E.S. %	413 ± 31 + 19,7	2 808 ± 606 + 56,3	806 ± 209 + 17,6	857 ± 92 + 39,3	533 ± 71 + 10,3	145 ± 41 + 137,7	240 ± 27 + 44,5
Operat	213 ± 62 ~ 40,0	2 957 ± 307 + 64,6	996 ± 233 + 45,4	376 ± 241 ~ 38,9	512 ± 83 ~ 13,9	38 ± 12 ~ 54	104 ± 32 ~ 37,3

$P = 0,05$

M. L. Montgomery, Balow, M. Birnsteingel și alții (1), (5), (23), (26) afirmă că principala cale, și unică, de excreție a  $Zn^{65}$  este intestinul, iar cu rol important se consideră pancreasul și bila, ale căror

Tabelul nr. 2

Valorile incorporării și eliminării  $Zn$  radioactiv în urină și fecale la șobolanul alb aflat în condiții experimentale diferite

Lotul	Urină imp./min/ml		Fecale imp./min/mg	
	24 de ore	48 de ore	24 de ore	48 de ore
Martor	Media E.S.	302 ± 62	227 ± 54	1 306 ± 309
Tratat Zn E.S. %	271 ± 55 ~ 10,3	154 ± 39 ~ 32,2	607 ± 43 ~ 53,6	469 ± 8 ~ 55,3 $P < 0,05$
Tratat DOCA E.S. %	303 ± 34 + 0,3	347 ± 94 + 52,8	872 ± 95 ~ 33,3	997 ± 362 ~ 4,8
Operat	Media E.S. %	214 ± 86 ~ 29,2	101 ± 14 ~ 55,5	461 ± 47 ~ 64,8 $P < 0,05$
				2 140 ± 381 + 104,3

sucuri prezintă mari cantități de zinc în primele ore de la administrare. J. M. Hsu (17), aplicînd șobolanilor o dietă deficientă în piridoxină, obține creșterea concentrației  $Zn^{65}$  în pancreas, rinichi și testicule. Mai obține accelerarea excreției acestuia și scăderea activității lacticodehidrogenazei, malicodehidrogenazei și insulinei (proteine cu zinc). Aceasta afirmă de asemenea că singura cale de excreție a  $Zn^{65}$  administrat atât intraperitoneal, cît și oral este prin bilă în intestin. F. Stand și colaboratori (32) administrează la șoareci  $Zn^{65}$  sub formă de  $ZnCl_2$  și sub formă de chelați ( $Zn^{65}EDTA$  și  $Zn^{65}DTPA$ ) și observă că la animalele astfel tratate are loc o excreție crescută și rapidă a acestuia pe cale renală, și nu digestivă. În experiențele noastre, faptul că la animalele tratate cu DOCA concentrația  $Zn^{65}$  în organe și sînge este mai mare decât la martor dovedește că hormonul intervine în absorbția  $Zn^{65}$  la nivelul intestinului și la trecerea acestuia prin membranele intracelulare (fig. 1). Faptul că excreția  $Zn^{65}$  crește prin urină și scade prin fecale dovedește că hormonul are rol în legarea zincului de proteine (proteine enzimatică) și în metabolizarea lui. Sunt puține informații cu privire la influența hormonilor asupra metabolismului zincului. A. Verrilli Rocca și colaboratori (38) afirmă că prin tratarea cîinilor cu propionat de testosterone nu se modifică absorbția zincului radioactiv în prostata. După părerea lui S. A. Gunn și colaboratori (11), (12), (13), concentrația  $Zn^{65}$  din prostata șobolanilor este dependentă de nivelul androgenilor. Înglobarea  $Zn^{65}$  în prostată scade după castrare și revine la normal prin administrarea de testosterone. Hipofizectomia duce de asemenea la o stringentă scădere a  $Zn^{65}$  în prostată, iar revenirea la normal este dată de administrarea de gonadotropi și testo-

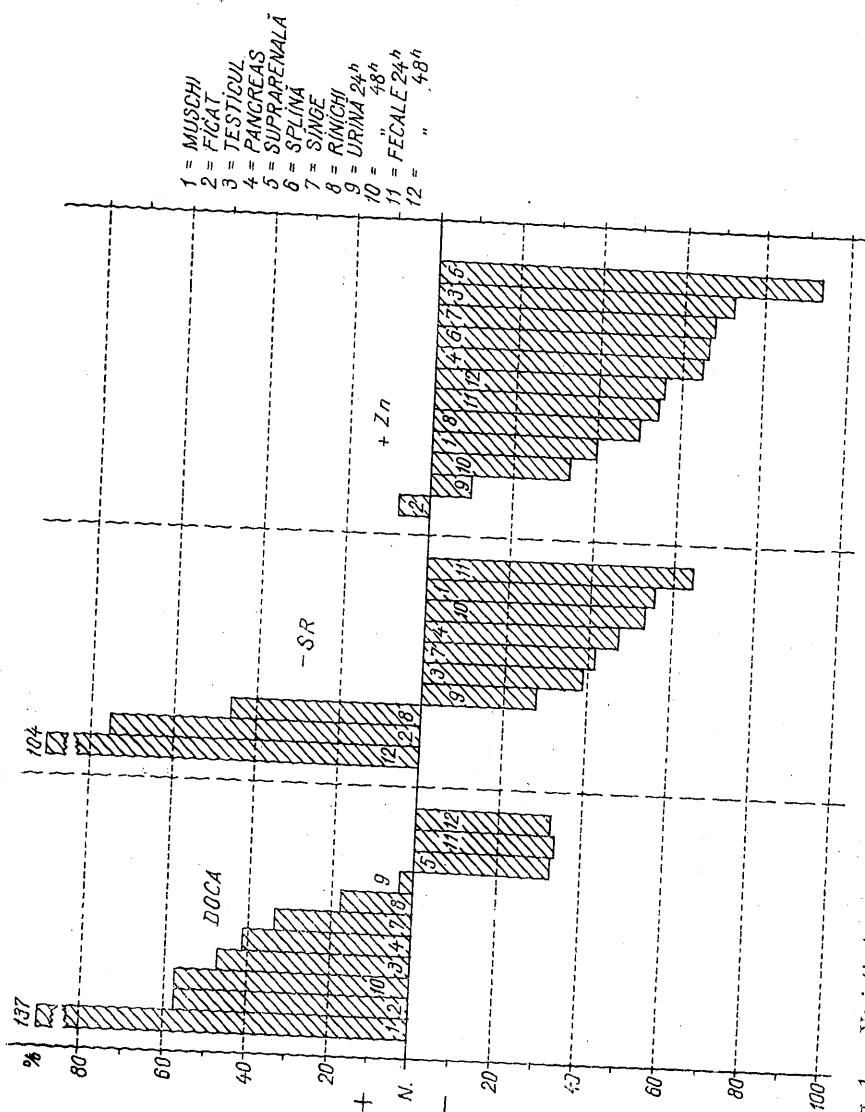


Fig. 1. — Variatia in procente a absorbtiei si eliminarii  $Zn^{65}$  sub influenta DOCA, suprarenalectomie (-SR) si tratamentului cronice cu zinc stabil (+Zn) in diferite organe si excreta la sobolan.

steron. A. S. Prasada și colaboratori (27) afirmă că în piticism și hipogonadism concentrația zincului stabil este foarte scăzută, iar înglobarea  $Zn^{65}$  crește mult și excreția acestuia scade remarcabil, ceea ce denotă, după părerea autorilor, o tendință de conservare a organismului în deficiență de zinc. S. Tauri (34), studiind efectul depancereatizării și diabetului aoxanic la cuni și iepuri asupra metabolismului zincului, constată că excreția zincului urinar crește foarte mult și se restaurează în timpul ameliorării acestor stări. Tratarea sobolanilor cu cortizon (30) duce la dublarea înglobării  $Zn^{65}$  în suprarenale, iar DOCA (în experiențele noastre) la efecte negative.

Animalele cu suprarenalectomie bilaterală prezintă o pronunțată scădere a  $Zn^{65}$  în sînge, pancreas, mușchi și testicule și o creștere a acestuia în rinichi și ficat, după cum se vede în figura 1 și în tabelul nr. 1. La aceste animale scade excreția  $Zn^{65}$  prin urină și crește cu 104% prin fecale la 48 de ore (tabelul nr. 2). Se mai constată și o rezistență scăzută a animalelor suprarenalectomizate la tratamentul cu aceeași doză de izotop ca și la martor. Majoritatea mor după 2–3 ore de la injectare. După rezultatele obținute se constată că lipsa hormonilor suprarenalieni are drept consecință inhibiția absorbției  $Zn^{65}$  la nivelul intestinului și scăderea excreției acestuia prin urină. Se pare că prin suprarenalectomie organismul este lipsit de factorul care stimulează combinarea zincului cu proteinele și metabolizarea lui sub formă organică, efecte contrare acelora obținute la exces de hormoni. După unele păreri (10), (38), acest fapt să ar datora modificării conținutului de zinc stabil după suprarenalectomie. S. P. Voroșilova (39) găsește că la pisicile suprarenalectomizate concentrația zincului scade în ficat și crește în sînge. F. A. Graig (10) afirmă că absorbția și excreția  $Zn^{65}$  sunt dependente de saturarea țesuturilor în zinc, probabil tendință organismului de a-și menține homeostazia. Rezultatele noastre concordă cu ale lui A. D. Rudezik (30), care obține scăderea încorporării  $Zn^{65}$  în prostata și testicul sobolanilor suprarenalectomizați.

Rezultatele obținute la animalele tratate cu zinc stabil (tabelul nr. 1 și fig. 1) diferă atât de cele de la animalele tratate cu hormon, cât și de cele de la animalele suprarenalectomizate. Cu excepția ficatului, toate organele cercetate, ca și sîngel, prezintă concentrații foarte scăzute de zinc radioactiv; de asemenea, excreția este scăzută prin urină și prin fecale la 24 de ore de la administrare. Această situație denotă o inhibiție marcată a absorbției  $Zn^{65}$  la nivelul intestinului.

După expresia lui F. A. Graig, saturarea țesuturilor cu zinc stabil inhibă absorbția izotopului la nivelul intestinului.

Astfel de efecte s-au obținut în cazul în care s-a urmărit absorbția intestinală de  $P^{32}$  la *Rutilus rutilus* și s-a constatat că existența în sînge a unei cantități apreciabile de fosfat împiedică foarte mult absorbția intestinală a fosforului radioactiv (22).

Grăbirea excreției  $Zn^{65}$  prin fecale (în experiențele noastre) dovedește același lucru, și anume că, în cazul saturării țesuturilor cu zinc, organismul tinde să se debaraseze de izotopul patruns în organism grăbind eliminarea lui în stare minerală prin intestin. G. C. Cotzias afirmă că metabolismul zincului este controlat de două mecanisme homeostatice, care acționează asupra absorbției și excreției intestinale.

G. C. Cotzias, M. E. Rubini și alții (8), (31) au exprimat postulatul după care absorbția zincului este o funcție a concentrației elementelor în țesuturi. Autorii au încercat cu diferite elemente și au găsit că doar zincul și parțial Cd influențează absorbția și eliminarea  $Zn^{65}$ , dar numai cînd acestea se administrează intraperitoneal, și nu oral.

#### CONCLUZII

Administrarea zilnică de zinc stabil timp de 3 luni la șobolan a dus la saturarea tuturor organelor în acest element. Din acest motiv,  $Zn^{65}$  se înglobează foarte puțin peste cel existent (probabil  $Zn^{65}$  scoate din țesuturi o parte din zinc și astfel îl găsim prezent în cantități mult mai mici decît la martori).

Numai în ficat se mai înglobează puțin  $Zn^{65}$ , fiindcă acesta are metabolismul cel mai ridicat și varsă Zn în intestin prin bilă.

DOCA mărește metabolismul zincului în ficat, pancreas, mușchi și testicul. Cantitatea de  $Zn^{65}$  transportată (prin sânge) și eliminată (prin urină) este de asemenea crescută. În schimb, DOCA micșorează eliminarea  $Zn^{65}$  prin fecale (la 24 și 48 de ore).

Suprarenalectomia (lipsa hormonilor corticoizi) scade metabolizarea zincului în pancreas, mușchi, testicul, dar o mărește în ficat, iar ca urmare transportul (sânge) și eliminarea (urină la 24 și 48 de ore și fecale la 24 de ore) de  $Zn^{65}$  sunt micșorate.

#### BIBLIOGRAFIE

1. БЕРЕНШТЕЙН Ф. Я. и ШКОЛЬНИК М. И., Тр. Моск. Вет. Акад., 1957, 21, 215—221.
2. BERTRAND G. et BENSON B., Bull. Soc. Chim. biol., 1924, 6, 203.
3. BERTRAND G. et BHATTACHERJEE R. C., Ann. Inst. Pasteur, 1935, 55, 265.
4. BERTRAND G. et VLADESCO R., C. R. Acad. Sci., 1921, 173, 176.
5. BIRNSTENGEL M., STONE B. a. RICHARDS V., Amer. J. Physiol., 1957, 186, 377.
6. COTZIAS G. C., BORG D.C. a. SELLECK B., Amer. J. Physiol., 1961, 201, 63—66.
7. — Amer. J. Physiol., 1962, 201, 359.
8. COTZIAS G. C. a. PAPAVASILIOU P. S., Amer. J. Physiol., 1964, 206, 787—792.
9. FUJII T., Nature, 1954, 174, 1 108.
10. GRAIG F. A. a. SIEGEL EDWARD, Proc. Soc. exp. Biol. Med., 1960, 104, 391—394.
11. GUNN S. A. a. GOULD T. C., Endocrinology, 1958, 17, 344.
12. GUNN S. A., GOULD T. C. a. ANDERSON W. A. D., Proc. Soc. exp. Biol. Med., 1960, 104, 348; 105, 433.
13. GUNN S. A. a. GOULD T. C., Arch. Path., 1963, 75, 21—27.
14. HEATH J., Nature, 1949, 164, 1 055.
15. HOLTERMAN H. a. HEIER A., Lancet, 1952, 262, 1 308.
16. HORVAL L., Biochem. Z., 1941, 368, 301.
17. HSU J. M., Proc. Soc. exp. Biol. Med., 1965, 119, 177—180.
18. ИЛИН І. А., АРХАНГЕЛЬСКАЯ Р. и НОРЕЦ Т. А., Радиобиология, 1964, 4, 926—927.
19. KEILIN D. a. MANN T., Nature, 1944, 153, 107.
20. KIENHOLZ E. W., SUNDE M. L. a. KOEKSTRA W. G., Amer. J. Physiol., 1965, 208, 347—352.
21. KOCSIS J. J., WALASZEK E. J., GRAHAM C. E. a. GEILING E.M.K., Fed. Proc., 1953, 12, 336.
22. KUDRIAVTSEV A. a. et PORA A. E., 2<sup>e</sup> Conf. inter. utilis. énerg. atomique à des fins pacif. Genève, 1958, 15 (P), 1 291.
23. MCKENNEY J. R., McCLEAN R. O. a. PERSING R. L., U. S. Atomic Energy Comm. Res. and Develop. Rept. H. W., 1961, 69 500, 46—50.

24. MILLAR M. J., ELCOATE P. V., FISCHER M. I. a. MAWSON C. A., Canad. J. Biochem. Physiol., 1960, 38, 1 457.
25. MOLINA G., RIBAS B. et al., Rev. esp. Fisiol., 1961, 17, 81—87.
26. MONTGOMERY M. L., SHELINE H. G. a. CHAIKOF I. I., J. exp. Med., 1943, 78, 151.
27. PRASAD A. S., MIALE JR. A., FARID Z., SANSTEAD H. H. a. SCHULERT A. R., J. Lab. clin. Med., 1963, 61, 537—549.
28. ROBERTSON B. T. a. BURNS M. J., Amer. J. Vet. Res., 1963, 24, 102, 997—1 002.
29. ROSENFIELD I. a. TOBIAS C. A., J. biol. Chem., 1951, 191, 210.
30. RUDZIK A. D. a. RIEDEL B. E., Canad. J. Biochem. Physiol., 1960, 38, 845.
31. RUBINI M. E., MONTAVO G. a. LOCKART C. P., Amer. J. Physiol., 1961, 200, 1 345.
32. STAND F., ROSOFF B., WILLIAMS G. L. a. SPENCER H., J. Pharmacol. Exp. Ther., 1962, 129, 399—404.
33. STIRN F. E., ELVEHJEM C. A. a. HART E. B., J. biol. Chem., 1935, 109, 347.
34. TAURI S., Osaka-Endocrin. Jap., 1963, 10, 1—8.
35. VALLEE B. L. a. HOCH F. L., J. biol. Chem., 1957, 225, 185.
36. VALLEE B. L. a. NEURATH H. J., J. amer. chem. Soc., 1954, 76, 5 006.
37. VALLEE B. L. a. WACKER W. E. C., J. amer. chem. Soc., 1956, 78, 1 771.
38. VERRILLI ROCCO A. et al., J. Urol., 1962, 88, 664—666.
39. ВОРОШИЛОВСКАЯ С. П., Пробл. Эндокринол. и Гормонтерап., 1963, 9, 15—17.

Universitatea „Babeș-Bolyai” Cluj,  
Catedra de fiziolologie animală  
și  
Secția de fiziologie animală comparată a  
C.C.B. Cluj.

Primită în redacție la 24 decembrie 1966.

## INFLUENȚA EXCITĂRII ENCEFALULUI ASUPRA GLICEMIEI LA *RANA RIDIBUNDA*

DE

CONSTANȚA MATEI-VLĂDESCU, GH. APOSTOL  
și T. TRANDABURU

591 (05)

S-a cercetat modificarea glicemiei după excitarea unică și repetată a telencefalului, diencefalului, mezencefalului și mielencefalului, precum și mersul hiperglicemiei și hipergalactozemiei provocate la animalele cu diencefalul excitat în prealabil. Experiențele s-au făcut pe *Rana ridibunda*.

Excitarea telencefalului, mezencefalului și mielencefalului a provoca hiperglicemie și glicozurie. Excitarea diencefalului a produs hipoglicemie, determinind totodată dispariția mai rapidă a hiperglicemiei și hipergalactozemiei provocate.

Numeroase cercetări efectuate pe mamifere au pus în evidență rolul important pe care sistemul nervos îl are în reglarea glicemiei (8).

La amfibii, ale căror mecanisme glicoreglatoare ne preocupă de mai mult timp (9), (10), (11), există însă destul de puține lucrări privind acest aspect al glicoreglării (1), (2), (3), (4), (5), (6), (7).

Deși cercetarea modificărilor nivelului glicemic sub influența excitării diferitelor segmente ale encefalului poate să dea indicații asupra rolului glicoregulator al sistemului nervos, pînă în prezent la amfibii nu s-a întreprins un studiu sistematic în această direcție. De aceea, în luararea de față ne-am propus să cercetăm modificarea glicemiei după excitarea unică și repetată a telencefalului, diencefalului, mezencefalului și mielencefalului, precum și mersul hiperglicemiei și hipergalactozemiei provocate la animalele cu diencefalul excitat în prealabil.

Rezultatele obținute fac obiectul prezentei lucrări.

### MATERIAL ȘI METODE

Experiențele au fost efectuate pe un număr de 80 de exemplare, masculi și femele, de *Rana ridibunda*, cu greutatea corporală medie de 80 g (50 — 130 g).

După fixarea prealabilă a animalului într-un aparat stereotaxic pentru amfibii (fig. 1), s-a pus în evidență vena peronea, din care s-a prelevat o probă inițială de sîngre. S-a tăiat apoi

pielea capului în formă de V cu vîrful spre partea posterioară; s-au raclat de periost oasele cutiei craniene de pe partea dorsală și, în dreptul formațiunilor encefalice în care urma să se introducă electrozii, s-au forat cu ajutorul unei freze de mînă niște orificii cu diametrul de  $500 \mu$ , pînă la duramater.

Prin aceste orificii au fost introduse perchi de electrozi metalici de NiCr, cu un diametru de  $50 \mu$  fiecare. Electrozii erau acoperiți, după o tehnică specială, cu lac izolator Viniflex, fiind întîmp lipiți unul de altul cu ajutorul unei soluții de cauciuc. Distanța dintre electrozii cuplului

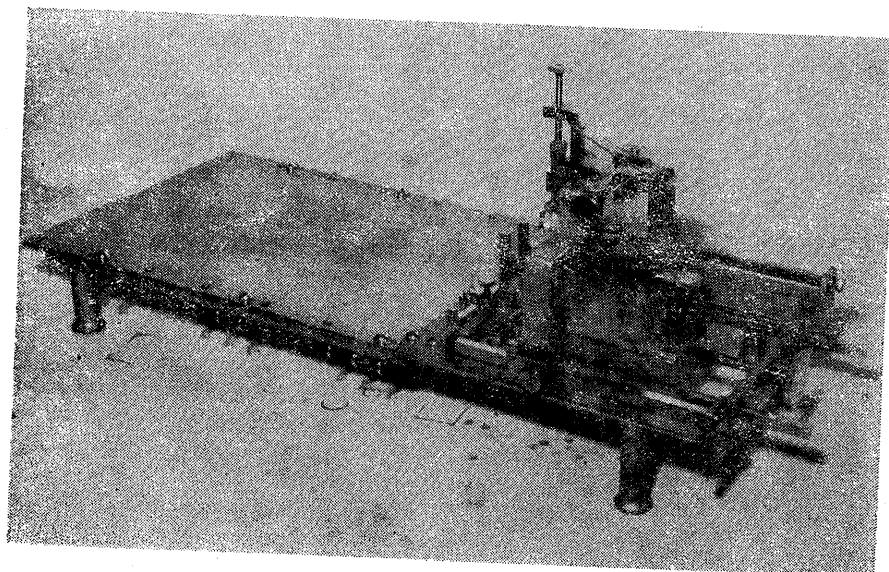


Fig. 1. - Aparat stereotaxic pentru amfibii, vedere de ansamblu.

a fost de  $80 - 100 \mu$ . Ambii electrozi aveau vîrful nezo'at pe o porțiune de aproximativ  $0,5$  mm.

După introducerea electrozilor în profunzimea formațiunilor cerecete (telencefal, diencefal, mezencefal, mielencefal), capătul lor extern a fost conectat la bornele unui generator de pulsuri rectangulare, tip EMA.

Durata excitărilor a fost de 15 s, la o tensiune de 3 V, o intensitate de 2 mA și o frecvență de 100 cicl/s.

Prizile de singe în cadrul excitațiilor unice s-au prelevat de la fiecare animal la 3, 5 și 24 de ore după excitare.

Excitațiile repetate au fost orare, în număr de 5 – 6, iar prelevarea probelor de singe s-a făcut din 2 în 2 ore.

La finele experiențelor, animalele au fost sacrificiate, iar creierul acestora a fost supus unui control histologic în vederea identificării locului vîrfului electrozilor.

Glicemia și glicozuria s-au determinat după metoda Hagedorn-Jensen.

La animalele excitate în diencefal s-au provocat hiperglicemie și hipergalactozemie, înjetindu-se în sacii limfatici dorsali (la 24 de ore de la excitare) sau intraperitoneal (la 5 ore de la excitare) o soluție aposă conținând cîte 0,4 g glucoză, respectiv 0,4 g galactoză/kg greutate corporală. Prizile de singe s-au recoltat înainte și după 3 ore de la administrarea hexozei.

Experiențele s-au efectuat din iunie pînă în decembrie 1965. Temperatura apel din acvariiile în care se țineau animalele a variat între 20 și  $24^{\circ}\text{C}$ .

### 3 INFLUENȚA EXCITĂRII ENCEFALULUI ASUPRA GLICEMIEI LA R. RIDIBUNDA 173

#### REZULTATELE OBTINUTE

În cîteva experiențe preliminare, executate cu electrozi de NiCr, cu un diametru de  $400 \mu$ , introdusi manual prin orificii forate cu ajutorul unei freze de mînă în oasele cutiei craniene, în diferite regiuni ale encefalului, am constatat că la excitarea diencefalului nu apare răspunsul hiperglicemic care se obținea la excitarea celorlalte segmente encefalice.

Pornind de la această constatare, am hotărît să întreprindem un studiu mai sistematic al acestor fenomene.

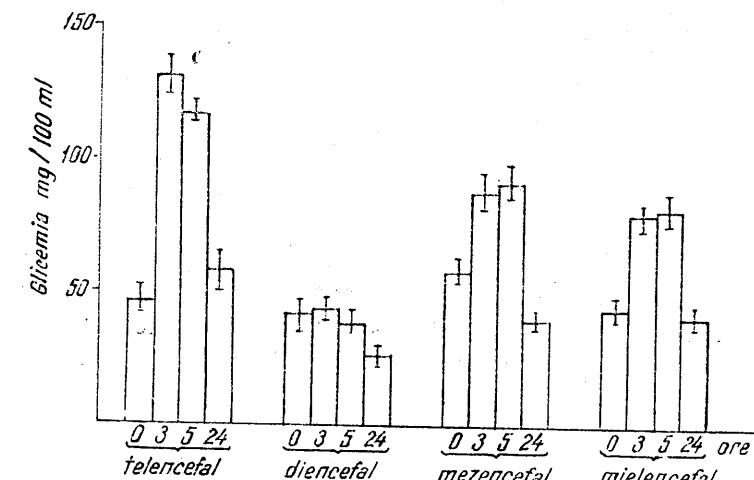


Fig. 2. - Modificările glicemiei la *Rana ridibunda* sub influența excitării unice, aplicată la nivelul diferitelor segmente ale encefalului.

a. *Influența excitării unice a encefalului asupra glicemiei.* După cum se poate vedea din figura 2, excitarea unor puncte situate în telencefal (fig. 3), mezencefal (fig. 5) și mielencefal (fig. 6) a determinat o creștere a nivelului zahărului din singe. Hiperglicemia produsă a avut o amplitudine mai mare (aproape s-a triplat) și a durat mai mult (peste 24 de ore) în cazul excitării telencefalului.

O dată cu creșterea glicemiei s-a constatat și apariția glicozuriei ( $54 - 105$  mg glucoză/100 ml urină după excitarea lobilor optici și  $13 - 55$  mg glucoză/100 ml urină după excitarea bulbului).

Excitațiile la nivelul diencefalului (fig. 2 și 4) nu au provocat decît modificări ușoare ale glicemiei în primele ore. După 5 ore s-a observat o tendință de scădere a glicemiei sub valorile inițiale. Scăderea a devenit clară după 24 de ore, cînd valoarea glicemiei reprezenta 60% față de nivelul glicemic inițial, considerat 100% ( $P < 0,01$ ).

b. *Influența excitărilor repetitive ale encefalului asupra glicemiei.* În scopul de a obține o intensificare a modificărilor caracteristice ale glicemiei observate în prima serie de experiențe după excitarea diferitelor segmente ale encefalului, am efectuat pe trei loturi de animale excitări repetitive ale acestor segmente (fig. 7).



Fig. 3. — Reprezentarea schematică a localizării virfului electrozilor la animale excitate în telencefal.

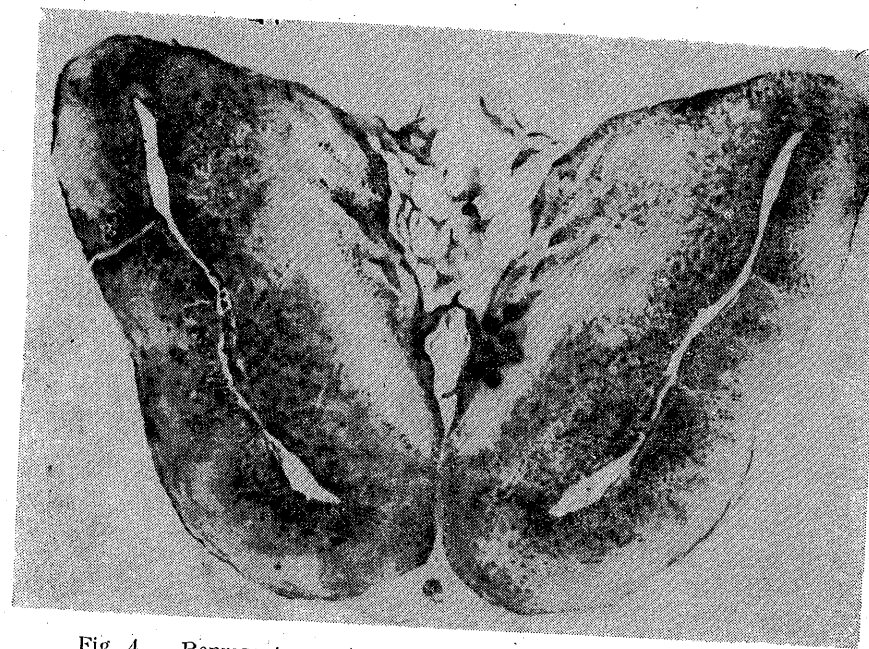


Fig. 4. — Reprezentarea schematică a localizării virfului electrozilor la animale excitate în diencefal.

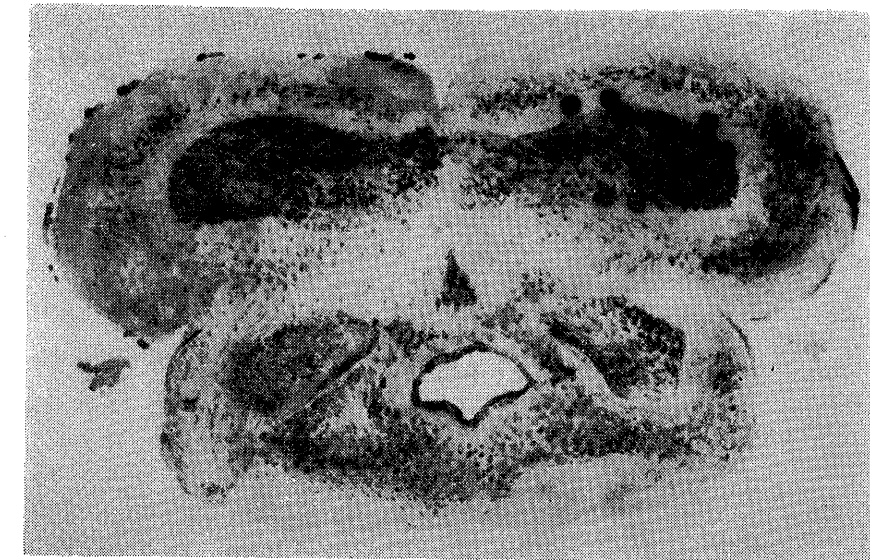


Fig. 5. — Reprezentarea schematică a localizării virfului electrozilor la animale excitate în mezencefal.

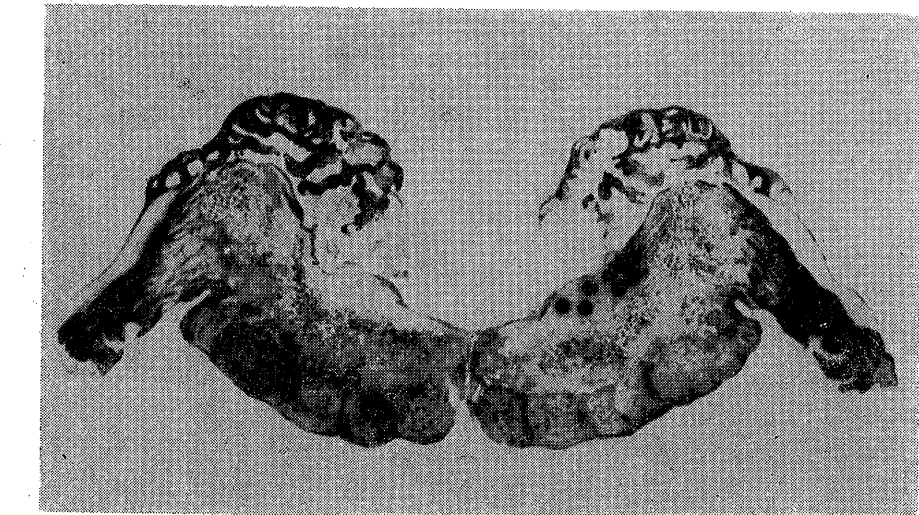


Fig. 6. — Reprezentarea schematică a localizării virfului electrozilor la animale excitate în mielencefal.

Repetarea excitărilor la nivelul telencefalului a mărit considerabil răspunsul hiperglicemic în primele ore, dar după 18 ore de la efectuarea ultimei excitări glicemia a scăzut chiar sub valorile inițiale.

Excitațile repetitive în diencefal nu au accentuat tendința hipoglicemiantă observată după excitații unice, așa cum era de așteptat, ci ele au produs o hiperglicemie de intensitate mijlocie. După 4 — 5 excitări, animalele au murit.

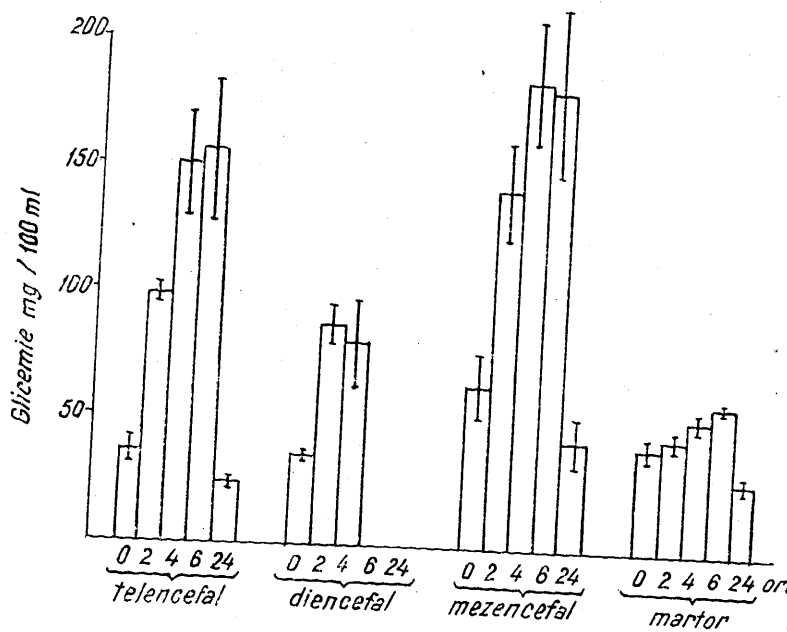


Fig. 7. — Modificările glicemiei la *Rana ridibunda* sub influența excitărilor repetitive, aplicate la nivelul diferitelor segmente ale encefalului.

În urma excitării repetitive în mezencefalon, creșterea glicemiei a fost mai mare decât în cazul excitației unice la nivelul acestui segment.

c. *Influența excitării prealabile a diencefalului asupra încercării cu glucoză și galactoză.* Considerind că ușoara hipoglicemie care se observă după excitarea diencefalului ar putea să se datorească unei intensificări a secreției de insulină, ca răspuns la stimularea acestui segment, am întreprins mai multe experiențe, în care s-a urmărit mersul hiperglicemiei și al hipergalactozemiei provocate la animale martor și la animale la care se excitase în prealabil diencefalul.

Rezultatele acestor experiențe (fig. 8) indică o tendință de scădere mai rapidă a hiperglicemiei și hipergalactozemiei provocate la animalele cu diencefal excitat în prealabil; diferențele acestora față de animalele martor sunt mai accentuate după administrarea galactozei ( $P < 0,1$ ).

#### DISCUȚIA REZULTATELOR

Efectul hiperglicemiant al excitării diferitelor porțiuni ale sistemului nervos central sau periferic este cunoscut și demonstrat în special la mamifere (8). Această hiperglicemie reflexă s-ar realiza în cea mai mare parte pe căi nervoase simpatice, prin participarea medulosuprarenalelor, care, sub influența impulsurilor nervoase venite de la formațiunile exci-

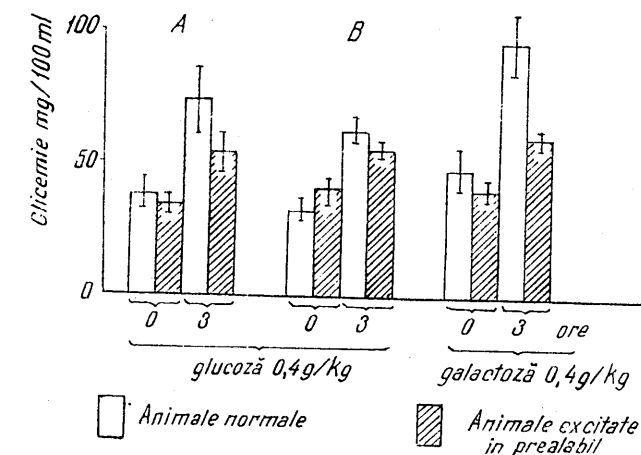


Fig. 8. — Influența excitării prealabile a diencefalului asupra amplitudinii hiperglicemiei și hipergalactozemiei provocate la *Rana ridibunda*. A, După administrarea glucozei în sacii limfatici dorsali. B, După administrarea glucozei intraperitoneal.

tate ale sistemului nervos central, secretă cantități mai mari de adrenalină. Prezența adrenalinei în sânge ar determina intensificarea glicogenolizei și apariția hiperglicemiei și glicoziuriei. O dovedă, indirectă, că la amfibii intervin aceleși mecanisme, că secreția de adrenalină crește sub influența excitării diferitelor segmente encefalice la broaștele studiate de noi au fost strângerea rapidă a cromatoforilor și decolorarea pielii imediat după excitare. Acest efect a fost de scurtă durată (10 — 30 min).

O probă și mai convingătoare este faptul că la broaștele la care am secționat complet măduva spinării, la nivelul celui de-al doilea spațiu intervertebral, excitarea mezencefalului nu a mai avut un efect hiperglicemiant (fig. 9). Producerea pe cale reflexă a secreției de adrenalină sub influența hipoglicemiei insulinice a fost observată de M. Inoue (5), (6) la broaștele rîioase. După secționarea nervilor splanchnici sau a măduvei la nivelul celui de-al doilea spațiu intervertebral, această intensificare nu mai avea loc.

Faptul că excitarea diencefalului la animalele cercetate de noi nu a produs hiperglicemie, ci a determinat scăderea zahărului sanguin, pare greu de explicat în lumina celor arătate mai sus.

B. A. Housay și colaboratori (2), (3) au constatat de asemenea apariția unei hipoglicemii, o diminuare a glicogenului hepatic, precum și o oarecare accentuare a răspunsului hipoglicemic la insulină

la *Bufo marinus*, la care regiunea infundibulo-tuberiană era lezată. Cercetând modificările funcționale ale hipofizei după leziunile infundibulo-tuberiene la broaștele răioase, B. A. Houssay și colaboratori (4) au găsit că în acest caz se produce o blocare a circulației într-o porțiune a lobului anterior al hipofizei. În astfel de condiții avea loc o diminuare marcată a acțiunii diabetogene a lobului anterior, care se menținea chiar după 7 săptămâni, deși glanda era deja regenerată.

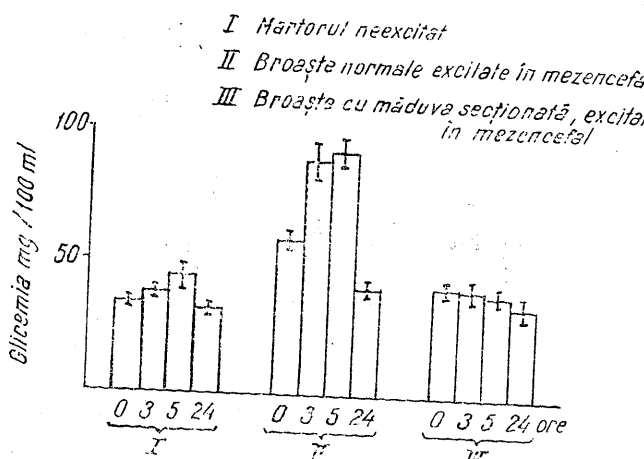


Fig. 9. — Blocarea efectului hiperglicemiciant al excitării mezencefalului la animalele cu măduva secționată.

Contra acestui fapt la *Myxine glutinosa* A. J. Matty și S. Falkmer (12) au găsit valori glicemice crescute la animalele cu leziuni mecanice ale regiunii hipotalamice. E. A. Pora și colaboratori (14), cercetând efectul secționării axului nervos între telencefal și mezencefal asupra glicemiei la *Trachurus trachurus*, au înregistrat hipoglicemie în cazul cînd animalele erau ținute în apă de mare 16% și, dimpotrivă, hiperglicemie în cazul unui exces de potasu.

Astfel de rezultate contradictorii s-au înregistrat și la mamifere (8). Ele pot avea o explicație în faptul că în diencefal se găsesc atît centri nervoși superioiri simpatici, cît și parasimpatici, iar excitarea ori lezarea unora sau altora poate provoca efecte diferite.

Valorile ușor hipoglicemice găsite de noi după excitarea diencefalonului la *Rana ridibunda*, ca și tendința de dispariție mai rapidă a hiperglicemiei și hipergalactozemiei provocate, ar putea arăta că regiunea excitată determină efecte de tip parasimpatice.

În cazul excitării diencefalonului se poate presupune de asemenea și existența unei influențe prin sistemul hipotalamo-hipofizar. La amfibii există posibilitatea unui efect local al substanțelor derivate din hipotalamus asupra secreției adenohipofizei prin vasele porthipofizare (Green,

## 9 INFLUENȚA EXCITĂRII ENCEFALULUI ASUPRA GLICEMIEI LA *R. RIDIBUNDA* 179

citat după (13)). La animalele la care s-a excitat diencefalonul am constatat o strîngere a cromatoforilor și o înnegrire a pielii, ceea ce arată că mecanismele acestui sistem au fost solicitate.

### CONCLUZII

1. Excitarea telencefalonului, mezencefalonului și mielencefalonului la *Rana ridibunda* provoacă hiperglicemie și glicozurie. După aproximativ 24 de ore de la excitare, nivelul glicemic inițial se restabilește.

2. Excitarea diencefalonului produce hipoglicemie, determinind dispariția mai rapidă a hiperglicemiei și hipergalactozemiei provocate.

### BIBLIOGRAFIE

1. BARLOW O. W., VIGOR W. M. a. PECK R. J., J. Pharm. Exp. Therap., 1931, **41**, 2, 229–243.
2. HOUESSAY B. A., MAZZACCO P. et RIETTI C. T., C.R. Soc. Biol., 1925, **93**, 967.
3. — C. R. Soc. Biol., 1925, **93**, 968.
4. — C. R. Soc. Biol., 1936, **120**, 725–727.
5. INOUE M., The Tohoku J. exp. Med., 1958, **68**, 3–4, 279–284.
6. — The Tohoku J. exp. Med., 1959, **70**, 4, 319–323.
7. IVANOV N., C. R. Soc. Biol., 1958, **152**, 12 (11), 1 541–1 543.
8. ЛЕЙБСОН Г. Л., Сахар крови, Москва-Лeningrad, 1962.
9. MATEI-VLĂDESCU C., Rev. Biol., 1963, **8**, 4, 447–455.
10. — Rev. roum. Biol., Série de Zoologie, 1964, **9**, 5, 343–354.
11. — Rev. roum. Biol., Série de Zoologie, 1955, **10**, 3, 165–169.
12. MATTY A. J. a. FALKMER S., Nature, 1965, **207**, 4 996, 533–534.
13. MOORE A. J., Physiology of the Amphibia, New York-Londra, 1964.
14. PORA E. A., RUȘDEA D. și Stoicovici F., St. și cerc. biol. Cluj, 1963, **14**, 1, 107–112.

Institutul de biologie „Traian Săvulescu”,  
Secția de fiziologie animală.

Primită în redacție la 18 noiembrie 1966.

CERCETĂRI ASUPRA ACȚIUNII DINAMICE SPECIFICE  
A CAZEINEI LA PĂSĂRI\*

DE

GH. BURLACU și GH. NĂSTĂSESCU

591 (05)

S-a cercetat ADS a cazeinei și a amestecului de aminoacizi din care este compusă aceasta; s-a constatat că atât cazeina, cât și amestecul de aminoacizi corespunzător acesteia, au produs o ADS asemănătoare (16,55 %, respectiv 16,15 % kcal). Suma valorilor ADS a aminoacizilor componenți ai cazeinei administrați separat este însă mult mai mică (0,9 % kcal).

Din cercetările anterioare (2), (3) am constatat că acizii administrați păsărilor au o acțiune dinamică specifică (ADS) mai intensă cînd aceștia sunt administrați în amestec decît în mod izolat. În legătură cu acest fapt ne-am pus problema dacă deosebirea se manifestă și atunci cînd se compară ADS a unei proteine naturale cu cea a aminoacizilor componente, administrați în amestec. Problema aceasta a mai fost cercetată și de către D. Rapport și H. H. Beard (6), (7), (8) la cîine, care au ajuns la concluzia că ADS a proteinelor este asemănătoare cu suma ADS a aminoacizilor rezultați din hidrolizarea acestora. Cum însă noi am constatat deosebiri importante între valorile ADS ale aminoacizilor cercetați la păsări față de cele obținute la mamifere, am considerat necesară reluarea cercetării acestei probleme.

În prezența lucrare am cercetat ADS a cazeinei și a amestecului de aminoacizi componente ai acesteia la găini.

MATERIAL ȘI METODĂ

Am folosit 10 găini de rasă Rhode-Island în greutate medie de 2,200 kg și în vîrstă de 2–3 ani, împărțite pe loturi de cîte 2 găini. Cazeina<sup>1</sup> s-a administrat în cantitate de 15 g pe găină iar amestecul de aminoacizi constituenți ai acesteia într-o cantitate corespunzătoare cazeinei ingerate.

\* Lucrare prezentată la prima Sesiune de fiziolologie animală, Cluj, 25–28 mai 1965.

<sup>1</sup> S-a folosit cazeina pură livrată de firma Serva-Heidelberg.

Pentru constituirea amestecului de aminoacizi s-a folosit compoziția procentuală dată de I. R. Block (1). Aminoacizii întrebunțați au fost în majoritate racemici (cu excepția argininei, histidinei și leucinei, care au fost levogiri).

Acțiunea dinamică specifică s-a cercetat după aceeași tehnică indicată în lucrările anterioare (2), (3), (4), (5), cu deosebirea că perioada determinării metabolismului energetic după administrarea substanțelor nutritive a fost de data aceasta de 24 de ore, întrucât digestia și absorbția cazeinei au durat mai mult decât absorbția aminoacicilor administrați separat.

S-au cercetat cantitatea de cazeină digerată după metoda Stotz și aceea de aminoacizi absorbti din amestecul administrat, după metoda Sørensen și s-a determinat cantitatea de azot urinar provenit din dezaminarea aminoacicilor corespunzători, excretat peste nivelul bazal.

#### REZULTATE OBȚINUTE

**1. Bilanțul azotului cazeinei și al amestecului de aminoacizi componente ai acesteia (fig. 1).** Cazeina ingerată s-a digerat în proporție de 95,08%. Din cantitatea de azot corespunzător cazeinei ingerate s-au eliminat prin urină, sub formă de acid uric, peste nivelul azotului bazal, 19,42%. Din amestecul de aminoacizi componente ai cazeinei, s-au eliminat nedezaminiți, prin fecale și urină, 0,39%.

Din cantitatea de azot corespunzător aminoacicilor ingerați, 29,61% s-au eliminat sub formă de acid uric, peste nivelul excreției bazale a azotului. Restul cazeinei și al amestecului de aminoacizi componente ai acesteia au acoperit, probabil, necesitățile metabolismului azotului bazal sau au fost assimilați ca atare fără o dezaminare prealabilă.

**2. Metabolismul energetic.** Cazeina și amestecul de aminoacizi componente ai săi au produs o creștere asemănătoare a metabolismului energetic. Astfel, după administrarea cazeinei s-a determinat o ADS de 16,55% kcal raportată la valoarea energetică a substanței ingerate, iar după ingerarea amestecului de aminoacizi s-a constatat o ADS de 16,15% kcal, adică cu numai 0,4% mai mică. În ambele cazuri, creșterea metabolismului energetic a fost suficient de semnificativă, probabilitatea fiind mai mică de 1% (fig. 2).

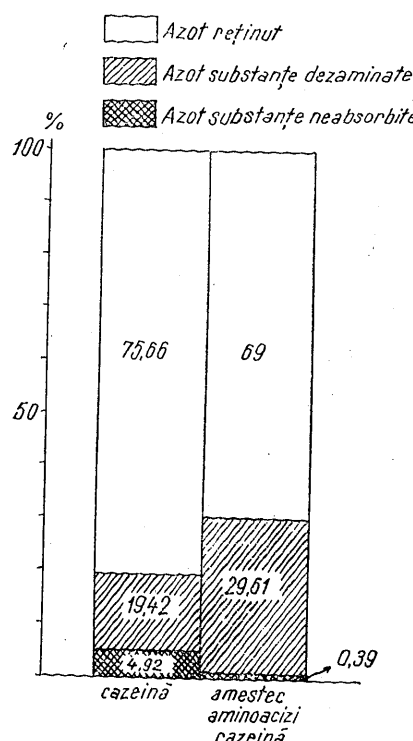


Fig. 1. — Bilanțul azotului cazeinei și al aminoacicilor componente ai acesteia.

**3. Cîțul respirator.** Acesta a variat foarte puțin după administrarea respectivelor substanțe nutritive. Astfel, după administrarea cazeinei s-a

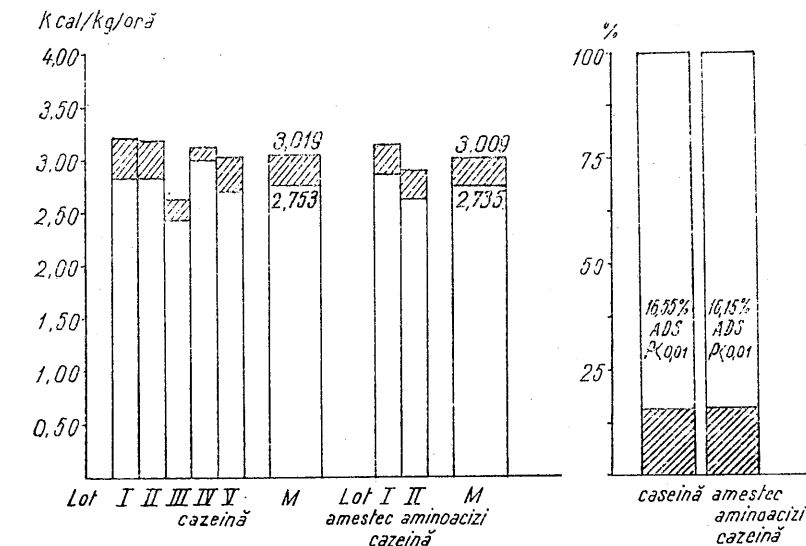


Fig. 2. — Metabolismul energetic și ADS după administrarea cazeinei și a amestecului de aminoacizi componente ai acesteia.

înregistrat o scădere a QR, în medie cu numai 4,6%, iar după ingerarea amestecului de aminoacizi valoarea medie a rămas aceeași (fig. 3).

#### DISCUȚIA REZULTATELOR

Rezultatele obținute de noi confirmă concluzia la care au ajuns și D. Rapport și H. H. Beard (6), (7), (8) în experiențele lor pe cîine, și anume că ADS a proteinelor este practic echivalentă cu cea a aminoacicilor rezultați din hidroliza acestor proteine administrate în amestec, de unde se poate deduce că ADS a proteinelor este reprezentată de valoarea totală a ADS a aminoacicilor componente.

Spre deosebire de cele constatate de acești autori, din cercetările noastre la găini rezultă însă că ADS a cazeinei este echivalentă numai cu ADS a ameste-

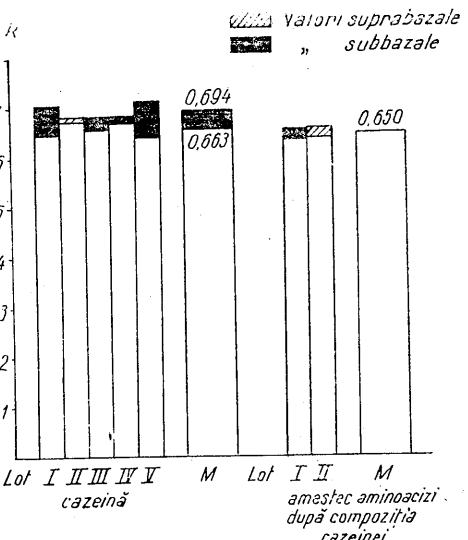


Fig. 3. — QR după administrarea cazeinei și a amestecului de aminoacizi componente ai acesteia.

cului de aminoacizi compoñenți ai acesteia, nu însă și cu suma ADS a aminoacizilor administrați separat.

Din cercetările efectuate de unul dintre noi asupra ADS a 15 aminoacizi din cei 17, că conține cazeina, adică: arginina, histidina, tirozina, triptofanul, fenilalanina, metionina, treonina, sericina, leucina, izoleucina, valina, acidul glutamic, acidul aspartic, glicina și alanina, s-a constatat că ADS au numai alanina și fenilalanina cind sunt administrate separat. Dacă însumăm ADS a acestor aminoacizi administrați izolat, constatăm o valoare ADS totală foarte mică (0,9 % kcal) în comparație cu cea determinată după administrarea acestora în amestec sau a cazeinei. Probabil că ceilalți doi aminoacizi din compoñența cazeinei, hidroxiprolina și cistina, a căror ADS nu a fost cercetată de noi, nu produc nici ei ADS la păsări. De altfel, nici la mamifere acești aminoacizi nu au avut efect ADS (8). Chiar dacă acești aminoacizi ar produce o ADS asemănătoare cu cea a alaninei și fenilalaninei, valoarea ADS însumată a aminoacizilor compoñenți ai cazeinei ar rămâne mult inferioară față de cea determinată pentru amestecul acestor aminoacizi sau pentru cazeină.

Cauza acestei diferențe nu ne este clară. Probabil că aminoacizii se metabolizează la păsări în mod deosebit după modul lor de administrare, care ar corespunde unui anume bilanț termodinamic încheiat cu valori ADS corespunzătoare.

Credem că cercetările cu aminoacizii marcați vor putea lămuri această problemă.

#### CONCLUZII

Cazeina a produs o ADS asemănătoare cu cea a amestecului de aminoacizi din care aceasta este compusă (16,55 % kcal, respectiv 16,15 % kcal). Suma ADS a aminoacizilor compoñenți ai cazeinei administrați separat este însă mult mai mică (0,9 % kcal) în comparație cu ADS a cazeinei sau a amestecului de aminoacizi compoñenți ai acesteia.

#### BIBLIOGRAFIE

1. BLOCK I. R. a. BOLLING D., *The aminoacid composition of proteins and Foods*, Charles C. Thomas Publisher Springfield, Illinois, 1951, 420.
2. BURLACU GH., MATEI-VLĂDESCU C. et MOTELICĂ I., Rev. roum. Biol., Série de Zoologie, 1964, **9**, 3, 171–190.
3. BURLACU GH., St. și cerc. biol., Seria zoologie, 1965, **17**, 2, 165–171.
4. BURLACU GH., CORCĂU M., SCHUSTER R. și MERER E., St. și cerc. biol., Seria zoologie, 1965, **17**, 1, 57–64.
5. BURLACU GH., NĂSTĂSESCU GH., MARINESCU GH. et VOICULESCU I., Rev. roum. Biol., Série de Zoologie, 1965, **10**, 3, 117–122.
6. RAPPORT D. a. BEARD H. H., J. biol. Chem., 1927, **73**, 285–294.
7. — J. biol. Chem., 1927, **73**, 299–319.
8. — J. biol. Chem., 1928, **80**, 413–430.

Institutul de biologie „Traian Săvulescu”,  
Secția de fiziologie animală.

#### INFLUENȚA TEMPERATURII ASUPRA METABOLISMULUI ENERGETIC LA LIBARCĂ (BLATTA ORIENTALIS L.)

DE

ELEONORA ERHAN, GH. BURLACU și DUMITRA GRUNCA

591(05)

Variatia metabolismului energetic in functie de temperatura este neuniforma in limitele de 6,5 – 35°C, existand o netă tendinta de plafonare a valorilor metabolismului energetic in intervalul cuprins intre 15 si 20°C. Ca o consecinta, curba valorilor coeficientului de temperatura este discontinua. Raportul dintre rata metabolică și greutatea corporală variază in functie de temperatura. Panta de regresie a acestui raport are valori cuprinse intre 0,64 și 1,41.

Influența temperaturii asupra metabolismului energetic la insecte a constituit obiectul multor cercetări (1), (2), (3), (4), (5), (7) etc., făcute cu diferite scopuri, pe diverse specii aflate într-un stadiu sau altul de dezvoltare ontogenetică.

Dacă, în general, pentru poikiloterme cercetările referitoare la coefficientul de temperatura ( $Q_{10}$ ) și la aplicabilitatea în biologie a legii lui Van't Hoff sunt destul de numeroase, existând atât date care pledează în favoarea acestei legi cât și păreri opuse, la insecte se cunosc relativ puține informații privitoare la valoarea acestui coefficient, generalizările fiind încă dificile.

În ceea ce privește influența temperaturii asupra variației mărimii corporale metabolice la insecte, cercetările sunt încă la început. S-au făcut unele experiențe cu scopul de a determina și la aceste animale mărimea corporală metabolică (6), (7), (8), cercetări care au scos la iveală faptul că și la insecte această mărire corporală metabolică se înscrie în panta de regresie generală caracteristică tuturor animalelor (6), (8), existând în același timp limite destul de largi de variație inter- și intraspecifică (1), (2), (3), (4), (5).

Pornind de la aceste considerații, am cercetat variația metabolismului energetic în funcție de temperatura la libarcă (*Blatta orientalis L.*), cu scopul de a pune în evidență valoarea coeficientului de temperatură, în limitele de 6,5 – 35°C, și în același timp de a determina mărimea corporală metabolică la insectă respectivă, în speranța de a aduce unele date suplimentare în această problemă.

## MATERIAL ȘI METODĂ

Materialul biologic a constat dintr-un lot de 11 larve de *Blatta orientalis* L., provenite din aceeași pontă, a căror greutate individuală a variat între 150 și 350 mg, larvele fiind în vîrstă de aproximativ 4 luni.

Experiențele au fost făcute cu aparatul Warburg, utilizându-se vase de 50 ml. Punctul zero a fost determinat după uniformizarea temperaturii din sistem, adică la 30 min de la introducerea animalelor în vase; citarea consumului de oxigen s-a făcut după 60 min de la determinarea punctului zero.

Determinarea consumului de oxigen s-a făcut la următoarele temperaturi: 6,5, 10, 15, 20, 25, 30, 35°C, în perioada 1.II – 31.III.1966.

Durata medie a experiențelor pentru fiecare temperatură a fost de 25–30 de ore, experiențele efectuindu-se pe perioade variind între 1 și 5 ore la fiecare determinare, în funcție de temperatură la care s-a lucrat. Astfel, la temperaturile cuprinse între 6,5 și 15°C, durata unei experiențe a fost de 3–5 ore, iar la temperaturile cuprinse între 15 și 35°C de 1–2 ore. În total au fost efectuate 1975 de determinări, cîte 275 pentru fiecare temperatură. Experiențele au fost efectuate în primele ore ale zilei (8–14) după o ajunare a insectelor de 12 ore. Calculul valorilor lui  $Q_{10}$  s-a făcut după formula:

$$\lg. Q_{10} = \frac{10}{T_2 - T_1} \cdot \lg. \frac{Q_2}{Q_1},$$

unde:  $T_1$  = temperatura minimă,  $T_2$  = temperatura maximă,  $Q_1$  = metabolismul minim,  $Q_2$  = metabolismul maxim (7).

## REZULTATELE OBTINUTE

Rezultatele noastre sunt inserise în tabelul nr. 1 și figurile 1 și 2.

Tabelul  
Consumul de oxigen la libarcă

Nr. indivizi	mm <sup>3</sup> O <sub>2</sub> /g/h					
	6,5°C		10°C		15°C	
	nr. det.	media și abaterea standard	nr. det.	media și abaterea standard	nr. det.	media și abaterea standard
1	5	36,6 ± 12,2	5	79,4 ± 16,07	14	112,1 ± 32,6
2	5	47,6 ± 17,6	5	80,6 ± 14,31	16	130,0 ± 24,4
3	4	63,4 ± 14,25	6	73,75 ± 12,6	11	122,3 ± 29,3
4	5	51,2 ± 3,5	5	87,76 ± 20	13	156,3 ± 31,4
5	5	66,3 ± 6,3	5	83,9 ± 16,0	10	120 ± 38,9
6	5	78,9 ± 19,3	5	119,8 ± 15,1	14	246,7 ± 33,7
7	5	67,7 ± 13,6	5	127,0 ± 28,78	10	147 ± 37,6
8	4	72,3 ± 12,7	5	101,8 ± 21,8	10	140 ± 40,8
9	5	45,3 ± 14,8	5	98,2 ± 17,6	11	169,1 ± 58,1
10	5	66,8 ± 25,1	5	134,7 ± 22,5	10	177 ± 77,2
11	4	64,5 ± 11,2	5	78,9 ± 27,1	12	141,66 ± 41,0

Din analiza tabelului și a figurii 1 se constată că metabolismul energetic la libarcă variază în funcție de temperatură. Această variație nu se înscrie într-o ecuație liniară, evoluția generală a metabolismului energetic în limitele de temperatură în care am lucrat fiind redată, de fapt, prin două ecuații, prima în care  $y = 7,332x + 23,65$  pentru intervalul 6,5 – 20°C și cea de-a doua în care  $y = 20,358x - 230,77$ , existind o netă tendință de plafonare în intervalul de temperatură 15 – 20°C, cînd valoările metabolismului energetic variază foarte puțin.

Aspectul acesta neuniform al curbei valorilor metabolismului energetic ne-a determinat să urmărim îndeaproape valoarea coeficientului de temperatură pentru fiecare interval în parte. În grafic (fig. 1) am figurat valorile lui  $Q_{10}$  pentru intervalele de temperatură cuprinse între 6,5 și 35°C în raport cu o curbă ideală care ar reprezenta valorile lui  $Q_{10}$ , în cazul în care metabolismul energetic la libarcă ar fi o funcție liniară de temperatură. După cum se constată din acest grafic, curba valorilor lui  $Q_{10}$ , așa cum rezultă din calculele noastre, are un aspect discontinuu, intersectînd curba ideală în intervalul cuprins între 15 și 20°C.

Această abatere evidentă ne-a făcut să presupunem existența unei modificări și în ceea ce privește raportul dintre metabolismul energetic și greutatea corporală, determinată de variația de temperatură a mediului exterior.

În vederea verificării acestei presupuneri am calculat ecuațiile de regresie ale metabolismului energetic, care exprimă acest raport, pentru fiecare temperatură în parte (fig. 2).

nr. 1  
la diferite temperaturi ale mediului

Nr. indivizi	mm <sup>3</sup> O <sub>2</sub> /g/h							
	20°C		25°C		30°C		35°C	
nr. indivizi	nr. det.	media și abaterea standard	nr. det.	media și abaterea standard	nr. det.	media și abaterea standard	nr. det.	media și abaterea standard
1	13	135,9 ± 37,9	18	178,9 ± 51,8	21	279,3 ± 65,2	22	309,09 ± 73,9
2	13	139,09 ± 46,2	17	315 ± 74,94	24	551,2 ± 84,2	24	626,68 ± 118,4
3	13	172,5 ± 58,2	17	316,74 ± 53,9	22	396,35 ± 114	26	433,84 ± 100,4
4	13	204 ± 52,4	20	417,5 ± 77,55	25	424,2 ± 74,7	25	659,0 ± 188
5	9	175,8 ± 54	18	256,5 ± 71,6	25	405,6 ± 112,3	20	412,5 ± 70,7
6	12	206,6 ± 74,4	16	252 ± 69,2	22	438,2 ± 108	18	424,45 ± 112
7	11	145 ± 37,9	10	158,5 ± 55,5	22	300 ± 55,9	12	516,7 ± 111
8	11	144,56 ± 39,3	16	251,2 ± 91,7	12	343,3 ± 59,1	16	370,6 ± 77,5
9	12	175 ± 65,9	18	256,9 ± 86,8	23	364,13 ± 85,5	24	420 ± 128
10	9	198,8 ± 78,9	17	246,4 ± 63,2	23	455,88 ± 88,6	24	512,5 ± 99,9
11	13	161,38 ± 40,5	14	251,42 ± 72,4	17	663,5 ± 112	24	463,9 ± 68,8

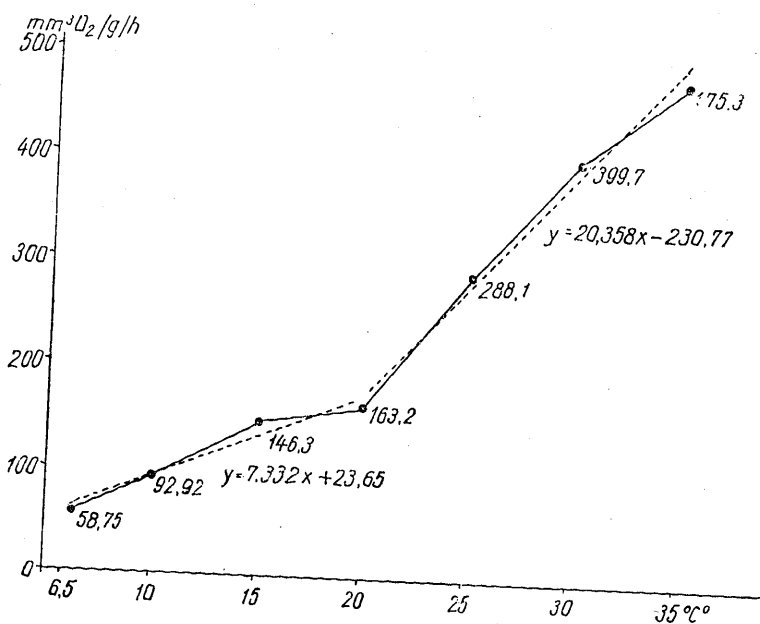


Fig. 1. — Variația metabolismului energetic și a coeficientului de temperatură la libarcă (*Blatta orientalis* L.).

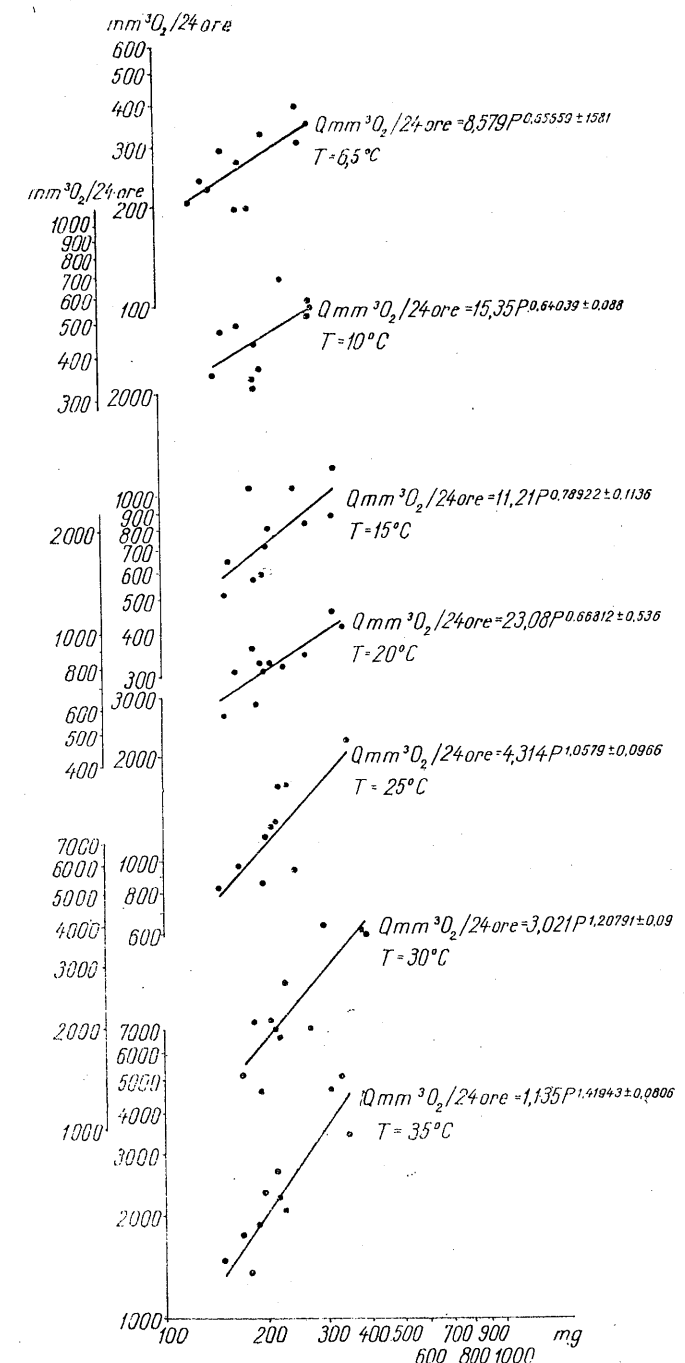


Fig. 2. — Raportul dintre rata metabolică și greutatea corporală la diferite temperaturi la libarcă (*Blatta orientalis* L.).

După cum se poate vedea din figura 2, valoarea exponentului greutății corporale variază între 0,64 și 1,41. Dacă pentru temperaturile sub 20°C valoarea exponentului greutății corporale se modifică destul de puțin, fiind relativ uniformă, la temperaturile superioare lui 20°C aceasta crește puternic cu temperatura, fiind aproape dublă la 35°C. Astfel, aceste pante de regresie par să fie în concordanță cu ecuațiile noastre initiale, care reprezintă relația dintre metabolismul energetic și temperatura mediului, demonstrând existența a două zone termice în care animalele reacționează diferit la aceste modificări.

#### DISCUȚIA REZULTATELOR

Analizând rezultatele noastre privitoare la valorile consumului de oxigen la libarcă, constatăm că acestea sunt de același ordin de mărime cu valorile citate în literatură (7), (8) etc. pentru albinele lucrătoare, himenoptere, coleoptere, *Calliphora* sp., *Periplaneta* sp. Din păcate, în literatură consultată de noi nu am găsit nici o lucrare în care să se fie făcut cercetări de metabolism energetic la insecte la un interval de temperatură atât de larg ca acela la care am lucrat. Din acest motiv, datele noastre sunt numai în parte comparabile cu acelea ale altor autori.

În ceea ce privește valorile coeficientului de temperatură, dacă comparăm datele obținute de noi cu cele ale lui Krog i la nimfele de *Tenebrio molitor* L., constatăm că valorile noastre nu corespund cu ale acestuia.

La pupele de *Tenebrio molitor* L., valorile coeficientului de temperatură descreză continuu de la 10 la 32,5°C, respectiv de la 5,7 la 2,0. Valorile noastre, după cum am mai arătat, descreză în intervalul de temperatură cuprins între 6,5 și 20°C de la 3,71 la 1,21, după care prezintă o nouă creștere în intervalul cuprins între 20 și 25°C, cind  $Q_{10}$  este 3,11, ca apoi să scadă din nou pînă la 1,41 (11). Aspectul discontinuu al curbei valorilor lui  $Q_{10}$  în limitele de temperatură 6,5–35°C pare să sugereze că la libarcă zona de temperatură optimă este cuprinsă în intervalul de 15–20°C. Date similare au fost obținute și de către M. Keister și J. Buck (9) pentru larvele de *Phormia regina*.

Pentru poikiloterme în general, și insecte în special, există foarte puține date în literatură în legătură cu mărimea corporală metabolică, desemnată prin  $G^p$  (greutatea corporală ridicată la puterea  $p$ ), care prin înmulțirea cu o constantă  $k$  (constanta de nivel) ne permite să determinăm rata metabolică ( $Q$ ) a animalului, după formula:  $Q = k \cdot G^p$ .

Astfel, pentru insecte, la coleoptere a fost stabilit exponentul greutății corporale ca fiind în medie de 0,77, iar la himenoptere de 0,92 (8). La larve și chiar la adulți se citează cazuri în care acest exponent variază foarte mult, avînd valori mult sub 0,64, iar uneori atingînd sau chiar depășind unitatea (1), (2), (3), (4), (5), (8).

Analiza statistică a acestor valori a permis stabilirea unei drepte de regresie la care panta este exprimată de un exponent al greutății corporale egal cu 0,75. Acest exponent este considerat a fi general pentru tot regnul animal, de la animalele unicelulare la poikiloterme și homeotermele gigantice (6), (8), (10). Cu toate acestea, analizînd limitele de variație ale

exponentului greutății corporale la diferite animale, precum și la același animal aflat în stări fiziologice diferite, se poate observa o variație destul de însemnată a acestui exponent.

În acest sens cităm lucrările școlii de la Strasbourg, unde, printre altele, s-a studiat valoarea acestui exponent la 16 specii de homeoterme hibernante, obținîndu-se valori diferite ale exponentului: vara acesta era 0,62, iar iarna, în timpul somnului profund, 0,92 (8).

Experiențele noastre ne arată că la libarcă exponentul variază, în funcție de temperatură, între 0,64 și 1,41.

În literatură se citează cazuri în care la insecte exponentul atinge valoarea 1,4, aceasta petrecîndu-se în timpul zborului, adică atunci cînd animalul este în condiții de metabolism maxim; se admite că insectele își pot lua zborul numai după ce musculatura aripilor a fost încălzită prin vibrații pînă la o temperatură care trece de 35°C, în acest moment valoarea exponentului greutății corporale fiind 1,2–1,3 și chiar 1,4 (6).

#### CONCLuzii

1. Variația metabolismului energetic în funcție de temperatură la specia *Blatta orientalis* L. în intervalul de temperatură 6,5–35°C este redată de două ecuații liniare, în limitele de 6,5–20°C,  $y = 7,332x + 23,65$ , iar între 20 și 35°C cind  $y = 20,358x - 230,77$ . În intervalul de temperatură 15–20°C, valorile metabolismului energetic manifestă o netă tendință de plafonare. Drept urmare, curba valorilor coeficientului de temperatură ( $Q_{10}$ ) în intervalul 6,5–35°C este discontinuă.

2. Raportul dintre rata metabolică și greutatea corporală la libarcă variază în funcție de temperatură. Panta de regresie a acestui raport ( $p$ ) are valori cuprinse între 0,64 și 1,41, tendință de creștere a pantei fiind, în general, direct proporțională cu temperatura.

#### BIBLIOGRAFIE

1. BUDDENBROCK W. u. ROHR G. von, Z. Allg. Physiol., 1923, **20**, 111–160.
2. BUTLER C. G. a. INNES J. M., Proc. roy. Soc. B, 1936, **119**, 296–304.
3. CHADWICK L. E. et GILMOUR D., Physiol. Zool., 1940, **13**, 398–410.
4. ELLENBY C., J. exp. Biol., 1953, **30**, 475–491.
5. GUNN D. L., J. exp. Biol., 1935, **12**, 185–190.
6. HEMMINGSEN A. M., Rep. Steno. Mem. Hosp., 1960, **9**, 11.
7. HEUSSNER A. et STUSSI Th., Insectes sociaux, 1964, **11**, 3, 239–266.
8. KAYSER Ch. a. HEUSSNER A., J. Physiol., 1964, **56**, 4, 489–524.
9. KEISTER M. a. BUCK J., J. Insect Physiol., 1961, **7**, 57–72.
10. KLEIBER M., *The Fire of Life*, John Wiley and Sons Inc., New York, 1961.
11. KOȘTOIANȚ H. S., *Fiziologie comparată*, Edit. medicală, București, 1954.

Institutul de biologie „Traian Săvulescu”,  
Secția de fiziologie animală.  
Primită în redacție la 8 decembrie 1966.

CERCETĂRI ASUPRA PROTEINELOR SERULUI SANGUIN  
ȘI TIPURILOR DE HEMOGLOBINĂ LA HIBRIZII  
DINTRE *BOS TAURUS* ȘI *BOS POEPhAGUS GRUNNIENS*

DE

S. MICLE, ANNA GHEORGHIU și AIDA AVRAM

591(05)

S-au cercetat proteinele serului sanguin și tipurile ereditare de hemoglobină la *Bos poephagus grunniens* comparativ cu *Bos taurus* și la hibrizii dintre aceștia. În privința proteinelor serice, electroforeza pe hîrtie nu pune în evidență diferențe calitative între grupele de animale studiate. Folosindu-se electroforeza în gel de agaroză și de amidon, s-au găsit la iaci două fracțiuni hemoglobinice, dintre care una asemănătoare ca viteză de migrare cu Hb A a taurinelor și alta mai înceată. S-a constatat că aceste două fracțiuni sunt determinate genetic de factori nealelici, care se pot transmite simultan. În cazul electroforezei pe hîrtie, hemoglobină de iac poate fi de asemenea recunoscută. La hibrizi, tipurile de hemoglobină se mențin de la ambii părinți în mod codominant.

Iacul (*Bos poephagus grunniens*) este un animal rezistent, adaptat la condițiile de viață din regiunile de altitudine, unde este crescut pentru producția de carne, lapte, lînă și ca animal de povară. Ca animal domestic este răspândit în R. P. Mongolă, în vestul R. P. Chineză și în unele regiuni ale Uniunii Sovietice. În stare sălbatică, iaci se mai întâlnesc și astăzi în Podișul Tibetului.

Hibrizii dintre iaci și taurine se obțin relativ ușor, ei fiind cunoscuți de mult timp în regiunile în care aceste animale sunt crescute împreună (3). Observații sistematice asupra posibilităților de hibridare și asupra exteriorului și constituției hibrizilor, ca și asupra unor caracteristici fizio-  
gice, ca frecvența pulsului și a respirației, temperatura corpului etc., au efectuat V. Denisov (1), V. V. Ivanova (2), N. A. Kalinovskaja (4) și alții.

În lucrarea de față ne-am propus să studiem tipurile ereditare de hemoglobină și particularitățile proteinogramei serului sanguin la hibrizii dintre iaci (*Bos poephagus grunniens*) și taurine (*Bos taurus*). De acest

scop a fost legată stabilirea diferențelor existente între animalele încrucișate din punctul de vedere al tipurilor de hemoglobină și al proteinelor serice, caracter bine cercetate la taurine, dar asupra cărora nu există date la iaci.

#### MATERIAL ȘI METODĂ

Au fost analizați doi iaci adulți proveniți din R. P. Mongolă, 19 vaci de rasă Brună de Maramureș și metise ale acestei rase, precum și un număr de 19 animale hibride de generația I, provenite din încrucișarea vacilor analizați cu iaci. Printre acești hibrizi au fost 7 masculi și 12 femele. S-au analizat de asemenea doi hibrizi de generația a II-a, proveniți din două fătări consecutive ale unei femele hibride F<sub>1</sub> încrucișată cu tauri. Toate animalele analizate aparțin stațiunii experimentale I.C.C.A. „Runcu” din regiunea Ploiești, unde au fost efectuate hibridările de către Institutul de cercetări zootehnice.

Determinările electroforetice ale proteinelor serului sanguin s-au efectuat pe hârtie cromatografică Whatman nr. 1, folosindu-se un tampon de veronal-veronal sodic cu pH 8,6 și forță ionică de 0,06. Colorarea s-a făcut cu Amidoschwarz 10 B, iar determinările cantitative cu ajutorul unui densitometru automat.

Determinarea tipurilor de hemoglobină s-a făcut de asemenea pe cale electroforetică. Pentru comparație s-au folosit substrate diferite, ca hârtie chromatografică, gelul de agaroză și gelul de amidon. În primele două cazuri s-a utilizat un tampon de veronal-veronal sodic cu pH 8,6, iar în cel de-al treilea caz un tampon de TRIS-Tritriplex-acid boric, cu același pH.

#### REZULTATE ȘI DISCUȚII

Cu ajutorul electroforezei pe hârtie, proteinele serului sanguin al iacului se separă în patru fracțiuni: albumine, α-, β- și γ-globuline, astfel cum se întâmplă și cu proteinile serice ale taurinelor (fig. 1,2). De altfel, în condiții identice de efectuare a separării electroforetice, și viteza de migrare a fracțiunilor omologe la taurine și iaci este aceeași, neevidențiuindu-se din acest punct de vedere deosebiri calitative între cele două specii. Faptul nu exclude totuși existența anumitor diferențe, decelabile cu ajutorul altor metode, de exemplu pe cale imunologică sau imunolectroforetică.

În ceea ce privește concentrația diferitelor fracțiuni, se observă unele mici diferențe (tabelul nr. 1). Pentru stabilirea precisă a deosebirilor cantitative este însă nevoie de date prelucrate statistic, obținute pe grupe mai numeroase de animale perfect analoge.

Tabelul nr. 1  
Concentrația proteinelor totale și a fracțiunilor proteice în serum sanguin

Felul animalelor	Nr. ex.	Proteină totală g%	Fracțiuni proteice (%)			
			albumine	globuline		
				α	β	γ
Vaci adulte	19	8,13 ± 0,19	34,16 ± 1,01	16,13 ± 0,77	11,81 ± 0,55	37,90 ± 0,87
Iac adult	1	7,55	31,73	17,24	11,72	39,31
Iac adult	1	8,28	23,47	16,33	13,77	46,43
Hibrizi F <sub>1</sub> ♂ 14–16 luni	7	6,76 ± 0,32	40,92 ± 1,41	13,48 ± 0,89	12,17 ± 0,78	33,43 ± 1,15
Hibrizi F <sub>1</sub> ♀ 14–16 luni	7	6,57 ± 0,06	38,69 ± 3,70	16,94 ± 1,14	14,82 ± 1,33	29,55 ± 2,11
Hibrizi F <sub>1</sub> ♀ adulte	5	7,92 ± 0,25	27,52 ± 7,04	16,48 ± 0,74	14,55 ± 0,87	41,45 ± 5,76

Hibrizii F<sub>1</sub> posedă și ei în serum sanguin aceleași patru fracțiuni proteice de bază, în concentrațiile indicate în tabelul nr. 1. Concentrația diferitelor fracțiuni la hibrizii mai tineri, și în special concentrația proteinelor totale, se deosebește de a adulților, dar este vorba de deosebiri caracteristice pentru evoluția ontogenetică a acestui caracter, deosebiri semnificate și la tineretul taurin (6), (8).

La fel, caracteristice pentru animalele de vîrstă respective sunt și proteinogramele celor doi hibrizi F<sub>2</sub> analizați, un mascul în vîrstă de 10 luni și o femelă de o lună, cu concentrația în proteine totale de 6,47 și, respectiv, de 6,18%, albumine 36,70 și 30,12%, α-globuline 16,85 și 24,70%, β-globuline 9,74 și 23,49% și γ-globuline 36,71 și 21,69%. La hibrizul în vîrstă de o lună atrag în mod deosebit atenția concentrația mai scăzută a proteinelor totale și a γ-globulinelor și concentrația foarte ridicată a fracțiunilor α- și β-globulinice, deosebiri semnalate de S. Micle (6), (8) și la tineretul taurin de această vîrstă.

Este de remarcat faptul că electroforegrama unora dintre hibrizii analizați a prezintat în regiunea γ-globulinelor două fracțiuni (fig. 1,1). Cantitativ, acestea reprezintă, în medie pe 6 exemplare, masculi și femele, la care s-a observat acest lucru,  $7,26 \pm 0,35\%$  din proteină totală pentru fracțiunea mai rapidă și  $24,52 \pm 2,12\%$  pentru fracțiunea mai lentă.

La speciile cercetate, la fel ca și la om, γ-globulinile se prezintă pe electroforegramă ca o fracțiune difuză. Cu ajutorul altor metode, ele pot fi separate în cîteva subfracțiuni, fapt binecunoscut la om (10) și demonstrat și la animale. Apariția la hibrizii cercetați a două fracțiuni pe locul ocupat în mod obișnuit de o singură fracțiune difuză s-ar putea explica prin disparația sau diminuarea concentrației unei subfracțiuni a γ-globulinelor, în locul căreia pe electroforegramă apare un spațiu mai slab colorat și, ca urmare, spotul γ-globulinelor este separat în două.



La rasa de taurine Brună de Maramureș, din care provinătoarele animale hibrizilor analizați, se întâlnesc în mod normal animale cu hemoglobină de tip A sau de tip B ori animale cu un amestec din aceste două hemoglobine (9). Tipurile acestea, bine decelabile pe cale electroforetică, au fost găsite și la femele de taurine care au fost imperecheate cu iaci în scopul obținerii de animale hibride (fig. 2, 2 și 3).

Asupra tipurilor electroforetice de hemoglobină ale iacilor nu am găsit în literatura de specialitate nici un fel de indicații. La exemplarele de iac cercetate de noi, hemoglobină a dat pe electroforegramă efectuată pe hârtie un spot larg, cu aspect mai difuz decât hemoglobinele taurinelor (fig. 2, 1). Viteza, de migrare în cimpul electroforetic se apropie de aceea a hemoglobinei de taurine de tip A. În condițiile de electroforeză utilizate de noi, aceasta din urmă a migrat cu aceeași viteză cu partea anteroară a spotului hemoglobinei de iac.

În gelul de agaroză, ca și în cel de amidon, spotul difuz pe care hemoglobină de iac îl prezintă pe electroforegramă efectuată pe hârtie suferă o separare și se prezintă sub forma a două fracțiuni, dintre care prima este identică după viteza de migrare cu hemoglobină de tip A a taurinelor și cea de-a doua este mai încreță (fig. 3). Prima hemoglobină

propunem a fi notată cu litera A (Hb A), fără să punem însă semnul de egalitate între ea și Hb A a taurinelor atât timp cât nu s-a demonstrat identitatea de structură a lor; cea de-a două fracțiune, cu viteza de migrare mai mică, o notăm cu B.

Ca urmare a acestui fapt, hemoglobina hibrizilor  $F_1$  proveniți din vaci cu hemoglobină de tip A se prezintă electroforetic asemănător cu hemoglobina de iac, întrucât cele două hemoglobine moștenite de la părinți, Hb A de la taurine și Hb A de la iac, se suprapun (fig. 2, 4 și fig. 3, 5).

La hibrizii  $F_1$  proveniți din mame cu hemoglobină eterogenă A + B în aproximativ jumătate din cazuri (4 cazuri din 7) a apărut același tablou ca mai sus. În celelalte cazuri, hibrizii au moștenit de la mame hemoglobină de tip B, care apare pe electroforegramă înaintea spoturilor corespunzătoare hemoglobinei de iac (fig. 2, 5 și fig. 3, 2). Același aspect l-am observat la un hibrid provenit dintr-o mamă homozigotă cu hemoglobină de tip B. Faptele acestea arată că și în cazul hibrizilor tipurile ereditare de hemoglobină se transmit în mod codominant, aşa cum s-a descris pentru taurine (5), (6), (7).

Intr-adevăr, în cazul unei hibridări interspecificice de felul celei prezentate aici se vede deosebit de clar cum în stare hemizigotă fiecare factor răspunzător de sinteza unei anumite hemoglobine continuă să-și exerce funcția, nemanifestând față de celălalt nici dominantă, nici recessivitate.

În același timp există toate motivele să presupunem că la iacii din care provin hibrizii analizați existența a două hemoglobine nu este o dovedă a heterozigotei lor, aşa cum este cazul taurinelor care posedă hemoglobină eterogenă A + B. Într-adevăr, iacii au transmis hemoglobina lor tuturor celor 19 hibrizi analizați. Pentru hemoglobina B de iac, acest lucru reiese evident din toate electroforegramele. Pentru hemoglobina de tip A, care din cauza vitezei de migrare identice poate fi confundată pe electroforegrame cu Hb A a taurinelor, acest lucru reiese clar în cazul hibrizilor care au moștenit de la mamă hemoglobină de taurine de tip B; la aceștia găsim, pe lîngă Hb B de taurine, și cele două fracțiuni hemoglobinice ale iacilor. De aici se poate trage concluzia că cele două hemoglobine găsite la iaci sunt condiționate genetic de factori nealelici, care se pot transmite simultan în cadrul aceleiași garnituri cromozomice haploide a unui gamet.

Cei doi hibrizi  $F_2$  cercetați provin dintr-o mamă hibriză  $F_1$ , care avea hemoglobină de iac în amestec cu hemoglobină de taurine de tip B, și din doi tauri de rasă Brună de Maramureș, dintre care numai unul a putut fi analizat, găsindu-se hemoglobină de tip A. Ambii hibrizi,  $F_2$  au moștenit hemoglobină eterogenă: unul hemoglobine de iac (de la mamă) și hemoglobină de taurine de tip B (probabil de la tată) și celălalt numai hemoglobină de taurine, de tip A de la tată și de tip B de la mamă.

Modul acesta de transmitere ereditară a hemoglobinelor la hibrizii  $F_2$  duce la presupunerea că factorii genetici responsabili de sinteza hemoglobinei sunt localizați la taurine și la iaci în cromozomi omologhi. Aceștia din urmă se separă în procesul diviziunilor de reducere, iar hibrizii  $F_1$  —

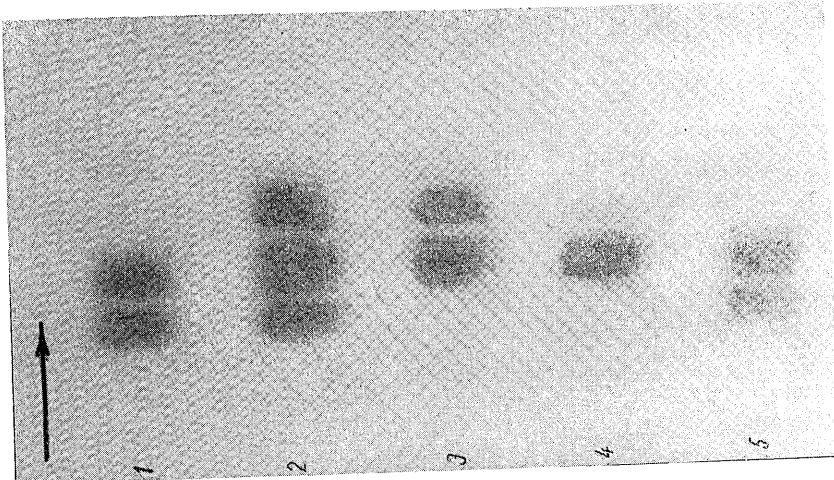


Fig. 3. — 1, Hb de iac; 2 și 5, Hb de taurine  $F_1$ ; 3, Hb de taurine A + B; 4, Hb de taurine A. Electroforeză în gel de amidon.

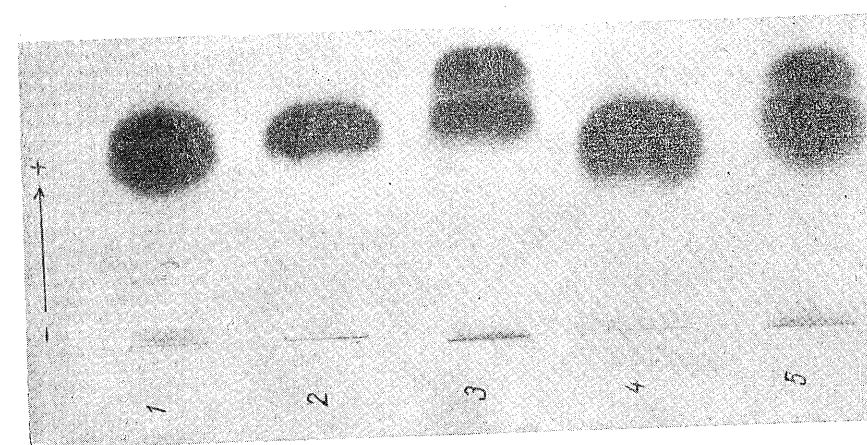


Fig. 2. — 1, Hb de iac; 2, Hb A de taurine; 3, Hb A + B de taurine; 4, Hb de hibriz  $F_1$  ( $\delta$  iac  $\times$   $\delta$  vacă cu Hb A); 5, Hb de hibriz  $F_1$  ( $\delta$  iac  $\times$   $\delta$  vacă cu Hb B). Electroforeză pe hirtie.

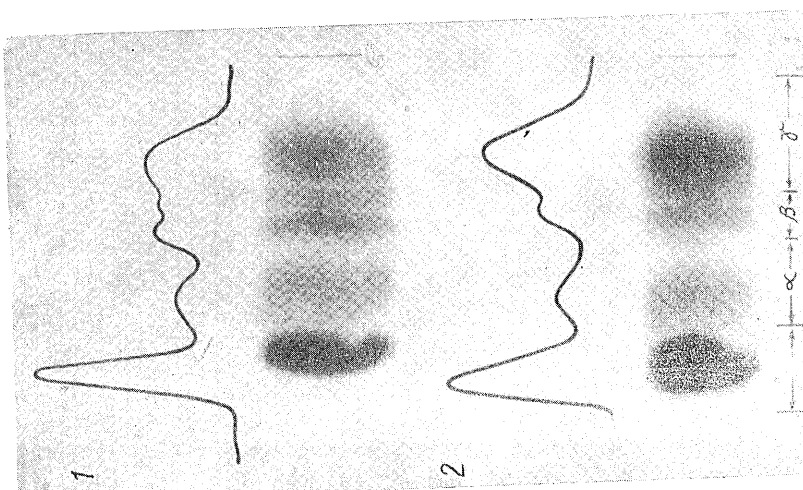


Fig. 1. — Electrophoregramele serului sanguin de hibriz  $F_1$  (1) și de iac (2), Hb B). Electroforeză pe hirtie.

ne referim la femele, masculii fiind sterili — produc două feluri de zigoți : unii conținînd factorii genetici ai hemoglobinelor de iac, ceilalți ai unui din cele două tipuri de hemoglobină care se întâlnesc la taurine.

#### CONCLUZII

1. La iaci și la hibrizii acestora cu taurinele, proteinele serului sanguin se separă cu ajutorul electroforezei pe hîrtie în patru fracțiuni: albume,  $\alpha$ -,  $\beta$ - și  $\gamma$ -globuline, la fel ca la taurine.
2. La unii hibrizi, fracțiunea  $\gamma$ -globulinelor se separă în două subfracțiuni, probabil prin micșorarea concentrației unei subfracțiuni intermedie.
3. Hemoglobină de iac se deosebește electroforetic de hemoglobinele taurinelor, dînd în cazul electroforezei pe hîrtie un spot mai difuz, a cărui parte anterioară are viteza de migrare asemănătoare cu hemoglobină de tip A a taurinelor. Pe gel de agaroză sau amidon, ea se separă în două fracțiuni : una identică ca viteză de migrare cu Hb A a taurinelor și care se propune să fie notată de asemenea cu Hb A și o fracțiune mai lentă (Hb B).
4. Cele două hemoglobine găsite la iac sunt condiționate genetic de factori nealelici, care se pot transmite ereditar în mod simultan în cadrul aceleiași garnituri cromozomice haploide a unui gamet.
5. La hibrizi, tipurile de hemoglobină se transmit de la ambii părinți în mod codominant.

#### BIBLIOGRAFIE

1. ДЕНИСОВ В., Гибридизация яков в Киргизии, Фрунзе-Казань, 1939.
2. ИВАНОВА В. В., Менсайдовие гибриды яка с крупным рогатым скотом, в кн. *Отдаленная гибридизация растений и животных*, Изд. Акад. наук СССР, Москва, 1960.
3. ИВАНОВА В.В. и ЛЮБИМОВ И. М. Гибриды яка, Горно-Алтайск, 1949.
4. КАЛИНОВСКАЯ Н. А., Опыт гибридизации яка с крупным рогатым скотом на Каоказе, в кн: *Отдаленная гибридизация растений и животных*, Изд. Акад. наук СССР, Москва, 1960.
5. МИКЛЕ С., Животноводство, 1964, 2.
6. — Наследование и характер изменчивости белков сыворотки крови и типов гемоглобина у крупного рогатого скота при чистопородном разведении и при скрещивании, Автореф. дисс., Изд. Московского Университета, Москва, 1964.
7. MICLE S., St. și cerc. biol., Seria zoologie, 1965, **17**, 5.
8. — Rev. de zootehnie și med. vet., 1966, 12.
9. MICLE S. și GHEORGHIU A., St. și cerc. biol., Seria zoologie, 1966, **18**, 4.
10. SCHULTZE H. E. a. HEREMANS J. F., *Molecular Biology of Human Proteins* Elsevier Publishing Comp., Amsterdam, 1966.

*Institutul de biologie „Traian Săvulescu”,  
Secția de genetică  
și  
Institutul de cercetări zootehnice.*

Primită în redacție la 29 octombrie 1966.

PH. J. DARLINGTON JR., *Biogeography of the Southern End of the World (Biogeografia extremității sudice a lumii)*, Harvard University Press, Cambridge, Massachusetts, 1965, 236 p.

După cum ne arată subtitlul cărții, aceasta se ocupă cu „răspândirea și istoria vieții și a uscaturilor extrem-sudice, cu acceptarea translației continentelor”.

Capitolul introductiv tratează istoricul cercetărilor asupra plantelor și animalelor comune extremității sudice a Americii de Sud, Australiei sudice (inclusiv Tasmania) și Noii Zeelande. Autorul s-a ocupat personal cu entomofauna sudului Americii de Sud și Australiei; el arată că grupele de animale comune acestor două regiuni, în parte și Noii Zeelande, sunt legate de anumite formațiuni vegetale de climă rece și umedă: pădurea de *Nothofagus*, turbării.

În Australia, și mai ales în America de Sud, are loc o scădere a întregii faune spre sud. Genul *Nothofagus*, comun celor trei regiuni sudice reci, se mai întâlnește în Noua Caledonie și Noua Guineă, în ultima aproape de ecuator; deci acest gen de copaci suportă climatul rece, fără a fi special adaptat.

Printre grupele de insecte comune celor trei regiuni sudice, unele trăiesc exclusiv în aceste regiuni, altele se întâlnesc și în zona nordică temperată, lipsind în cea tropicală, iar altele au și cîțiva reprezentanți tropicali. În cazul citorva grupe, genurile neozelandeze sunt mai înrudite cu cele holarctice decit cu cele australiene și sud-americană. Autorul conchide că toate grupele de animale caracteristice ținuturilor sudice reci au pătruns aici din spus nord, unde ulterior au dispărut sau sunt în curs de dispariție. Ținuturile sudice reci se caracterizează deci printr-o acumulare de relicte; climatul nefavorabil și sărăcia generală a faunei permit supraviețuirea unor forme arhaice, eliminate în alte regiuni. În schimb, vertebratele nu au forme comune ținuturilor reci sudice (cu excepția unor pești secundar-dulcicoli, răspândiți prin mări); în cazul vertebratorilor, pătrunderea continuă a formelor de origine tropicală în sudul rece nu permite acumularea de relicte. Răspândirea mamiferelor și a peștilor primar-dulcicoli — grupele de animale care nu pot depăși bariera marine — arată că nu au existat legături continentale între cele trei ținuturi sudice reci.

Scurte capitoole tratează despre zoogeografia și paleoclimatologia Americii de Sud, Australiei, Noii Zeelande, Africii de sud, Indiei, Antarctidei. Noua Zealandă nu a fost niciodată legată de vreun continent. Antarctica a fost legată numai de America; ea a avut în trecut un climat mai favorabil, dar nu tropical, și a putut ușura legăturile biogeografice indirekte dintre cele trei regiuni sudice reci, fără să fi fost un adevărat centru de evoluție faunistică.

Principalul element biogeografic comun ținuturilor sudice este genul *Nothofagus*, din cretacic. Admișind că strămoșul său ar fi putut veni cîndva din nord, autorul consideră că evoluția ulterioară și răspândirea speciilor s-au făcut între cele trei uscaturi sudice, eventual prin intermediul Antarctidei, semințele și polenul putind fi transportate de vînt peste brațe marine.

În cretacic și terțiar nu au avut loc mari schimbări geografice pe emisferă sudică și nu au existat alte legături continentale decit cea dintre Antarctica și America de Sud.

Ultimele capitole tratează istoria veche a continentelor sudice. O serie de date paleontologice și paleomagnetice pledează pentru o legătură proprieță între continentele sudice și pentru deplasarea continentelor. Autorul se declară deci de acord cu teoria lui Wegener, dar nu cu toate detaliile acesteia.

În cunoscuta sa lucrare *Zoogeography* (1957), Darlington se arată partizan al permanenței continentelor. În recentul său volum, el adoptă o poziție echivocă: de acord cu ideea translației continentelor, mai ales pe baza dovezilor paleomagnetice, el explică totuși răspândirea elementelor comune Australiei, Americii de Sud și Noii Zeelande prin originea nordică a acestor grupe sau prin răspândirea pasivă, cu ajutorul vîntului și al curentilor marini.

P. Băndărescu

ULRICH ROESLER, *Untersuchungen über die Systematik und Chorologie des Homoeosoma-Ephestia-Komplexes (Lepidoptera: Phycitinae)*, (Cercetări asupra sistematicii și chorologiei complexului *Homoeosoma-Ephestia* (Lepidoptera: Phycitinae)), Saarbrücken, 1965, 265 p., 342 fig.

Lucrarea, apărută în 1965, constituie teza de doctorat susținută de autor la Facultatea de științe naturale a Universității din Saarland, sub conducerea științifică a prof. dr. Gustav de Lattin, și editată de această universitate.

Ayind valoarea unei minuțioase monografii, lucrarea prezintă studiul morfologic, sistematic și chorologic al complexului de genuri *Homoeosoma-Ephestia*. În afară de unități sistematice noi pentru știință, dintre care 7 genuri, 1 subgen, 16 specii și 13 subspecii, autorul prezintă morfologic și chorologic 107 specii din acest grup. Stabilește în același timp că un număr de 16 specii, considerate greșit ca aparținând acestui grup, trebuie atribuite altor genuri. Totodată sunt menționate sinonimii cunoscute pentru fiecare specie, precum și 35 de sinonimii noi.

Pentru fiecare specie, în afară de o minuțioasă descriere a caracterelor externe și a armăturii genitale a ambelor sexe, este prezentat și un bogat material ilustrativ, cuprinzind impecabile fotografii de habitus și desene ale genitaliilor.

Valoarea lucrării crește și prin aceea că autorul a folosit un foarte bogat material din diverse regiuni ale ariei de răspândire a grupului.

Datele chorologice care însoțesc descrierea fiecărei specii sunt discutate din punct de vedere zoogeografic într-un capitol aparte al lucrării, însoțit de 151 de hărți ilustrative.

Felul cum este concepută, datele științifice noi prezentate ne îndreptătesc să considerăm lucrarea ca extrem de valoroasă în studiul reprezentanților complexului de genuri *Homoeosoma-Ephestia* din fauna țării noastre, care pînă în prezent sunt în insuficientă măsură studiați.

I. Căpușe

Revista „Studii și cercetări de biologie — Seria zoologie” publică articole originale de nivel științific superior, din toate domeniile biologiei animale: morfologie, fiziologie, genetică, ecologie și taxonomie. Sumarele revistei sunt completează cu alte rubrici ca:

1. *Viața științifică*, ce cuprinde unele manifestări științifice din domeniul biologiei ca simpozioane, lucrările unor consfătuiri, schimburi de experiență între cercetătorii români și cei străini etc.
2. *Recenzii*, care cuprind prezentări asupra celor mai recente lucrări de specialitate apărute în țară și peste hotare.

#### NOTĂ CĂTRE AUTORI

Autorii sunt rugați să înainteze articolele, notele și recenziile dactilografiate la două rînduri. Tabelele vor fi dactilografiate pe pagini separate, iar diagramele vor fi executate în tuș, pe hîrtie de calc. Tabelele și ilustrațiile vor fi numerotate cu cifre arabe. Figurile din planșe vor fi numerotate în continuarea celor din text. Se va evita repetarea acclorași date în text, tabele și grafice. Explicația figurilor va fi dactilografiată pe pagină separată. Citarea bibliografiei în text se va face în ordinea numerelor. Numele autorilor va fi precedat de inițială. Titlurile revistelor citate în bibliografie vor fi presecurtate conform uzanțelor internaționale.

Autorii au dreptul la un număr de 50 de extrase, gratuit.

Responsabilitatea asupra conținutului articolelor revine în exclusivitate autorilor.

Corespondența privind manuscrisele, schimbul de publicații etc. se va trimite pe adresa comitetului de redacție, Splaiul Independenței nr. 296, București.